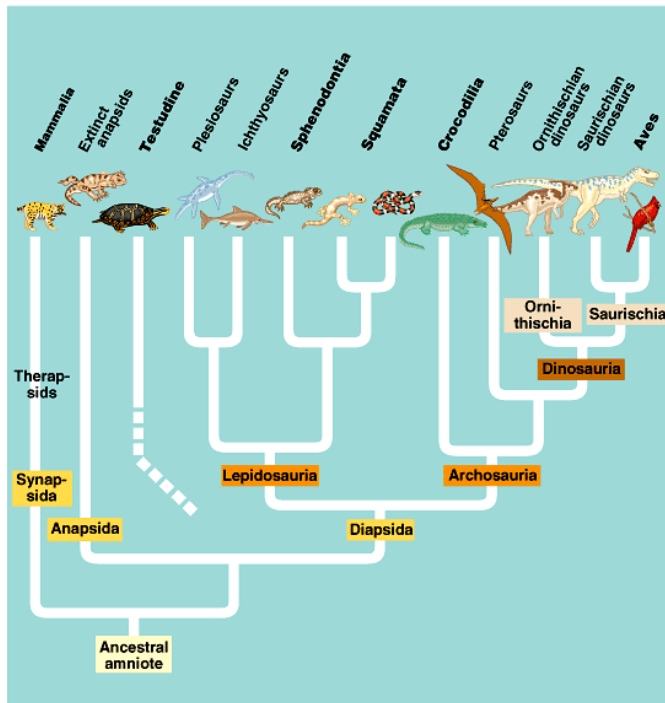


WS2017/18

F1-Praktikum Modul 7A

Genomforschung und Sequenzanalyse: Einführung in Methoden der Bioinformatik

AG Hankeln



Copyright © Pearson Education, Inc., publishing as Benjamin Cummings.

Molekulare Phylogenie

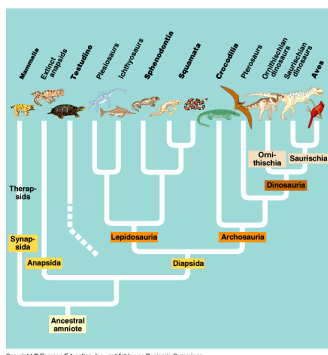
Biologische Systematik umfasst...

1. Taxonomie



→ Bestimmung und Benennung von Lebewesen

2. Phylogenie

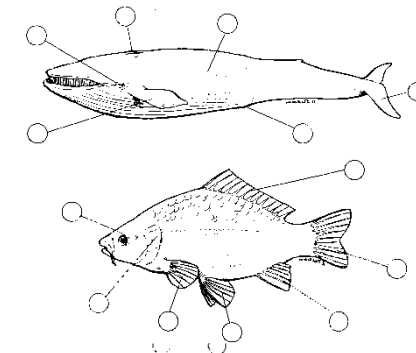


→ Rekonstruktion der Stammesgeschichte
→ auf allen Ebenen möglich

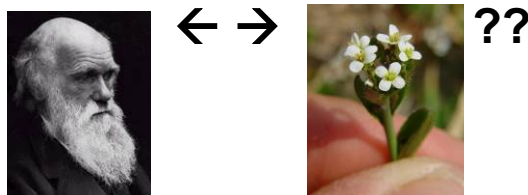
Metazoa, Vertebrata, Mammalia, Rodentia, Cricetinae ...

Molekulare Daten - Vorteile

- eindeutiger zu beschreiben
→ Identifizierung von Orthologien ist einfacher



- Vergleich sehr weit entfernt verwandter Taxa möglich



```

          *      20      *      40      *      60      *      80      *      100     *      120     *      140     *      160     *      180     *      200     *      220     *      240     *      260     *      280     *      300     *      320     *      340     *      360     *      380     *      400     *
Homo_CoxI : M-FADRWLFLSTNHKDIGTLVILFGATAGVLGTRALSLLIIRAEIIGCPGN--IIGNDIYINNVIVITAHAFVMIFFMVMEIMIGGFGNWVPLMIGAPDMAFPRMNNSFWLPPSLLLISAMVERGAGGTGWTVYPPLAGN : 135
Arabidopsi : MKNLVRLWLFSTNHKDIGTLVIFGATAGVMGTCFSVLIRMLAPGDQIIGCGNHOIYNVLITAHAFMLIFFMVMPAMIGGFGNWVPILIGAPDMAFPRLNNISFWLPPSLLLISALVEVGSGTGWTVYPPLSGI : 138
                  RWLFSTNHKDIGTLV 6FGA AGV6GT S6LIR EL PG1 I GN 6YNV66TAHA6MIFFMVMP MIGGFGNW VP66IGAPDMAFR6NN6SFWLLPPSLLLIS A6VE G GTGWTVYPPL G

          40      *      160      *      180      *      200      *      220      *      240      *      260      *      280      *      300      *      320      *      340      *      360      *      380      *      400      *
Homo_CoxI : YSFEGASVDLITIFSLHLAGVSSILGAINFIFTIINNMRECEAMTQYQTPLFVWSVSLVITAFLVLLLSLPVLAAGITMLLTDRNNTTFDPAGGGDPILYQHFLWWFGHPPEVYIILILPGFGMISHIVTYSGKEEFGYMG : 273
Arabidopsi : ISHSGGAVDIAIFSLHLGSVSSILEGINFIFTIENMRCEGMTRFLPLFVWSVSLVITAFLVLLLSLPVLAAGITMLLTDRNNTTFDPAGGGDPILYQHFLWWFGHPPEVYIILILPGFGIISHIVSIFSG-KPFGYGLM : 275
                  SH G VDL IFSLHL GVSSILG INFIFTI NM4 P MT PLFVWSVSL6TA LLLLSPVLA ITMLLTDRN NTTFDPAGGGDPILYQHFLWWFGHPPEVYIILILPGFG6ISHIV3 5SG K FGY6GM

          280      *      300      *      320      *      340      *      360      *      380      *      400      *
Homo_CoxI : VWAMMSIGELGFIVWAHHMFTVGMVDVTRAYFTATMIIIAIPGTVKVFSWLATIICGSNMSAVIWLALGFIFLFTVGGLTGIVLANSLDIYLHDTYVVVAHFHYVLSMGAVFA1MGGRFHWFPLFESGYTLQTYAK : 411
Arabidopsi : VYAMISIGEVLGFLVWAHHMFTVGLDVDTRAYFTATMIIIAVPTGIKIFSWIATMVGGSIQYKTFMLFAVGFIFLFTIGGLTGIVLANSLDIYLHDTYVVVAHFHYVLSMGAVFALFAGEYYWVGKIGRTYBETLQQ : 413
                  V5AM6SIG LGF6VWAHHMFTVG6DVDTRAYFT ATMIIA6PTG6K6FSW6AT6 G 6 5 6L5A6GFIFLFT6GGLTGIVLANS LDI LHDTYVVVAHFHYVLSMGAVFA6 GF W G T 2T

```

Grundbegriffe

Paraphylie

„Reptilien“



Schildkröten



Schlangen & Echsen



Krokodile



Vögel

Gruppierung aufgrund homologer
(ursprünglicher) Merkmale

ABER
nicht alle Nachkommen erfasst!

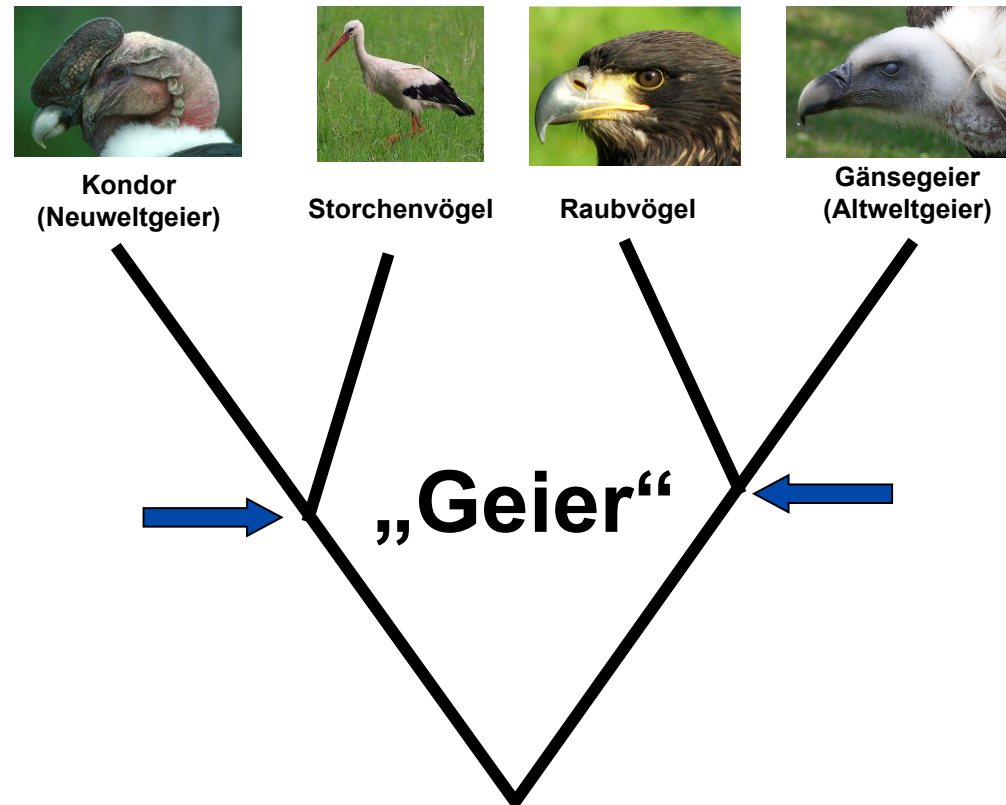
→Monophylum **Sauropsida**



Grundbegriffe

Polyphylie

Gruppierung aufgrund konvergent entstandener Merkmale (Homoplasien)
→ Taxa verschiedenen Ursprungs!

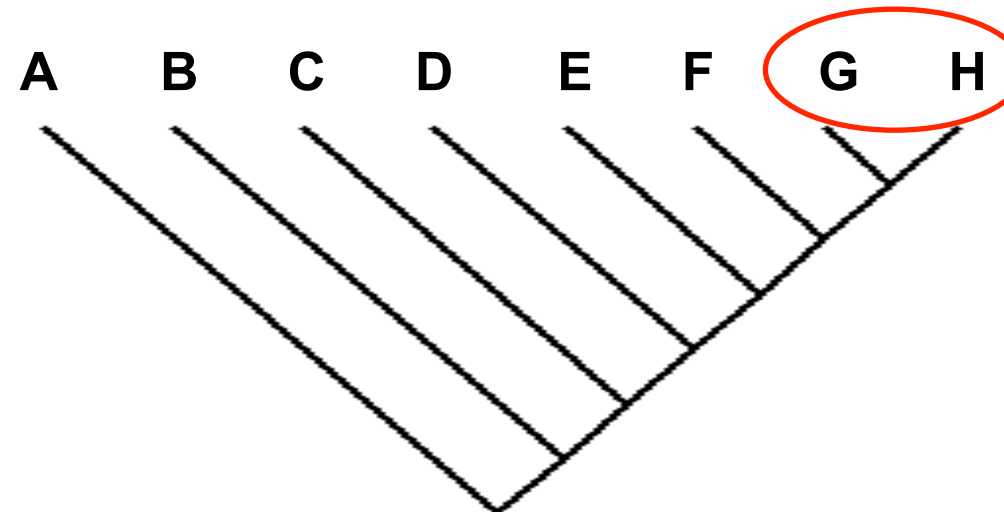


Grundbegriffe

Die Taxa (G,H) liegen innerhalb des Monophylums (D,E,F,G,H)

ABER:

Die Taxa (G,H) sind NICHT „abgeleitet“ oder „weiter entwickelt“
und das Taxon D ist NICHT „primitiv“



Grundbegriffe

„Basal“

Taxon A ist Schwester zum Monophylum (B,C,D,E,F,G,H)
ABER: Taxon A ist NICHT „basal“

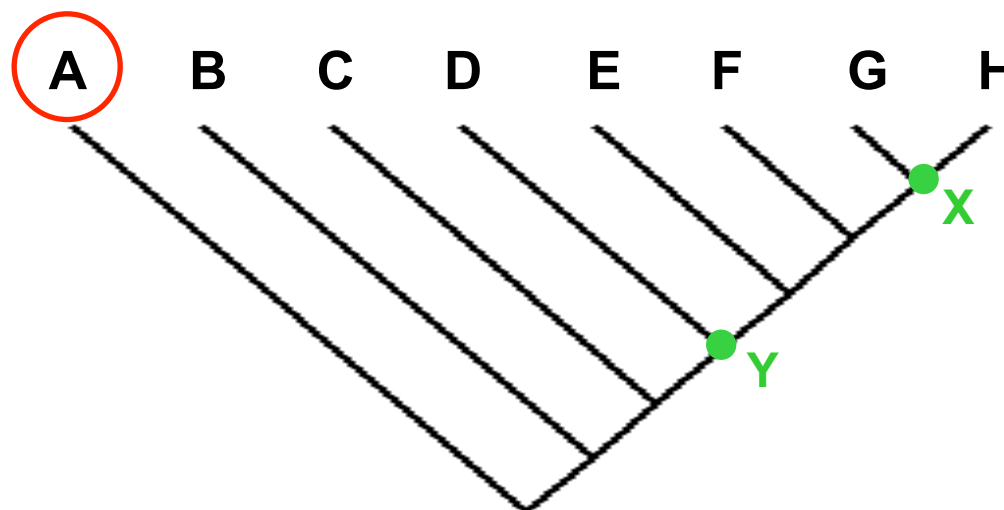
Der Begriff „basal“ wird nur für interne Knoten, NICHT für terminale Taxa Verwendet.

zB.

Y ist basaler als X (aber X ist nicht „weiter entwickelt“!)

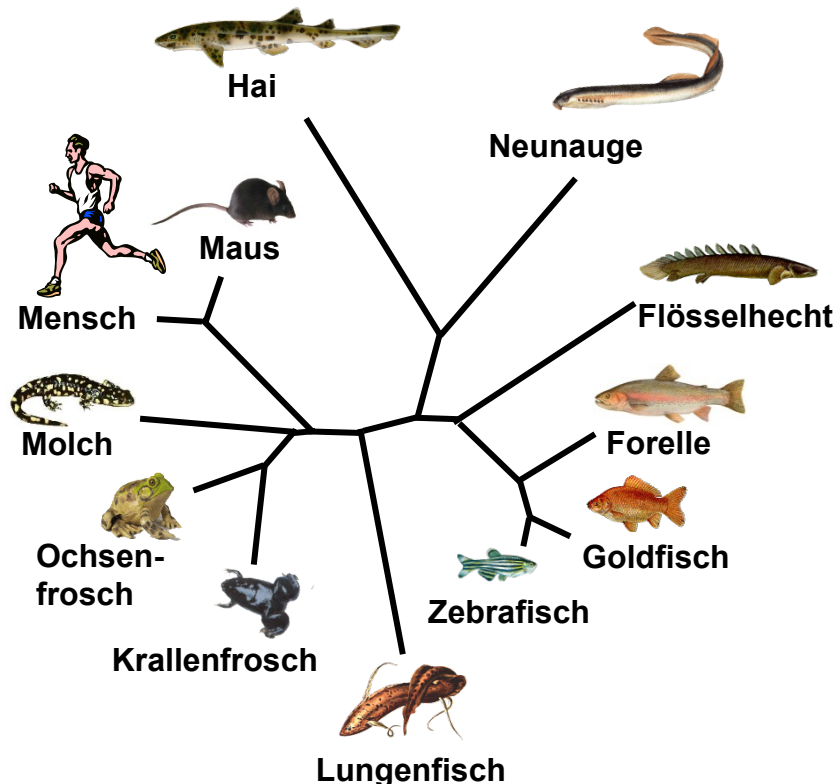
Y = der letzte gemeinsame Vorfahre von (D,E,F,G,H)

X = der letzte gemeinsame Vorfahre von (G,H)



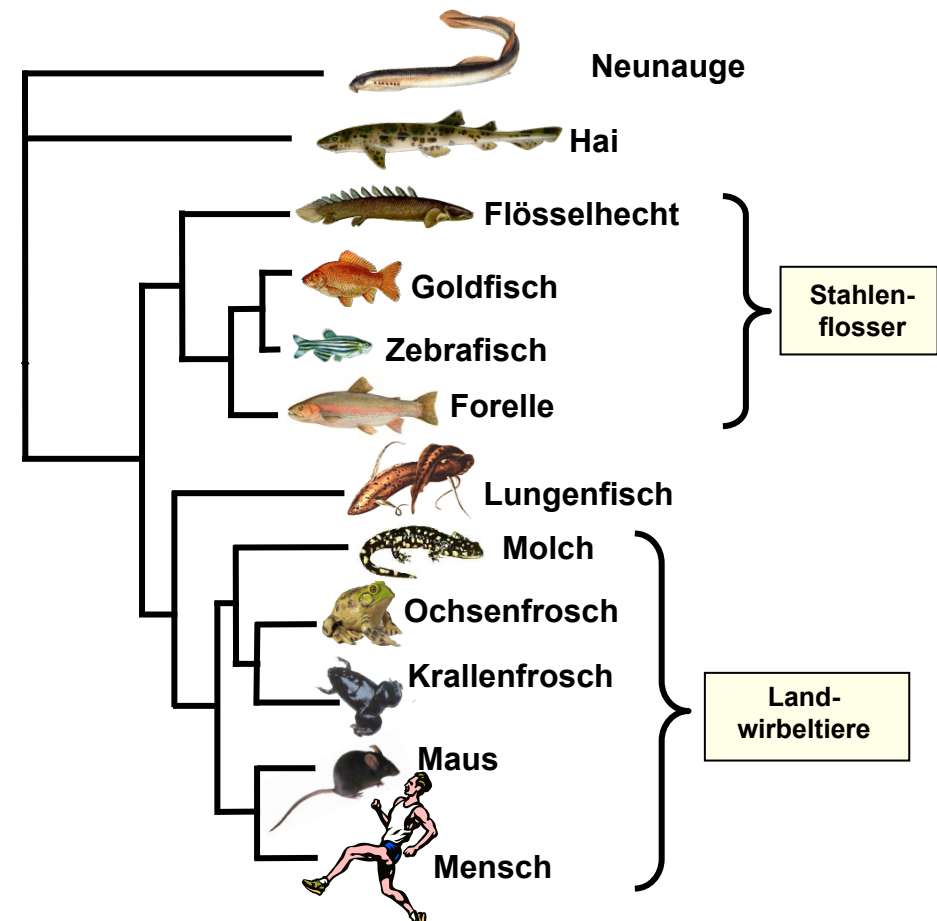
Baumdarstellung

Ohne Außengruppe:



Evolutionsrichtung?

Mit Außengruppe:



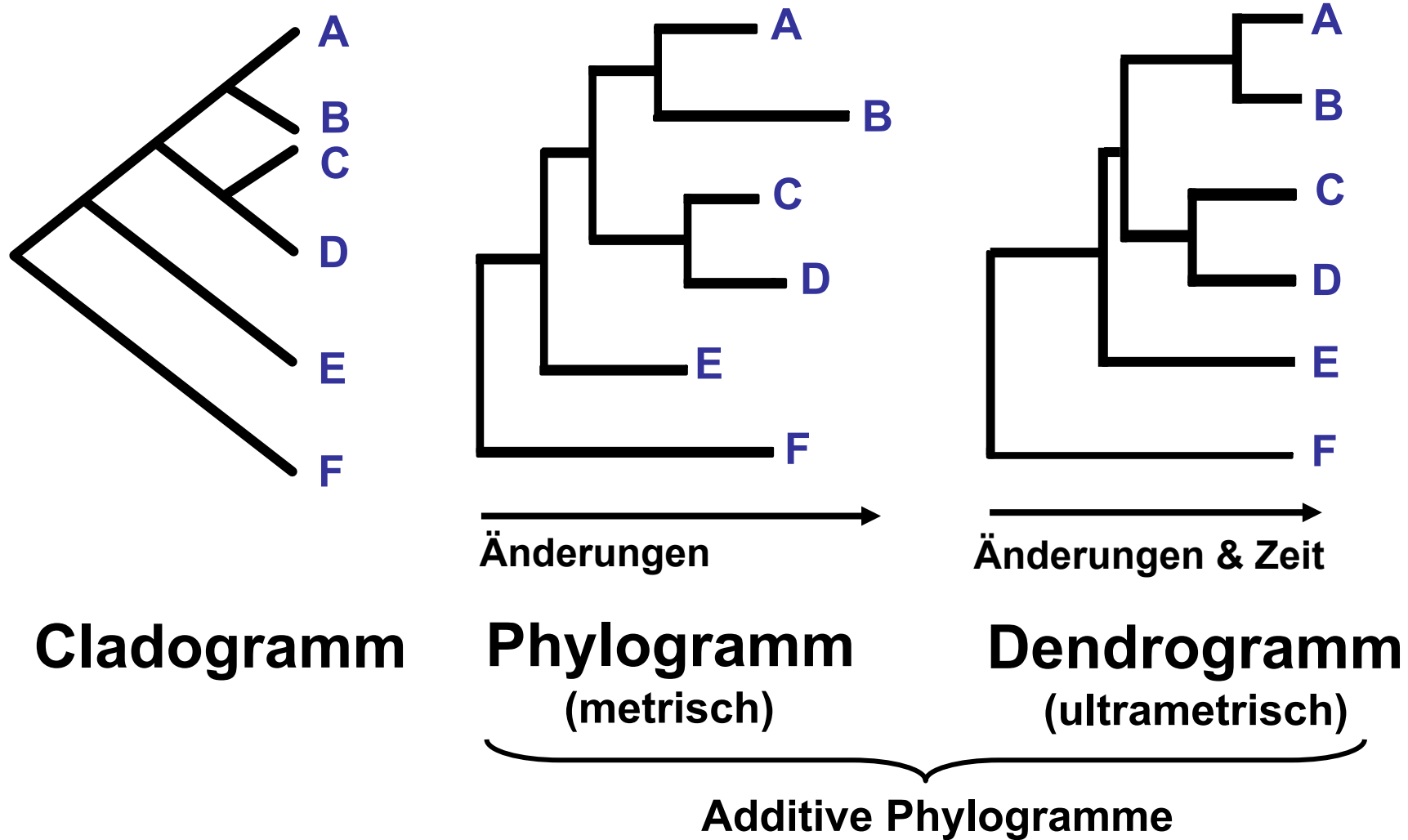
Evolutionsrichtung!

Baumdarstellung

Ungewurzelte Bäume sind keine Phylogenien!

Denn: je nach Wahl der Wurzel ergibt sich eine andere Topologie

Baumdarstellung



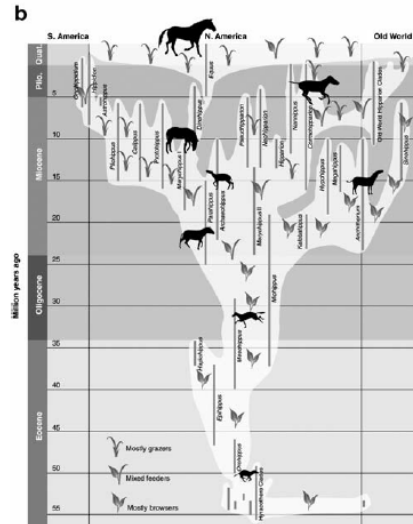
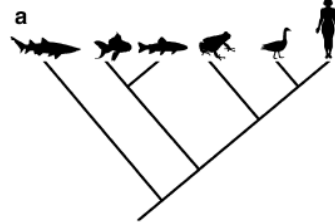
Literaturempfehlung

Evo Edu Outreach (2008) 1:121–137
DOI 10.1007/s12052-008-0035-x

ORIGINAL SCIENCE/EVOLUTION REVIEW

Understanding Evolutionary Trees

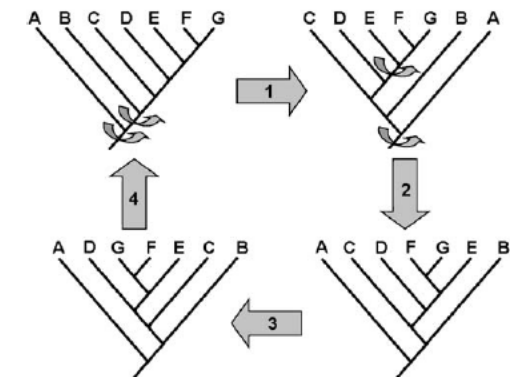
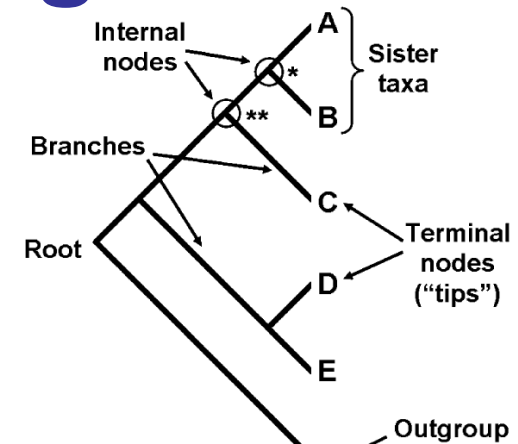
T. Ryan Gregory



How to Read Evolutionary Trees

Phylogenies as Family Trees

Although the technical jargon of phylogenetics may be confusing on first pass, achieving a basic understanding of evolutionary trees need not be daunting. Notably, humans in all cultures are skilled at recognizing and understanding relatedness in other contexts, and many of these abilities apply equally well to phylogenies. There are some similarities between species phylogenies and human family pedigrees, and thinking of an evolutionary tree as a “family tree” can be helpful.⁵ This



How Not to Read Evolutionary Trees

Misunderstandings of evolutionary trees are pervasive among students, in the media, and among other non-specialists. Even more alarming, they also surface frequently

Von der Sequenz zum Baum

Sequenzen

Multiples Sequenz Alignment

Auswahl eines Evolutionsmodells

Auswahl von Methode & Algorithmus

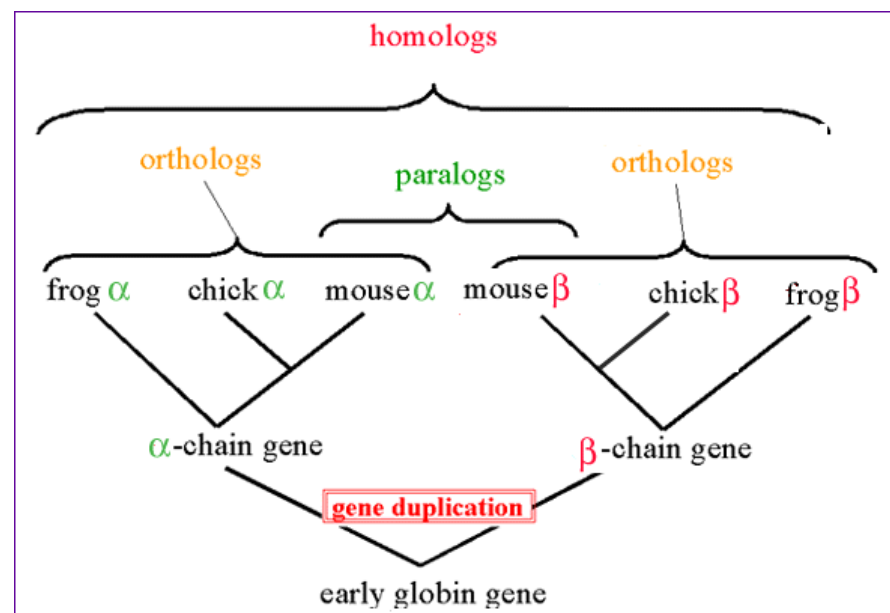
Stammbaumberechnung
(mit/ohne statistischer Auswertung)

Grundbegriffe - Homologie

Orthologie funktional verwandt und von einem gemeinsamen Vorläufer abstammend

Paralogie Verwandtschaft durch Genduplikation entstanden

Beispiel: α- und β-Untereinheiten des Hämoglobins

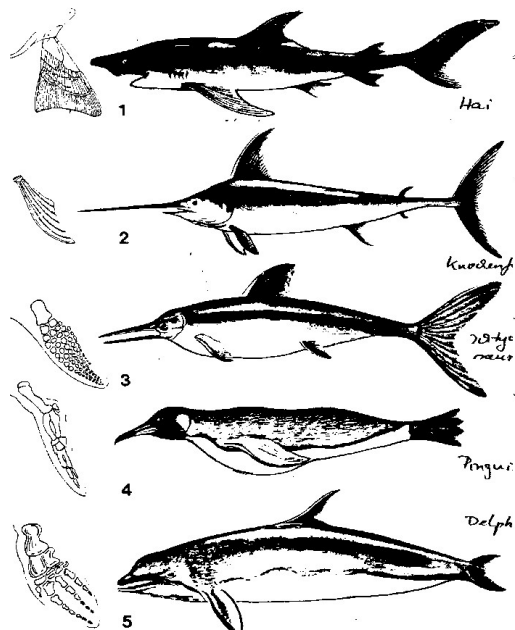


Grundbegriffe - Homoplasie

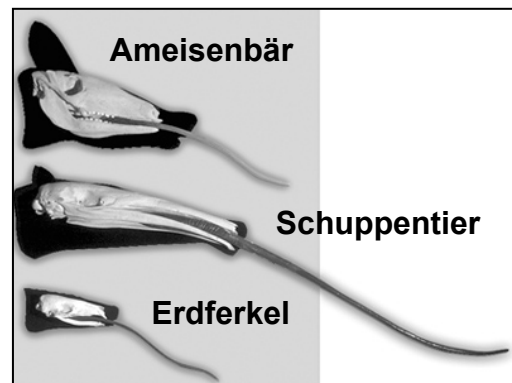
Konvergenz

ein Merkmal, das bei mehreren unterschiedlichen Taxa unabhängig voneinander entstanden ist

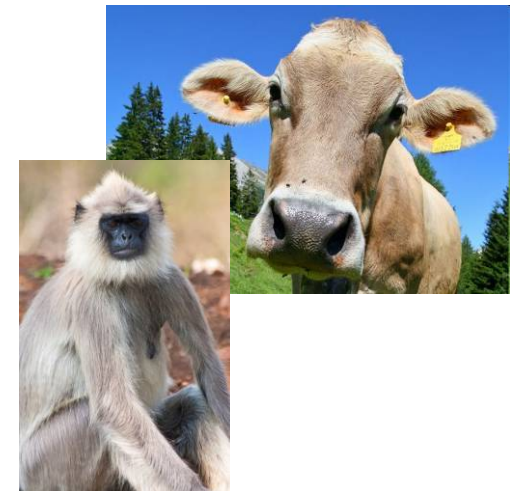
Flossen



Leimrute



Lysozym



Homologie-Interpretation von BLAST-Ergebnissen

Homologe Proteine haben immer strukturelle Ähnlichkeit, aber nicht notwendigerweise auch Ähnlichkeit auf Sequenzebene!

Faustregeln (Proteinebene):

score >45 bits	fast immer Homologe
E-value cutoff	$\sim 10^{-5}$ (bei DNA: $\sim 10^{-10}$)
% identity	kein gutes Kriterium für Homologie, stark abhängig vom betrachteten Protein

Falsch-Positive

...können z.B. auftauchen wenn Regionen geringer Komplexität (simple sequences) alignieren und den Score erhöhen

Homologie: Interpretation von BLAST-Ergebnissen

Wie kann es sein, dass ich mit weniger % identity einen besseren E-Value bekomme?

1. Die Bewertung hängt nicht nur von der Anzahl sondern auch von der Art der identischen Aminosäuren ab
2. In die Bewertung fließt nicht nur der Anteil identischer, sondern auch der Anteil ähnlicher Aminosäuren ein (% similarity)

Homologie: Interpretation von BLAST-Ergebnissen

Wie kann ich beweisen, dass ein nicht-signifikanter Treffer homolog ist?

Wichtig: Homologie ist transitiv!

(wenn die Treffer den gleichen Teil des Proteins abdecken)

A homolog zu B & B homolog zu C → A homolog zu C !

→ Lösung: andere Suchsequenz verwenden! (z.B. *E.coli* statt Mensch)

PS: Nicht-Homologie lässt sich nicht beweisen...

Von der Sequenz zum Baum

Sequenzen

Orthologie!

Multiples Sequenz Alignment

Auswahl eines Evolutionsmodells

Auswahl von Methode & Algorithmus

Stammbaumberechnung
(mit/ohne statistischer Auswertung)

Multiple Sequenzalignments

Gegeben:

SeqA N A F L S

SeqB N A F S

SeqC N A K Y L S

SeqD N A Y L S

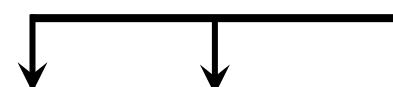
Gesucht:

SeqA N A - F L S

SeqB N A - F - S

SeqC N A K Y L S

SeqD N A - Y L S

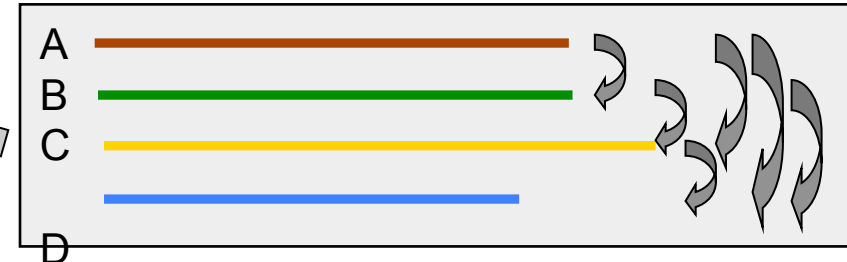


Indel:

Insertion/Deletion

Progressives MSA mit ClustalX

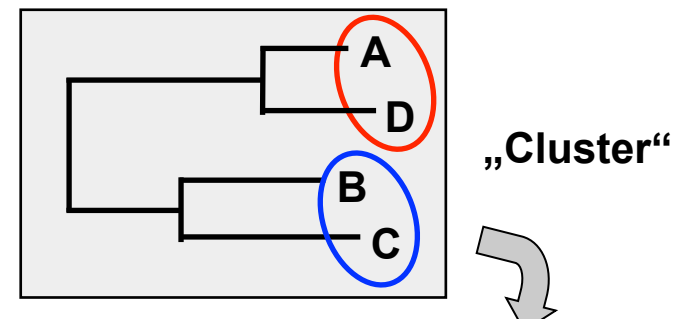
→ Sequenzen paarweise vergleichen



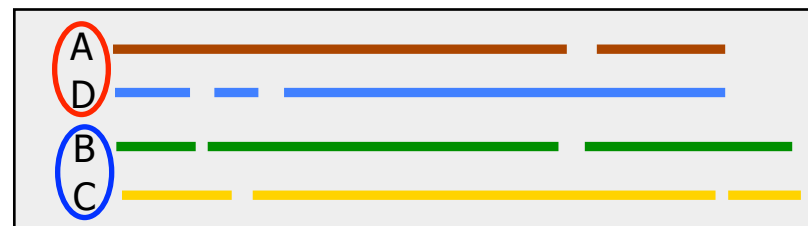
→ Distanzmatrix

	A	B	C	D
A	-	0.75	0.89	0.27
B		-	0.45	0.82
C			-	0.77
D				-

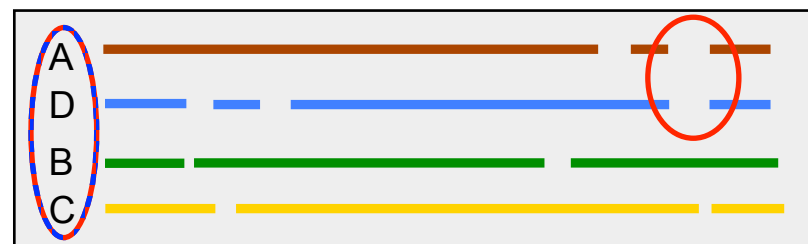
Guide tree:



→ Alignment innerhalb der Cluster
Einfügen von Lücken (gaps)



→ Sukzessives globales Alignment
Einfügen neuer Lücken



MSA: ClustalX

ClustalX 2.0.11

File Edit Alignment Trees Colors Quality Help

Mode: Multiple Alignment Mode Font: 16

Ente
Gans
Huhn
Taube
Krokodil
Alligator
Schildkrot
Wal
Mensch
Salamander
Zebrafisch
Lachs

Alignment Parameters

OK

Multiple Parameters

Gap Opening [0-100]: 10
Gap Extension [0-100]: 0.2
Delay Divergent Sequences(%): 30
DNA Transition Weight[0-1]

Use Negative Matrix: Off

Protein Weight Matrix

BLOSUM series PAM series User defined
Gonnet series Identity matrix

Load protein matrix:

DNA Weight Matrix

IUB CLUSTALW(1.6) User defined

Load DNA matrix:

The screenshot shows the ClustalX 2.0.11 software interface. On the left, a tree diagram displays the phylogenetic relationships between various organisms. The main window shows a multiple sequence alignment in color-coded boxes, where each column represents a position in the sequence and each row represents a different organism. A secondary window, titled 'Alignment Parameters', is overlaid on the main window. This dialog box contains several input fields and selection buttons for tuning the alignment process. The 'Multiple Parameters' section includes fields for 'Gap Opening' (set to 10), 'Gap Extension' (set to 0.2), and 'Delay Divergent Sequences' (set to 30%). The 'Protein Weight Matrix' section offers options for BLOSUM, PAM, Gonnet, and Identity matrices, with 'Gonnet series' currently selected. The 'DNA Weight Matrix' section includes options for IUB and CLUSTALW(1.6), with 'IUB' selected.

Parameter!

Dateiformate - Fasta

Diese Dateien bestehen aus

1. „Headern“ (ein „>“ und die Bezeichnung der Sequenz)
2. den Sequenzen an sich

Die Sequenzen können dabei aus Nukleotiden oder Aminosäuren bestehen. Zeilenumbrüche in den Sequenzen sind erlaubt, aber nicht notwendig.

```
>TaxonXY_Seq1
-GGGGTGTGGATAGGTAGGGAGGCTGTTATAATGTGTTGGTGACGAGCCATGCTGT
GATGATAGTGTCTTCTTGTAAATGCCTGTTTATAGGAGGGTTGGTAAGTGAATTGATT
GACACCAGTTATGTTGGGTTGAGGGATATGGCTTACCCCGTTGAATAACCTTAG
GTTA
>TaxonXY_Seq2
GGGAGTTGGATGGTAGAGAGGCCATCTATAATGTATTGGTGAAGACATGCAGT
>XY_Seq3
GGGAGTTGGATGGTAGAGAGGCCATCTATAACGTATTGGTGAAGACATGCAGT
>XY_Seq4
GGGAGTTGGATGGTAGAGAGGCCATCTATAACGTATTGGTGAAGACATGCAGT
>XY_Seq5
GGGAGTTGGATGGTAGAGAGGCCATTATAACGTATTGGTGAAGACATGCAGT
>XY_Seq6
AGGGGTTGGATAGGAAGGGAGGCTGTATAATGTTTAGTAAGACACGCTGT
>XY_Seq7
AGGGGTTGGATAGGAAGGGAGGCTGTATAATGTTTAGTAAGACACGCTGT
>XY_Seq8
AGGGGTTGGATAGGGAGGGAGGCTGTATAATGTGTTAGTAAGACACGCTGT
```

Dateiformate - Phylip

Das Phylip-Format wird vornehmlich für Alignments verwendet (alle enthaltenen Sequenzen sind gleichlang und enthalten auch Lücken)

Angabe von Taxonzahl
und Anzahl Alignmentpositionen

8 85	Header auf 10 Zeichen limitiert!!
TaxonXY_Seq1	-GGGGTGTGG ATAGGTAGGG AGGCTGTTA TAATGTGTTG GTGACGAGCC
TaxonXY_Seq2	GGGAGTTTGG ATGGGTAGAG AGGCCATCTA TAATGTATTG GTGACTAGAC
XY_Seq3	GGGAGTTTGG ATGGGTAGAG AGGCCATCTA TAACGTATTG GTGACTAGGC
XY_Seq4	GGGAGTTTGG ATGGGTAGAG AGGCCATCTA TAACGTATTG GTGACTAGCC
XY_Seq5	GGGAGTTTGG ATGGGTAGAG AGGCCATTAA TAACGTATTG GTGACTAGAC
XY_Seq6	AGGGGTTTGG ATAGGAAGGG AGGCTGTGTA TAATGTTTA GTAACTAGAC
XY_Seq7	AGGGGTTTGG ATAGGAAGGG AGGCTGTGTA TAATGTTTA GTAACTAGAC
XY_Seq8	AGGGGTTTGG ATAGGGAGGG AGGCTGTGTA TAATGTGTTA GTAACTAGAC
	ATGCTGTGAT GATAGTGTTC TTTCTTGTA TGCGCT
	ATGCAGTTAT GATAGTATTTC TTTTTAGTTA TACCA
	ACGCTGTTAT AATGGTGTAA TTTCTAGTAA TACCG
	ACGCTGTTAT AATGGTGTAA TTTCTAGTAA TACCG
	ACGCTGTTAT AATGGTGTAA TTTCTAGTAA TACCG

Sequenzen in Zehnerblöcken, Umbrüche nach 50 Positionen

Dateiformate - Nexus

#NEXUS

BEGIN DATA;
DIMENSIONS NTAX=8 NCHAR=175;

Angabe von Taxonzahl
und Anzahl Alignmentpositionen

FORMAT DATATYPE=DNA INTERLEAVE MISSING=-;
[Name: TaxonXY_Seq1 Len: 175 Check: 0]
[Name: TaxonXY_Seq2 Len: 175 Check: 0]
[Name: XY_Seq3 Len: 175 Check: 0]
[Name: XY_Seq4 Len: 175 Check: 0]
[Name: XY_Seq5 Len: 175 Check: 0]
[Name: XY_Seq6 Len: 175 Check: 0]
[Name: XY_Seq7 Len: 175 Check: 0]
[Name: XY_Seq8 Len: 175 Check: 0]

MATRIX

TaxonXY_Seq1 -GGGGTGTGGATAGGTAGGG AGGCTGTTATAATGTGTTG GTGACGAGCCATGCTGTGAT GATAGTGTCTTCTTGAA TGCCTGTTTATAGGAGGG
TaxonXY_Seq2 GGGAGTTGGATGGGTAGAG AGGCCATCTATAATGTATTG GTGACTAGACATGCAGTTAT GATAGTATTCTTTTAGTTA TACCAGTTTATGGGGGG
XY_Seq3 GGGAGTTGGATGGGTAGAG AGGCCATCTATAACGTATTG GTGACTAGGCATGCAGTTAT GATAGTATTCTTTTAGTTA TACCAGTTTATGGGGGG
XY_Seq4 GGGAGTTGGATGGGTAGAG AGGCCATCTATAACGTATTG GTGACTAGGCATGCAGTTAT GATAGTATTCTTTTAGTTA TACCAGTTTATGGGGGG
XY_Seq5 GGGAGTTGGATGGGTAGAG AGGCCATTATAACGTATTG GTGACTAGACATGCAGTTAT GATAGTATTCTTTTAGTTA TACCAGTTTATGGGGGG
XY_Seq6 AGGGGTTGGATAGGAAGGG AGGCTGTTATAATGTTTA GTAACTAGACACGCTGTTAT AATGGTCTTTCTAGTAA TACCGTATTTATGGGGGG
XY_Seq7 AGGGGTTGGATAGGAAGGG AGGCTGTTATAATGTTTA GTAACTAGACACGCTGTTAT AATGGTCTTTCTAGTAA TACCGTATTTATGGGGGG
XY_Seq8 AGGGGTTGGATAGGGAGGG AGGCTGTTATAATGTGTTA GTAACTAGACACGCTGTTAT AATGGTCTTTCTAGTAA TACCGTATTTATGGGGGG

TaxonXY_Seq1 TTTGGTAACTGATTGACACC AGTTATGTTGGGTTGAGGG ATATGGCTTACCCGTTG AATAACCTTAGGTTA
TaxonXY_Seq2 TTTGGTAACTGACTAATACC TGTTATATTAGGGTTGAGGG ACATGGCCCTACCCGCTTA AATAATTGAGGTTG
XY_Seq3 TTTGGTAACTGACTAATACC TGTTATATTAGGGTTGAGGG ACATGGCCCTACCCGCTTA AATAATTGAGGTTG
XY_Seq4 TTTGGTAACTGACTAATACC TGTTATATTAGGGTTGAGGG ACATGGCCCTACCCGCTTA AATAATTGAGGTTG
XY_Seq5 TTTGGTAACTGATTAATACC TGTTATATTAGGGTTGAGGG ACATGGCCCTACCTCGCTTA AATAATTGAGGTTG
XY_Seq6 TTCGGTAATTGGCTTATGCC AGTGATGTTAGGGTTAAGGG ATATGGCCCTCCCCGACTG AACAAATTGAGGCTT
XY_Seq7 TTCGGTAATTGGCTTATGCC AGTGATGTTAGGGTTAAGGG ATATGGCCCTCCCCGACTG AACAAATTGAGGCTT
XY_Seq8 TTCGGTAATTGGCTCATGCC AGTGATGTTGGGTTAAGGG ATATGGCCCTCCCCGATTG AACAAATTAAAGGCTT

;
END;

Sequenzen in Zwanzigerblöcken,
Umbrüche nach 100 Positionen

Von der Sequenz zum Baum

Sequenzen

Orthologie!

Multiples Sequenz Alignment

gap penalties, Matrizen

Auswahl eines Evolutionsmodells

Auswahl von Methode & Algorithmus

Stammbaumberechnung
(mit/ohne statistischer Auswertung)

Evolutionsmodelle

DNA

- 1969: Jukes & Cantor (JC)
- 1980: Kimura 2-Parameter (K2P)
- 1981: Felsenstein 81 (F81)
- 1985: Hasegawa, Koshino & Yano (HKY85)
- uvm...

Protein

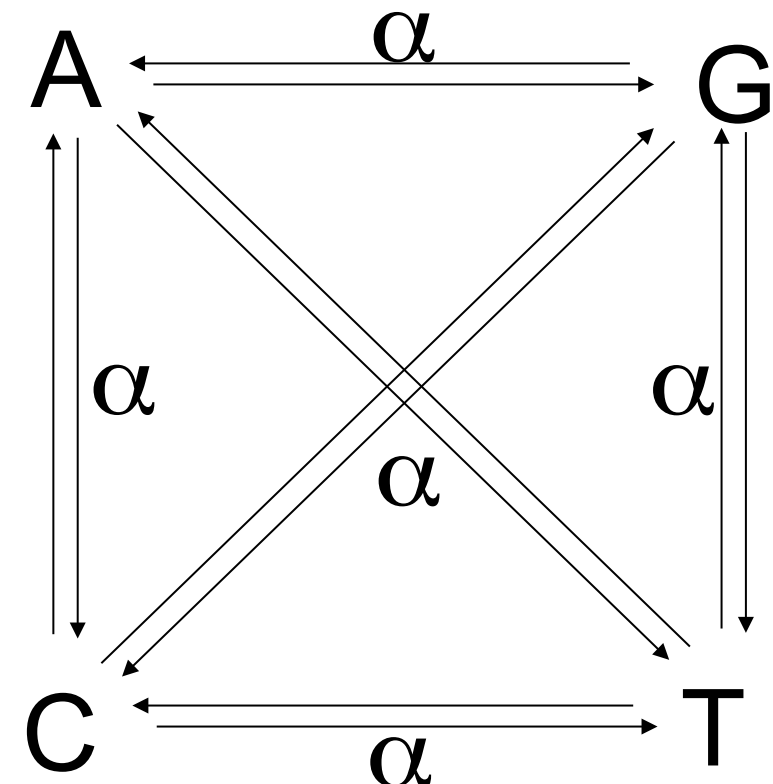
- 1970s: Dayhoff et al. (PAM family)
- 1992: Henikoff & Henikoff (BLOSUM family)
- 1992: Jones, Taylor & Thornton (JTT)
- 1996: Adachi & Hasegawa (mtREV)
- 1998: Yang et al. (mtMam)
- 2000: Adachi et al. (cpREV)
- 2001: Whelan and Goldman (WAG)
- 2002: Dimmic et al. (rtREV)
- 2007: Abascal et al. (mtArt)
- 2008: Le & Gascuel (LG)
- uvm...

Modell nach Jukes & Cantor

→ alle Austausche sind gleich wahrscheinlich!

→ Substitutionsrate = α für alle Änderungen

→ Ein-Parameter-Modell



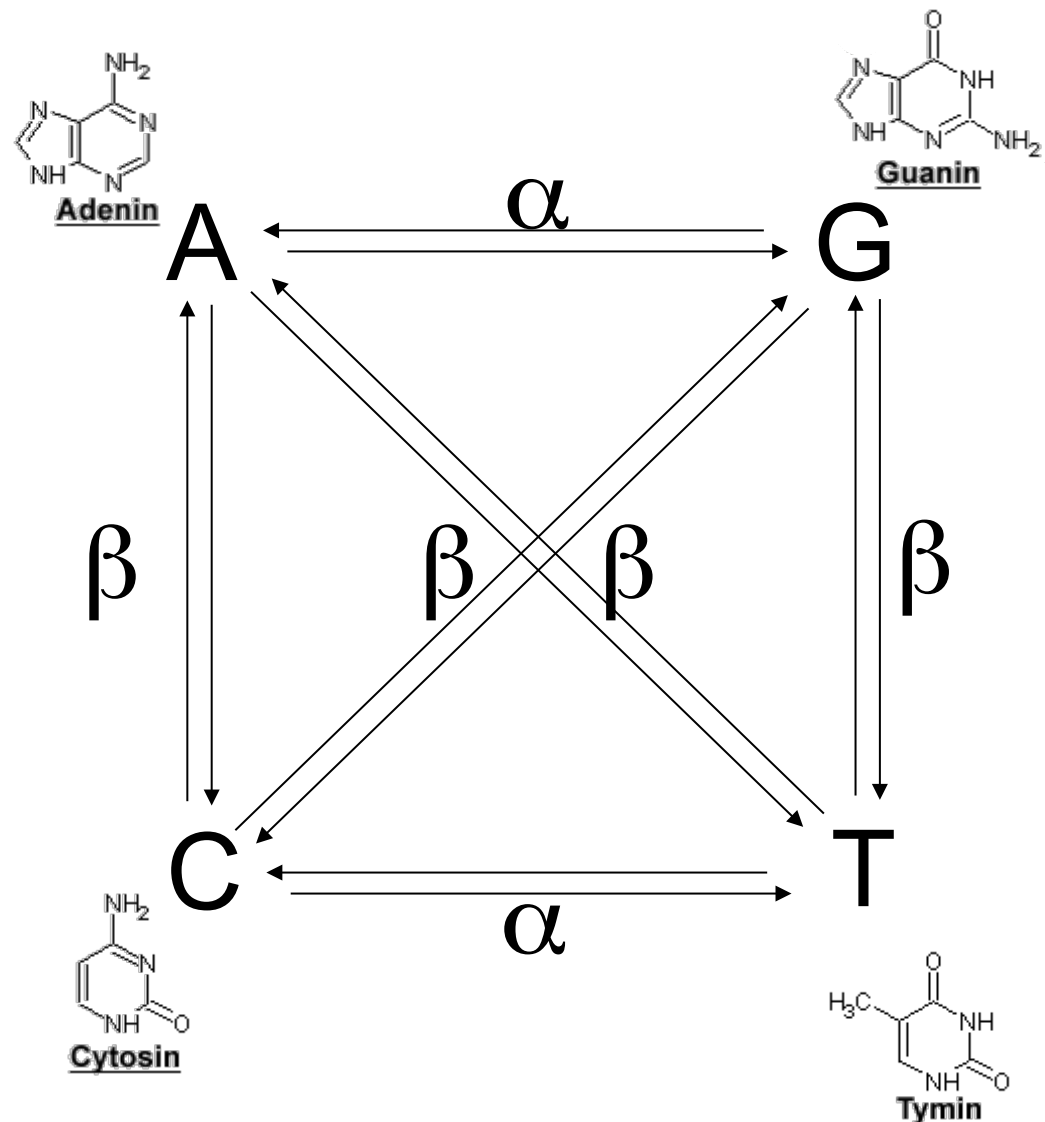
Kimura 2-Parameter-Modell

→ unterschiedliche Wahrscheinlichkeiten für Transitionen und Transversionen

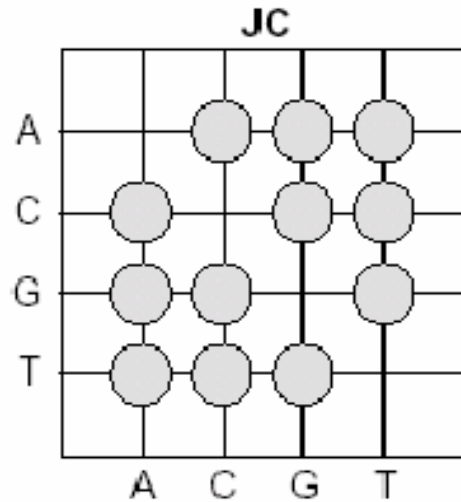
Transition: α

Transversion: β

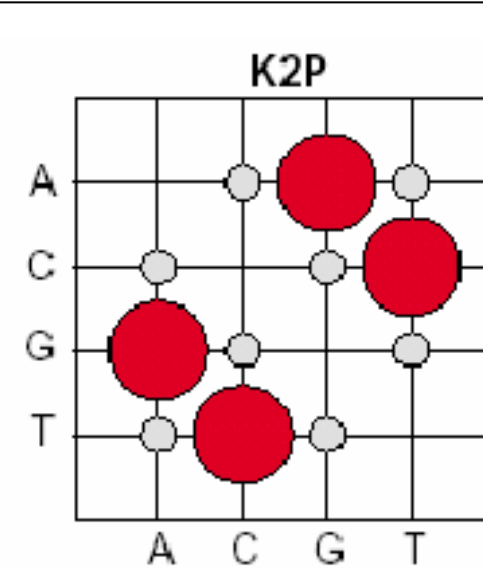
$$P_{AA}(1) = 1 - \alpha - 2\beta$$



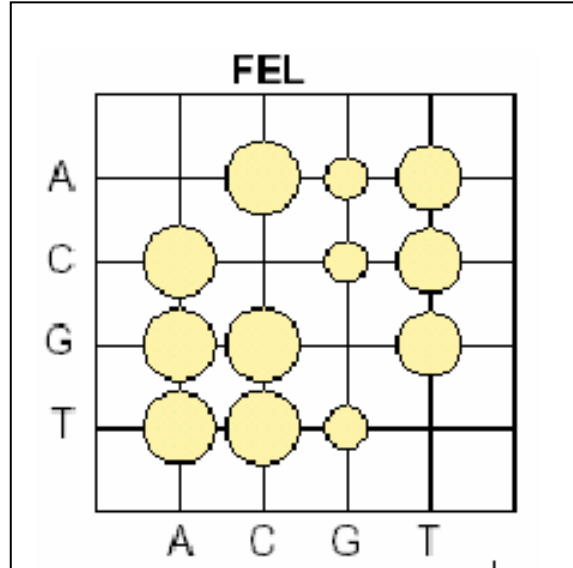
Evolutionsmodelle (DNA)



- alle Substitutionen gleich häufig
- erwartete Nukleotidzusammensetzung identisch

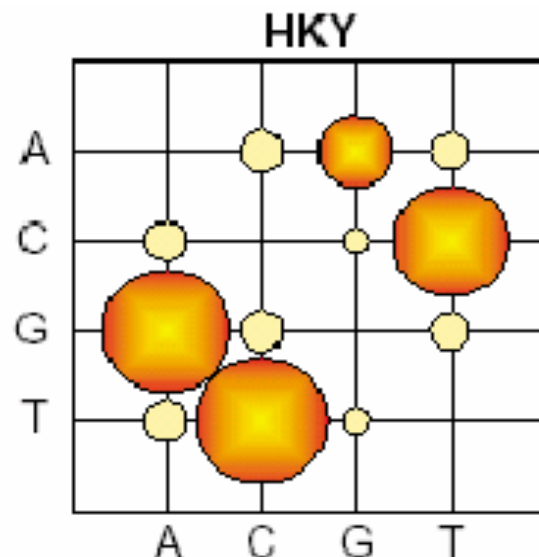


- Transitionen und Transversionen unterschiedlich häufig
 - erwartete Nukleotidzusammensetzung identisch

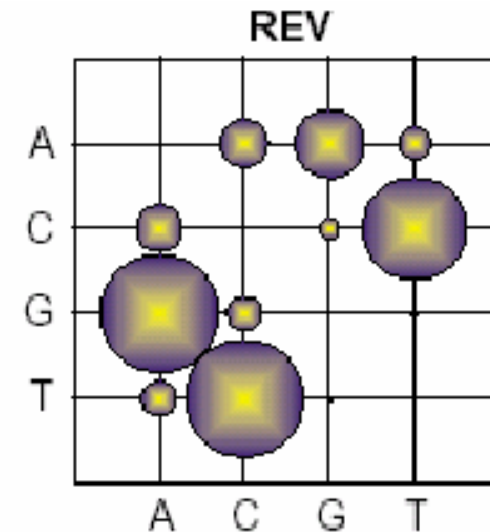


- erwartete Nukleotidzusammensetzung unterschiedlich

Evolutionsmodelle (DNA)

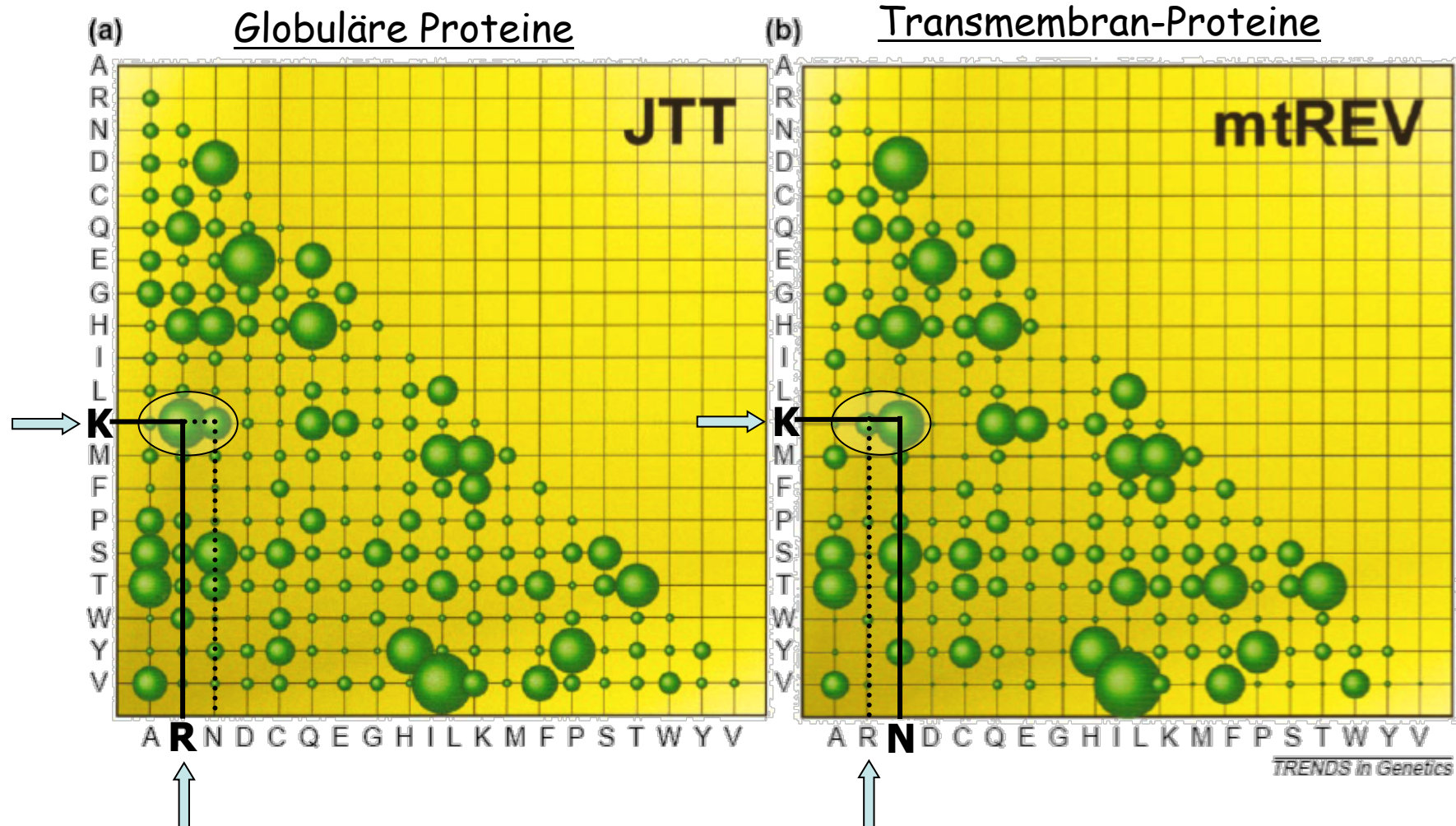


Transitionen und Transversionen und Nukleotidzusammensetzung sind unterschiedlich häufig



Alle Parameter (Austausche und Austauschrichtungen) und Nukleotidzusammensetzung dürfen variieren

Spezialisierte Evolutionsmodelle für bestimmte Protein-Typen

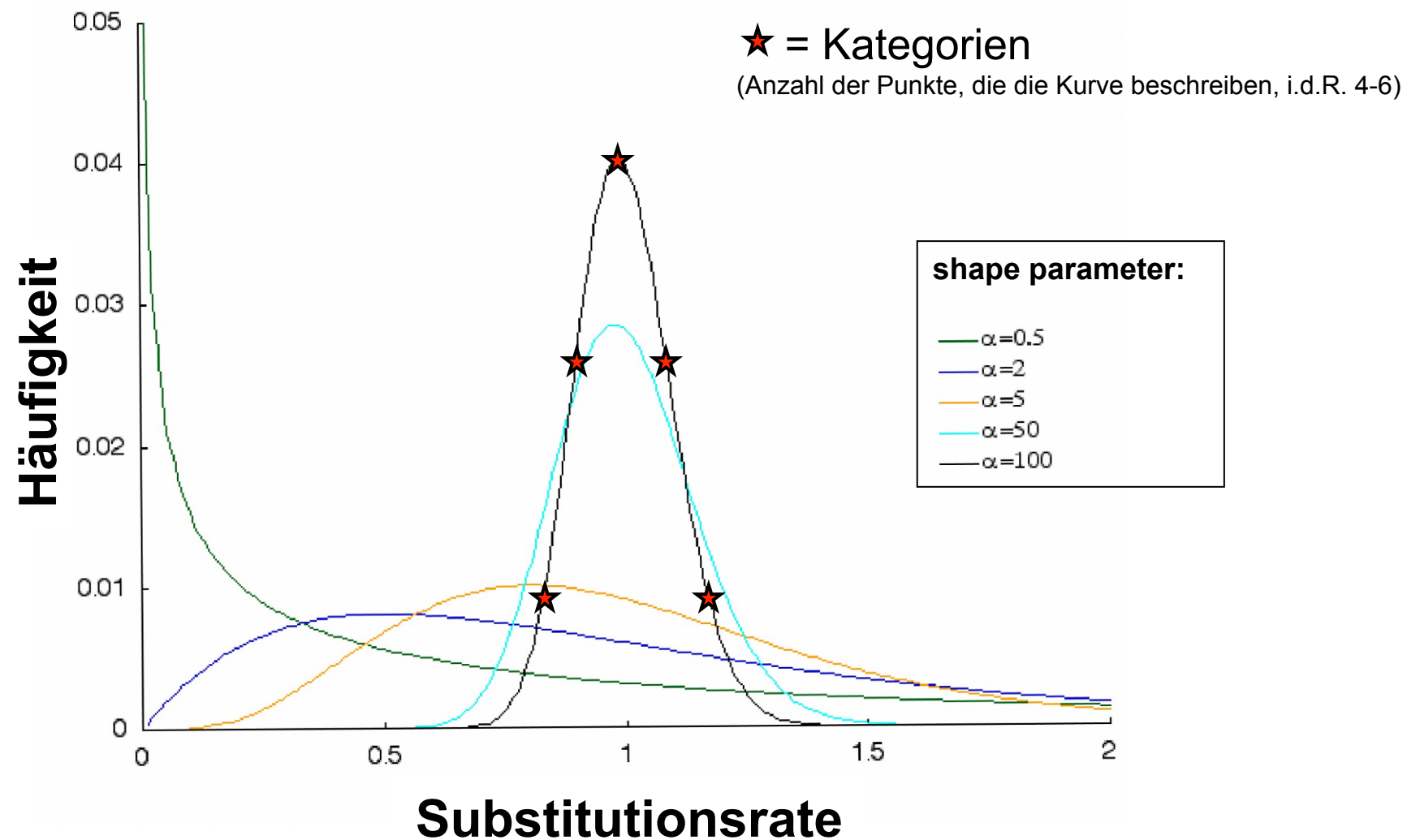


Variation der Substitutionsraten

- Jede Säule im MSA hat prinzipiell eine eigene Substitutionsrate („***among site rate variation***“ → ∞)
- Annahme: Die Variation der Rate lassen sich über eine **Gamma- {Γ}Verteilung** beschreiben
- der "***shape***"-parameter α gibt die relative Verteilung der unterschiedlichen Substitutionsraten in der Gamma-Verteilung wieder

α gross	→ geringe Streuung der Substitutionsraten
α klein	→ grosse Streuung der Substitutionsraten

Variation der Substitutionsraten



Wie komplex soll das Modell sein?

Je komplexer das Modell (also je mehr Annahmen), desto genauer und realistischer unsere Berechnung der Substitutionsraten

ABER

Zusätzliche Parameter müssen aus den Daten abgeschätzt werden
→ je mehr Annahmen man trifft, desto größer wird der statistische Fehler (Varianz) der erhaltenen Werte!

Das heißt?

- möglichst "gute" Daten
- möglichst einfaches Modell, das dennoch exakt ist

Bestimmung eines geeigneten Evolutionsmodells

D.Posada and K.A.Crandall

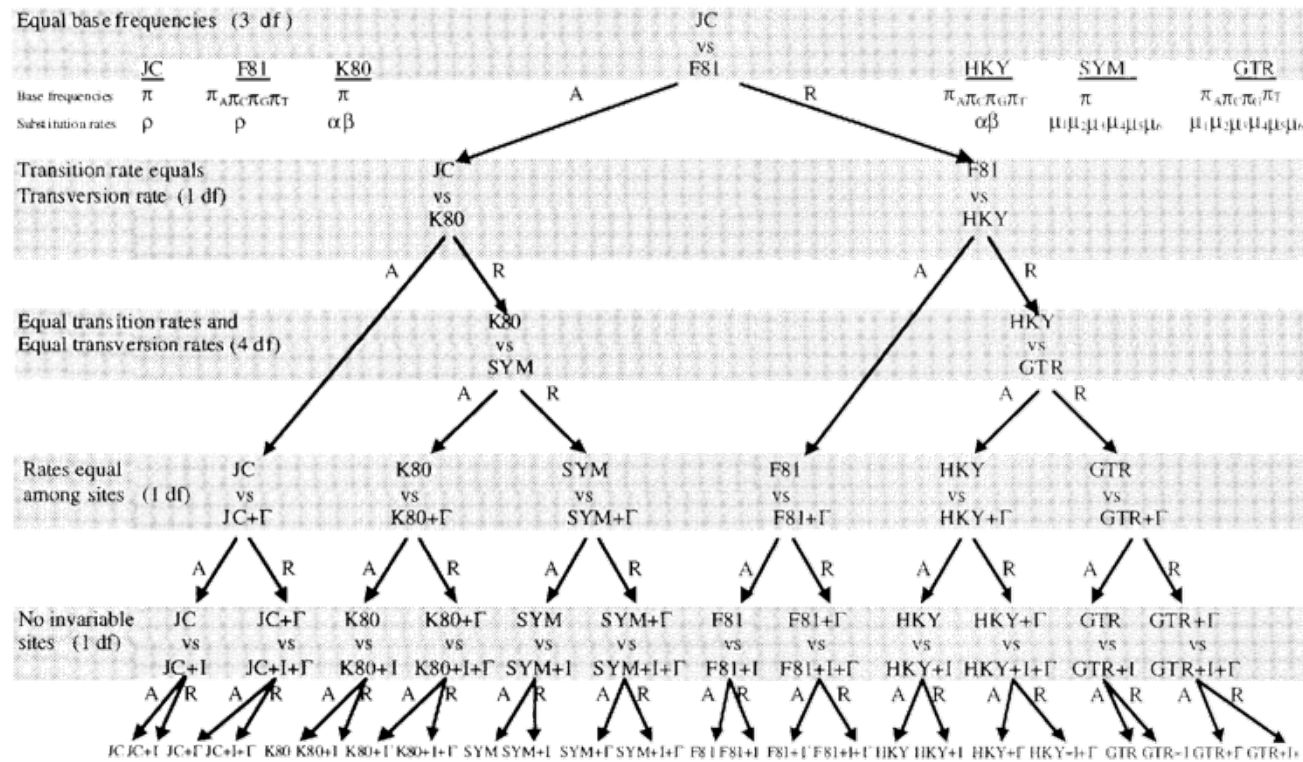


Fig. 1. Hierarchical hypothesis testing in MODELTEST. At each level the null hypothesis (upper model) is either accepted (A) or rejected (R). The models of DNA substitution are: JC (Jukes and Cantor, 1969), K80 (Kimura, 1980), SYM (Zharkikh, 1994), F81 (Felsenstein, 1981), HKY (Hasegawa *et al.*, 1985), and GTR (Rodriguez *et al.*, 1990). Γ : shape parameter of the gamma distribution; I: proportion of invariable sites. df: degrees of freedom. 1: equal base frequencies (0.25), π_A : frequency of adenine, π_C : frequency of cytosine, π_G : frequency of guanine, π_T : frequency of thymine. ρ : equal substitution rate, α : transition rate; μ_1 : A \Rightarrow C rate, μ_2 : A \Rightarrow G rate, μ_3 : A \Rightarrow T rate, μ_4 : C \Rightarrow G rate, μ_5 : C \Rightarrow T rate, μ_6 : G \Rightarrow T rate.

hierarchischer Likelihood ratio test (→ hLRT)

- schrittweise kompliziertere Modelle

- signifikant besser als das vorherige Modell?

Bestimmung eines geeigneten Evolutionsmodells

Programme wie ModelTest, FindModel, ProtTest sortieren die Ergebnisse nach bestimmten Kriterien:

AIC (Akaike Information Criterion)

$$AIC = -2 \ln L + 2K$$

AICc (corrected Akaike Information Criterion)

$$AICc = AIC + 2K(K+1)/(N-K-1)$$

BIC (Bayesian Information Criterion)

$$BIC = -2\ln L + K\log N$$

L = model likelihood, K = number of estimatable parameters, N = sample size

Bestimmung eines geeigneten Evolutionsmodells

Neben dem Substitutionsmodell an sich werden mitunter noch weitere Einstellungen empfohlen:

Variation der Substitutionsraten

- +G Gamma-Verteilung der Substitutionsraten
- +I Anteil an invariablen Stellen

Aminosäure/Nukleotid-Frequenzen

- +F die Gleichgewichts-Frequenzen werden aus dem Datensatz abgeschätzt

Von der Sequenz zum Baum

Sequenzen

Orthologie!

Multiples Sequenz Alignment

gap penalties, ...

Auswahl eines Evolutionsmodells

hLRT, gamma-shape, ...

Auswahl von Methode & Algorithmus

Stammbaumberechnung
(mit/ohne statistischer Auswertung)

Methoden für die Stammbaumerstellung

1. Distanz-orientierte Methoden

- UPGMA (Unweighted Pair-Group Method with Arithmetic Means)
- Neighbor-joining

→ Sequenzen werden in Distanzmatrix konvertiert

2. Charakter-orientierte Methoden

- Maximum Parsimony
- Maximum Likelihood
- Bayes'sche Methoden

→ jede Position wird als informative Einheit betrachtet

Berechnung einer Distanzmatrix

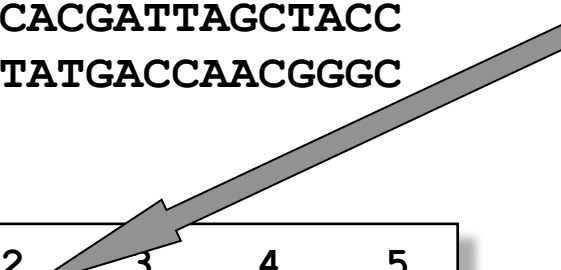
Distanz = durchschnittliche Änderung pro Position

→ Berechnen der paarweisen Abstände zwischen den Sequenzen

Sequenz 1	TAT	AAGC	ATGACT	AGTAA	GC
Sequenz 2	TAT	TAGC	ATGACT	GGTAA	CC
Sequenz 3	TATTGG	CATGACT	AGTAGC	AGGC	
Sequenz 4	TGTTGCCACGATTAGCTACC				
Sequenz 5	CGTAGCTATGACCAACGGGC				

Beispiel: Seq1 vs. Seq2

3 von 20 Positionen verändert



	1	2	3	4	5	
Sequenz 1	0.00	0.15	0.20	0.45	0.50	
Sequenz 2			0.00	0.25	0.40	0.65
Sequenz 3				0.00	0.35	0.40
Sequenz 4					0.00	0.50
Sequenz 5						0.00

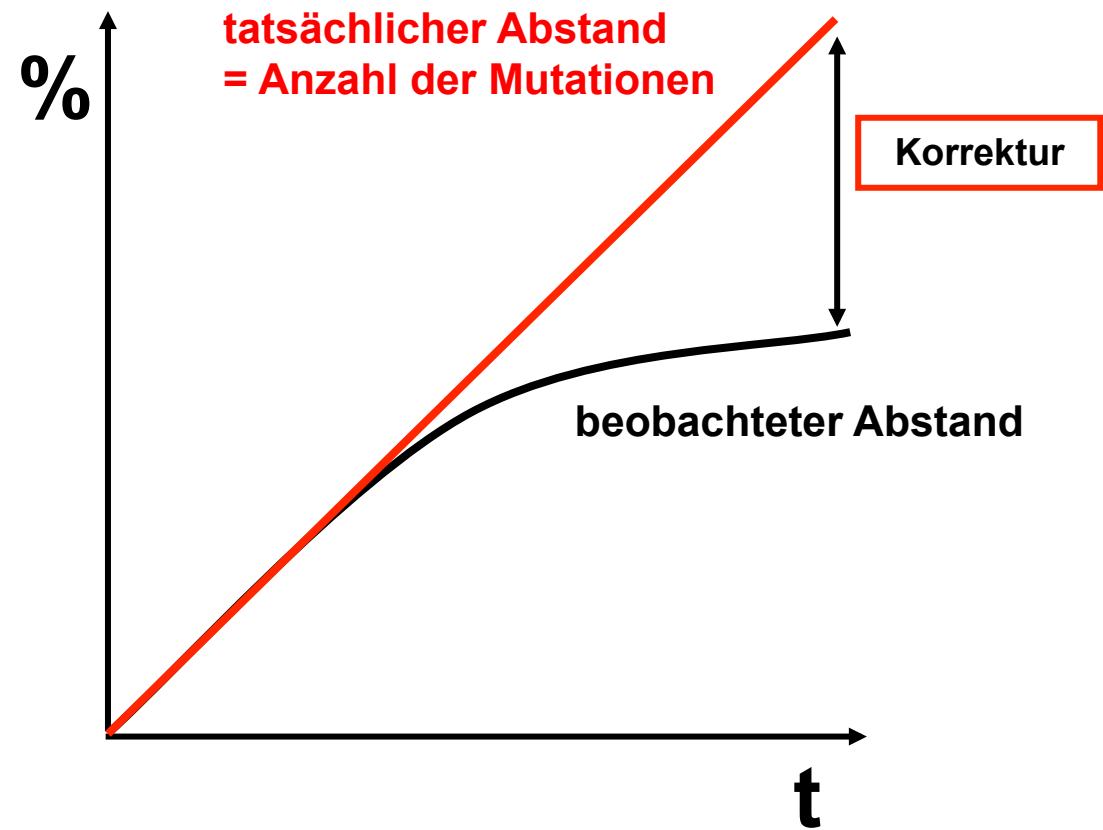
Korrektur der Distanzen

Warum?

multiple Austausche,
Rückmutationen, etc.

Wie?

Evolutionsmodelle!



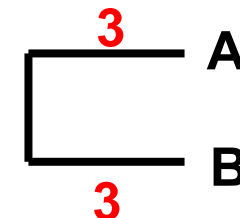
Distanzmethoden: UPGMA

UPGMA

Unweighted Pair-Group Method with Arithmetric Means

	A	B	C	D
OTU A	0	6	10	18
OTU B	0	12	20	
OTU C		0	19	
OTU D			0	

$$\frac{d_{AB}}{2} = 3$$



$$\frac{d_{AC} + d_{BC}}{2}$$

$$\frac{d_{AD} + d_{BD}}{2}$$

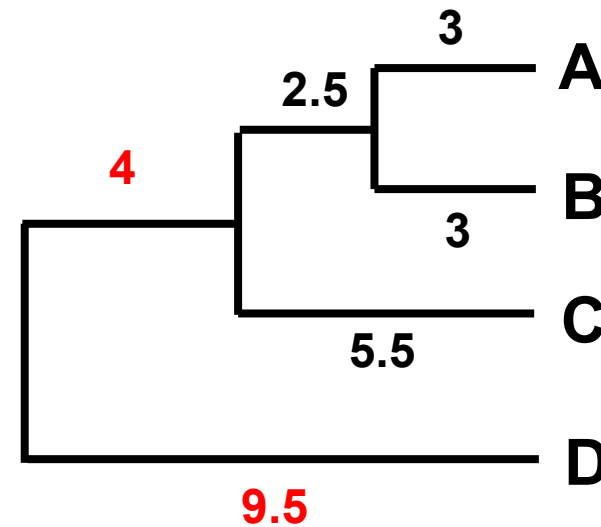
	A/B	C	D
OTU A/B	0	11	19
OTU C	0	19	
OTU D		0	

$$\frac{d_{(AB)C}}{2} = 5,5$$



Distanzmethoden: UPGMA

	A/B/C	D
Sequenz A/B/C	0	19
Sequenz D		0

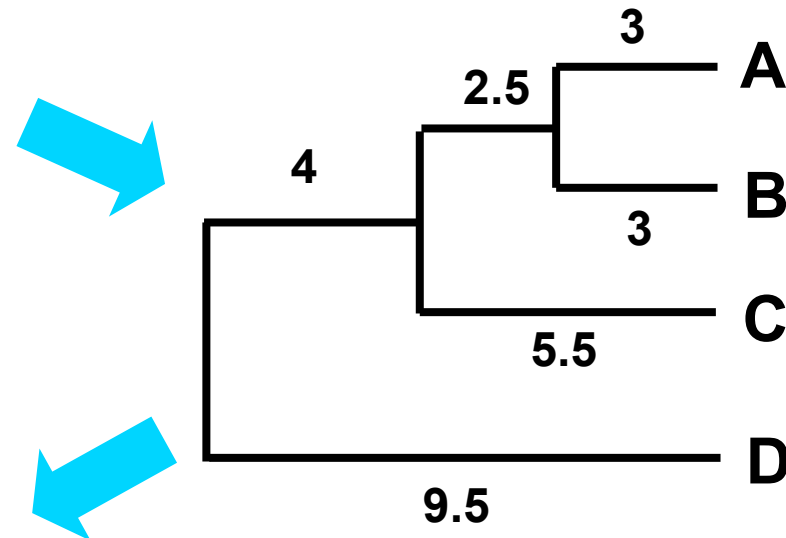


- nimmt konstante Evolutionsraten an
- Außengruppe wird „automatisch“ bestimmt

Distanzmethoden: UPGMA

Ausgangsmatrix

	A	B	C	D
OTU A	0	6	10	18
OTU B		0	12	20
OTU C			0	19
OTU D				0



rekonstruierte Matrix

	A	B	C	D
OTU A	0	6	11	19
OTU B		0	11	19
OTU C			0	19
OTU D				0

Rekonstruktion der Matrix mißlingt!

Distanzmethoden: Neighbor Joining

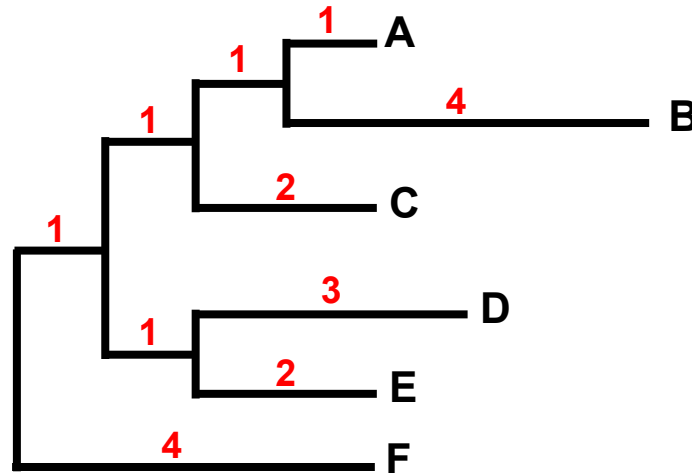
Grundlage: „Minimum Evolution“

- Minimierung der Summe aller Astlängen im Baum
- Astlänge entspricht Distanz zwischen taxa

Um den kürzesten Baum zu finden müssten ALLE Bäume berechnet werden, dies ist mit steigender taxa-Anzahl quasi unmöglich

→ **Neighbor Joining (NJ)** ist ein heuristischer Clustering-Algorithmus

Distanzmethoden: Neighbor Joining



Paarweise Distanzen:

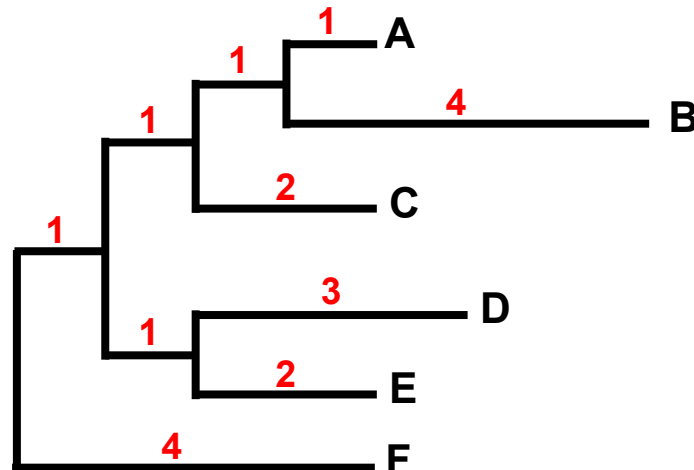
	A	B	C	D	E	F
A	0	5	4	7	6	8
B		0	7	10	9	11
C			0	7	6	8
D				0	5	9
E					0	8
F						0

→ Was würde **UPGMA** tun?

→ Cluster A+C

→ Was tut **NJ** um dies zu verhindern??

Distanzmethoden: Neighbor Joining



Paarweise Distanzen:

	A	B	C	D	E	F
A	0	5	4	7	6	8
B		0	7	10	9	11
C			0	7	6	8
D				0	5	9
E					0	8
F						0

Schritt 1: Berechne die „*Gesamtdistanz*“ r für jedes Taxon
(= summierte Abstände eines Taxons zu allen anderen Taxa)

$$r_A = 5 + 4 + 7 + 6 + 8 = 30$$

$$r_D = 7 + 10 + 7 + 5 + 9 = 38$$

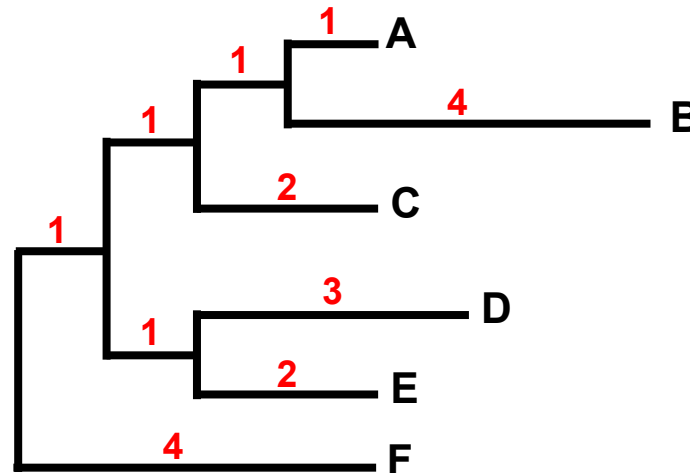
$$r_B = 5 + 7 + 10 + 9 + 11 = 42$$

$$r_E = 6 + 9 + 6 + 5 + 8 = 34$$

$$r_C = 4 + 7 + 7 + 6 + 8 = 32$$

$$r_F = 8 + 11 + 8 + 9 + 8 = 44$$

Distanzmethoden: Neighbor Joining



Paarweise Distanzen

	A	B	C	D	E	F
A	0	5	4	7	6	8
B	-13	0	7	10	9	11
C	-11	5	0	7	6	8
D				0	5	9
E					0	8
F						0

Gesamtdistanzen

$r_A = 30$	$r_D = 38$
$r_B = 42$	$r_E = 34$
$r_C = 32$	$r_F = 44$

Schritt 2: Erstelle eine „**Raten-korrigierte Distanzmatrix**“ mit Hilfe dieser Gesamtdistanzen

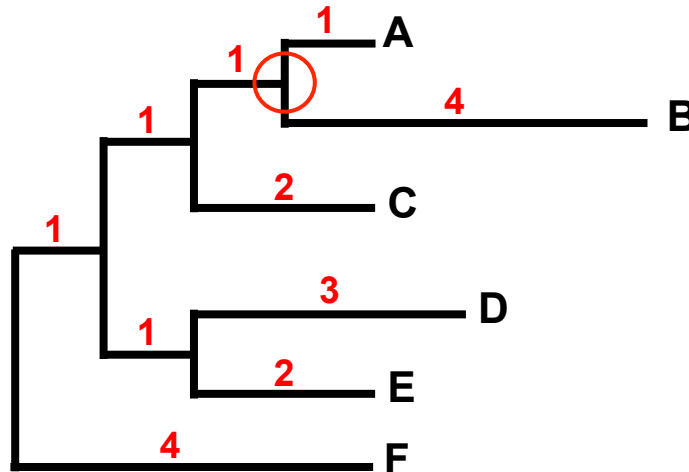
$$M_{AB} = d_{AB} - (r_A + r_B) / (N-2)$$

$$M_{AC} = d_{AC} - (r_A + r_C) / (N-2) = 4 - (30 + 32) / 4 = \underline{-11,5}$$

$$M_{AD} = \dots$$

N = Anzahl der taxa

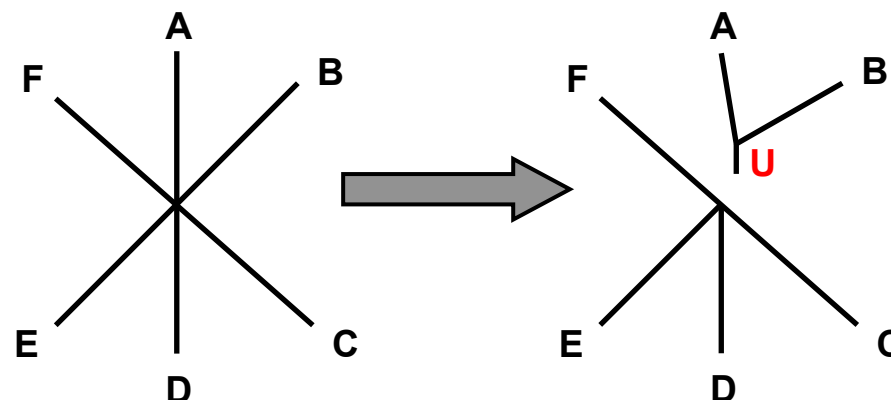
Distanzmethoden: Neighbor Joining



Ratenkorrigierte Distanzmatrix

	A	B	C	D	E	F
A	0	5	4	7	6	8
B	-13	0	7	10	9	11
C	-11,5	-11,5	0	7	6	8
D	-10	-10	-10,5	0	5	9
E	-10	-10	-10,5	-13	0	8
F	-10,5	-10,5	-11	-11,5	-11,5	0

Schritt 3: Gruppiere 2 taxa, für die M minimal ist → **neuer Knoten U**



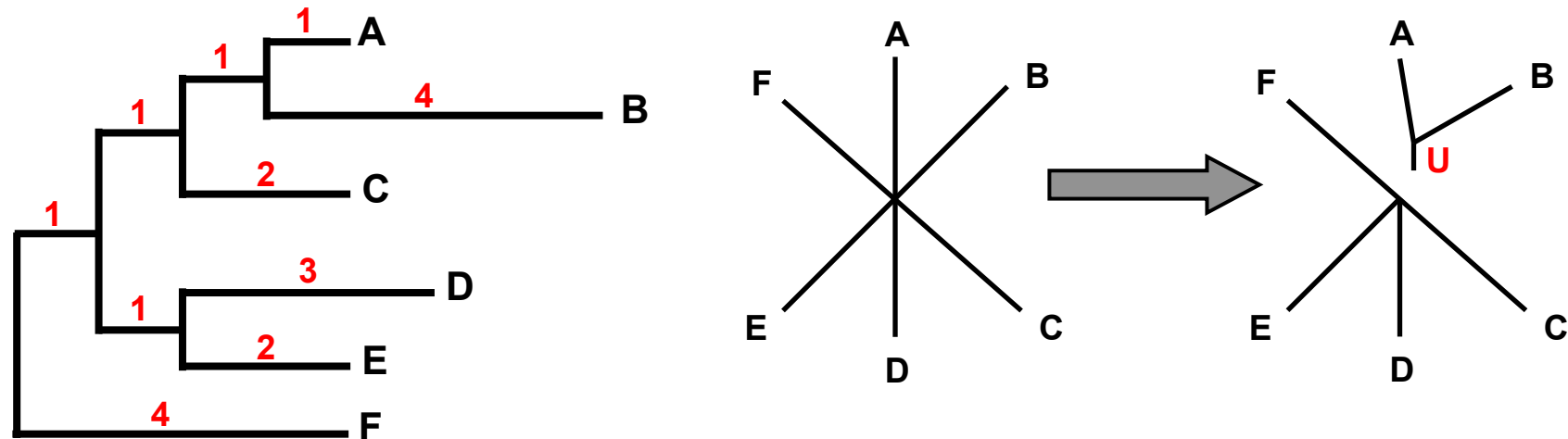
Die Astlagen gehen nicht verloren!

$$S_{AU} = d_{AB}/2 + (r_A - r_B)/2^*(N-2) = 1$$

$$S_{BU} = d_{AB}/2 + (r_B - r_A)/2^*(N-2) = 4$$

$$[S_{BU} = d_{AB} - S_{AU} = 4]$$

Distanzmethoden: Neighbor Joining



Schritt 4: Berechne eine neue Distanzmatrix mit dem **neuen Knoten U**

$$d_{UC} = (d_{AC} + d_{BC} - d_{AB})/2 = (4 + 7 - 5)/2 = 3$$

$$d_{UD} = (d_{AD} + d_{BD} - d_{AB})/2 = (7 + 10 - 5)/2 = 6$$

$$d_{UE} = \dots = 5$$

$$d_{UF} = \dots = 7$$

Paarweise Distanzen:

	U	C	D	E	F
U	0	3	6	5	7
C		0	7	6	8
D			0	5	9
E				0	8
F					0

Distanzmethoden: Neighbor Joining

Paarweise Distanzen

	U	C	D	E	F
U	0	3	6	5	7
C	0	7	6	8	
D	0	5	9		
E	0	8			
F	0				

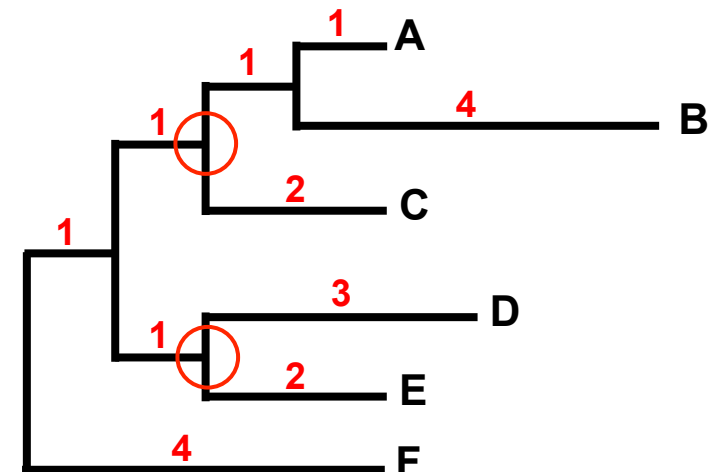
Gesamtdistanzen

$$\begin{aligned} r_U &= 21 & r_D &= 27 \\ r_C &= 24 & r_E &= 24 \\ r_F &= 32 \end{aligned}$$

Ratenkorrigierte Distanzmatrix

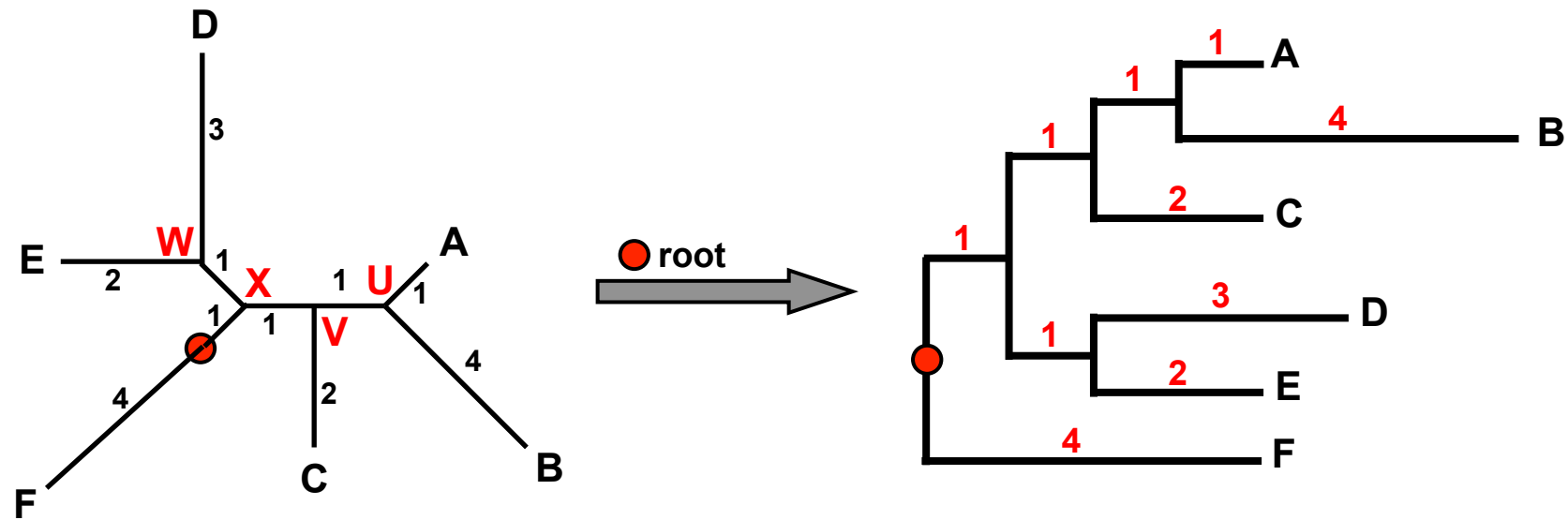
	U	C	D	E	F
U	0	3	6	5	7
C	-12	0	7	6	8
D	-10	-11	0	5	9
E	-10	-10	-12	0	8
F	-10,7	-10,7	-10,7	-10,7	0

- Berechne Gesamtdistanzen r
- Erstelle Ratenkorrigierte Distanzmatrix
- Gruppiere taxa, für die M minimal ist
- Definiere neuen Knoten V
- Speichere die Astlängen
- Berechne neue Distanzmatrix
- ...



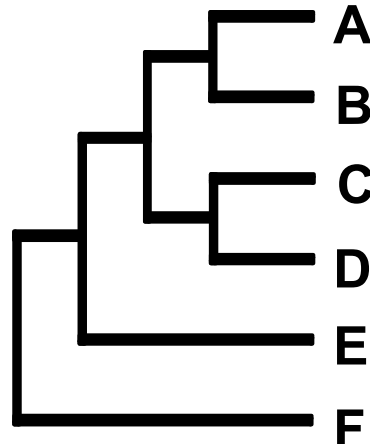
Distanzmethoden: Neighbor Joining

NJ liefert einen *ungewurzelten* Baum!



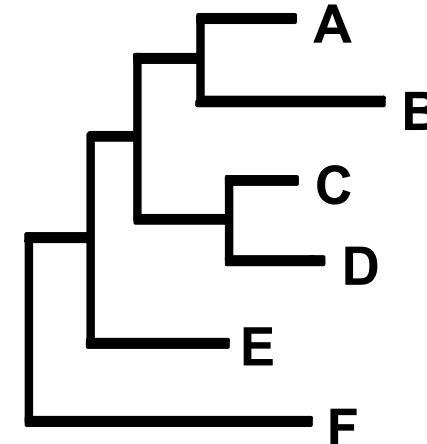
Durch Festlegen einer **Außengruppe** bekommt der Baum eine evolutionäre Richtung

Distanzmethoden: UPGMA vs. NJ



UPGMA

Unweighted Pair-Group Method
with Arithmetic Means



NJ

Neighbor Joining

Aussengruppe festgelegt



Aussengruppe wählbar

konstante Evolutionsrate



unterschiedliche Evolutionsraten

Astlängenverlust



Kein Astlängenverlust

Keine Matrixrekonstruktion möglich



Matrixrekonstruktion möglich

Methoden für die Stammbaumerstellung

1. Distanz-orientierte Methoden

- UPGMA (Unweighted Pair-Group Method with Arithmetic Means)
- Neighbor-joining

→ Sequenzen werden in Distanzmatrix konvertiert

2. Charakter-orientierte Methoden

- Maximum Parsimony
- Maximum Likelihood
- Bayes'sche Methoden

→ jede Position wird als informative Einheit betrachtet

Maximum Parsimony

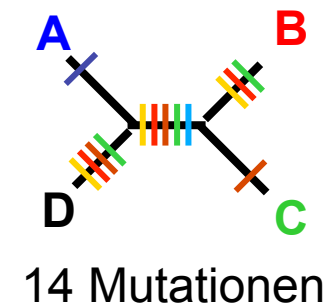
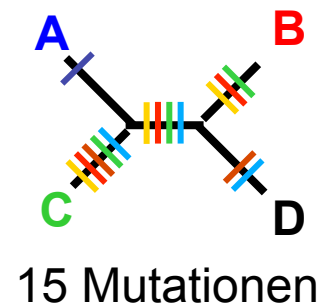
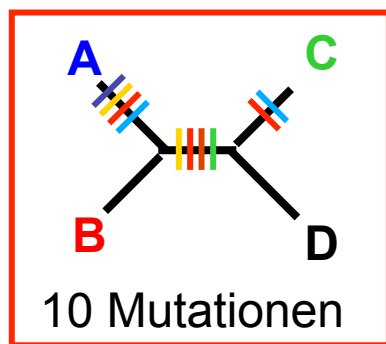
Annahme die Evolution ist sparsam

Gesucht der Baum, der die wenigsten Mutationen erfordert

Sequenz	Position								
	1	2	3	4	5	6	7	8	9
A	A	A	G	A	G	T	G	C	A
B	A	G	C	C	G	T	G	C	G
C	A	G	A	T	A	T	C	C	A
D	A	G	A	G	A	T	C	C	G
	*	*	*						

4 taxa

→ 3 mögliche Stammbäume



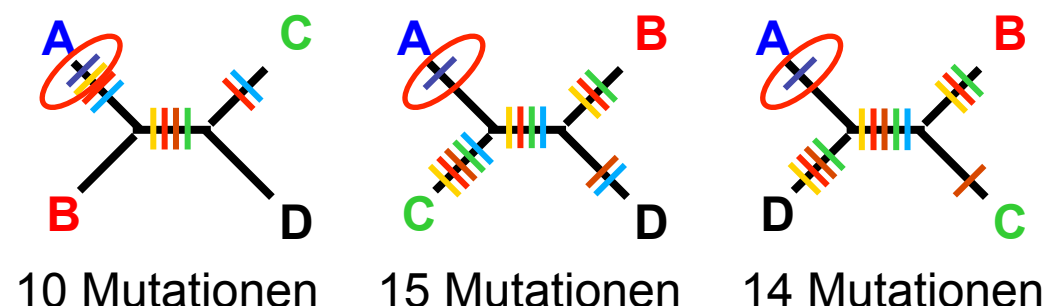
Maximum Parsimony

Achtung!

Nicht jede Mutation läßt einen Schluß auf die „richtige“ Topologie zu!

Sequenz	Position								
	1	2	3	4	5	6	7	8	9
A	A	A	G	A	G	T	G	C	A
B	A	G	C	C	G	T	G	C	G
C	A	G	A	T	A	T	C	C	A
D	A	G	A	G	A	T	C	C	G

↑ ↑



Parsimony-informative Positionen (*)

Wenigstens zwei verschiedene Charaktere an dieser Position, wobei jeder dieser Charaktere wenigstens in zwei der Sequenzen vorkommt

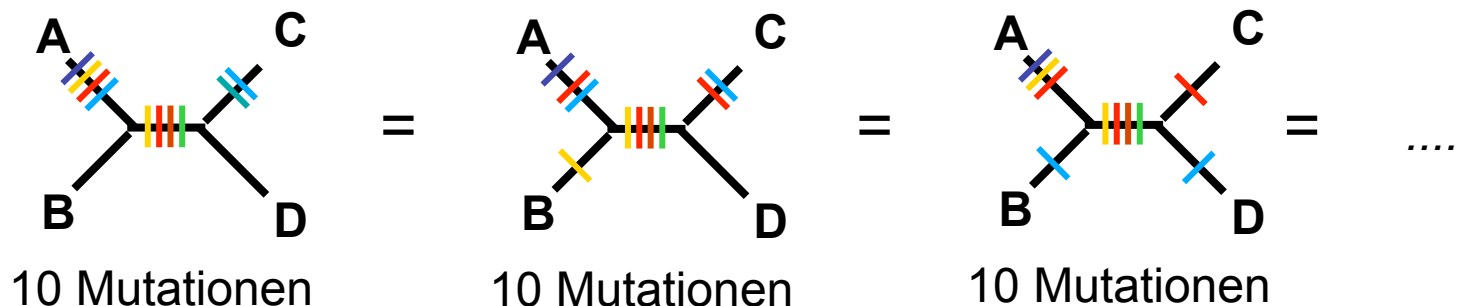
Maximum Parsimony

ABER

Ort der Mutation nicht immer eindeutig definiert

→ Parsimony berechnet zunächst **keine Astlängen!**

	Position								
Sequenz	1	2	3	4	5	6	7	8	9
A	A	A	G	A	G	T	G	C	A
B	A	G	C	C	G	T	G	C	G
C	A	G	A	T	A	T	C	C	A
D	A	G	A	G	A	T	C	C	G



Maximum Parsimony für Proteine

1. Modell (z.B. PAUP)

- Alle Substitutionen sind gleich wahrscheinlich
- Beispiel Ile → Met ≡ Ile → Ala ≡ Ile → Trp ... **je 1 Schritt**

2. Modell (PROTPARS-Modell in PHYLIP)

- legt genetischen Code zugrunde
- "silent site mutations" werden ignoriert
- Beispiel Ile → Met: ATA/C/T → ATG **ein Schritt**
 Ile → Ala: ATA/C/T → GCN **zwei Schritte**
 Ile → Trp: ATA/C/T → TGG **drei Schritte**

Maximum Parsimony

Nachteile

- empfindlich bei stark unterschiedlichen Evolutionsraten
„Long Branch Attraction“
- Astlängenberechnung erfordert separaten Schritt
- Evolutionsmodelle sind nur eingeschränkt anwendbar
- hoher Rechenaufwand bei >20 taxa
- nur „Parsimony-informative“ Positionen können Auskunft über die Topologie geben!

Die Charakter-basierten Methoden ***Maximum Likelihood***
und ***Bayes*** werden im Rahmen des Phylogenomik-Projekts erläutert...

Distanz vs. Charaktermethoden

Distanzmethoden (UPGMA, NJ)

- Sukzessive Rekonstruktion des Stammbaums (Clustering-Algorithmus)
- UPGMA: „gemittelte“, konstante Evolutionsraten (Molekulare Uhr)
- NJ: „echte“ Evolutionsraten

Charaktermethoden (MP, ML)

- Stammbaum vorgegeben („tree space“), „hill-climbing“-Algorithmus
- Analyse aller Möglichkeiten, diesen Stammbaum mit den vorhandenen Daten zu erklären
- MP: kürzester (sparsamster) Baum
- ML: zutreffendster Baum gemäß Evo-Modell

Von der Sequenz zum Baum

Sequenzen

Orthologie!

Multiples Sequenz Alignment

gap penalties, ...

Auswahl eines Evolutionsmodells

hLRT, gamma shape, ...

Auswahl von Methode & Algorithmus

Distanz- vs.
Charaktermethoden

Stammbaumberechnung
(mit/ohne statistischer Auswertung)

Statistische Bewertung

...oder... „Wie gut oder glaubhaft ist mein Stammbaum?“

→ Die häufigste Methode ist „**Bootstrapping**“

- hierbei werden aus dem Alignment sogenannte Pseudosamples (i.d.R. 100 Stück) gleicher Länge erstellt
- man erhält 100 Bäume aus 100 Pseudo-Alignments...

Orginalsequenzen

	Position								
Sequence	1	2	3	4	5	6	7	8	9
A	A	A	A	A	G	T	G	C	A
B	A	G	C	C	G	T	G	C	G
C	A	G	A	T	A	T	C	C	A
D	A	G	A	G	A	T	C	C	G

Pseudosample 1

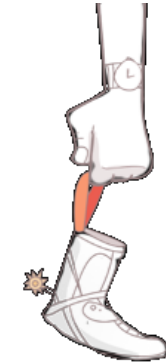
	Position								
Sequence	1	2	2	4	5	5	7	8	8
A	A	A	A	A	G	G	G	C	C
B	A	G	G	C	G	G	C	C	C
C	A	G	G	T	A	A	C	C	C
D	A	G	G	G	A	A	C	C	C

...

Statistische Bewertung

Bootstrapping

- 100 Pseudosamples (Alignments)
- 100 Stammbäume



→ **Consensusbaum**

- strict consensus nur Gruppen, die in ALLEN Bäumen monophyletisch waren, werden aufgelöst angezeigt
- majority rule consensus Gruppen, die in DEN MEISTEN Bäumen monophyletisch waren, werden aufgelöst angezeigt
- support values werden für die jeweilige monophyletische Gruppe angegeben

Statistische Bewertung

Jackknifing

- „Ziehen ohne Zurücklegen“
- entstehende Pseudosamples sind nicht so lang wie das Originalalignment (i.d.R. $N/2$)

- auch hier gewöhnlich 100 Pseudosamples
- 100 Stammbäume



Von der Sequenz zum Baum

Sequenzen

Orthologie!

Multiples Sequenz Alignment

gap penalties, ...

Auswahl eines Evolutionsmodells

hLRT, gamma shape, ...

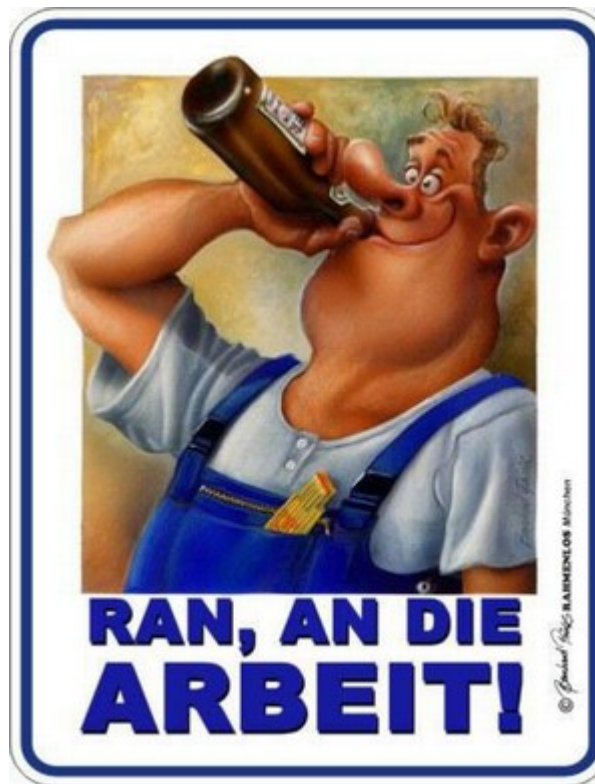
Auswahl von Methode & Algorithmus

Distanz- vs.
Charaktermethoden

Stammbaumberechnung
(mit/ohne statistischer Auswertung)

Bootstrapping, Jackknifing,
...

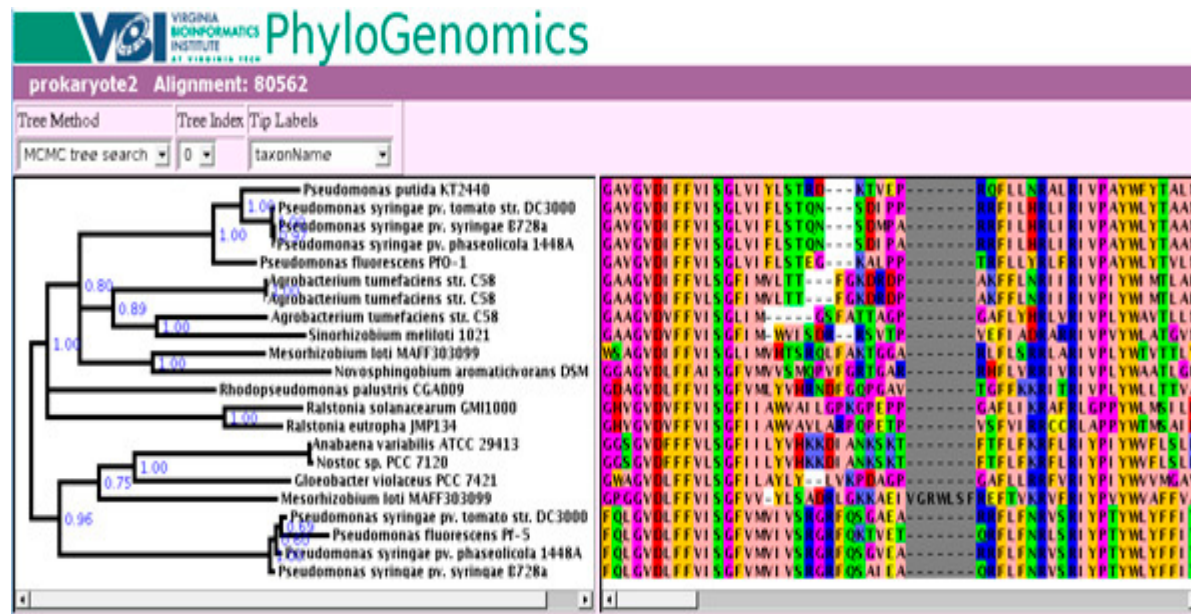
...dann mal los!



RAN, AN DIE
ARBEIT!

© Rainer Rössig RAHMENLOS München

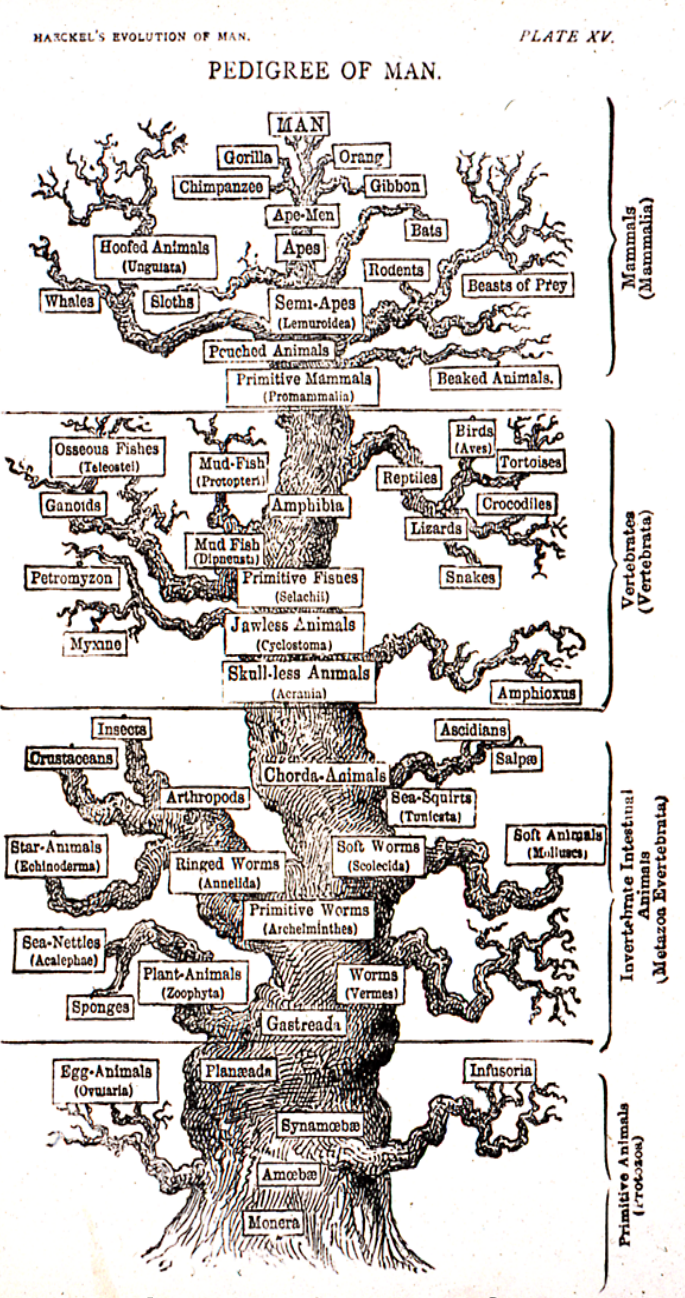
Phylogenomik: Lösen große Datensätze die Probleme?



Darwin's letter to Thomas Huxley 1857

“The time will come I believe, though I shall not live to see it, when we shall have fairly true genealogical trees of each great kingdom of nature”

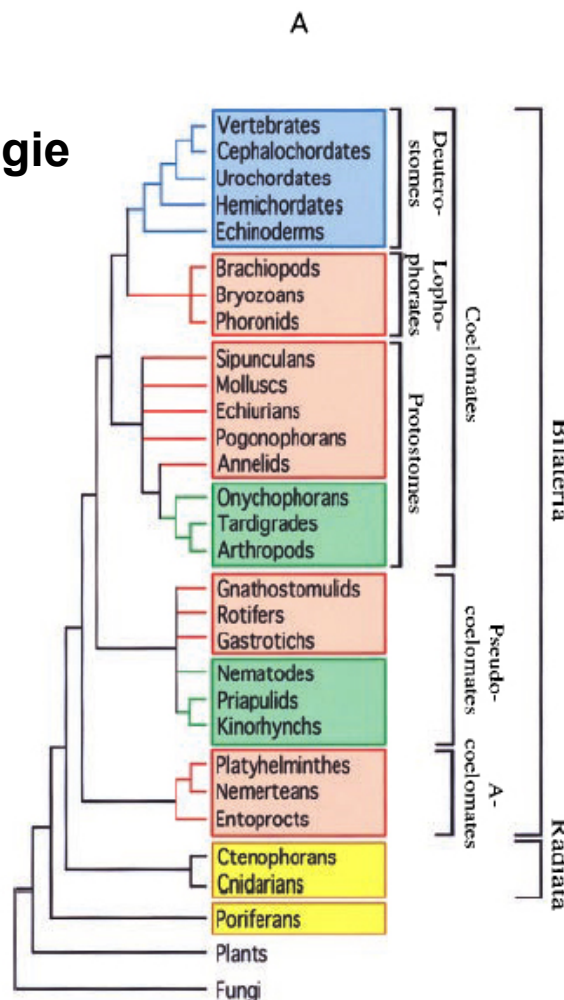
(*genealogical* = phylogenetic)



Haeckel's pedigree of man

Die ‚Neue Metazoen-Phylogenie‘

Morphologie



rRNA-Sequenzen

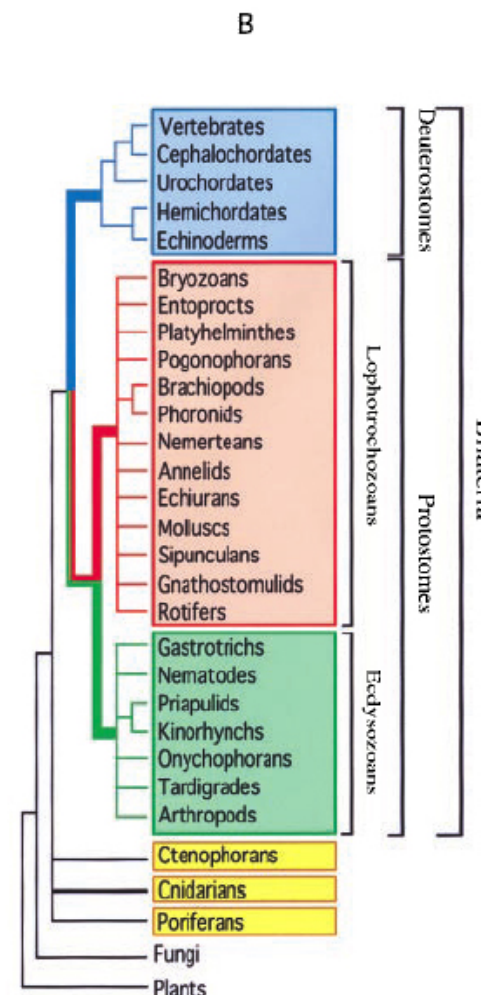


Fig. 1. Metazoan phylogenies. (A) The traditional phylogeny based on morphology and embryology, adapted from Hyman (11). (B) The new molecule-based phylogeny. A conservative approach was taken in B: i.e., some datasets provide resolution within some of the unresolved multifurcations displayed, but we have limited the extent of resolution displayed to that solidly provided by rRNA only.

Das Problem „Inkongruenz“

Beispiel 1

550 Mya

	Chordate	Arthropod	Nematode	Chordate	Nematode	Arthropod	Arthropod	Nematode	Chordate
Study I	[35% (175)			8% (39)			22% (114)	:Genes (507)	
	57% (48)			18% (15)			25% (21)	:RGCs (84)	
Study II	[32% (320)			25% (254)			43% (434)	:Ph-characters (1008)	

Coelomata
(Chordata + Arthropoda)



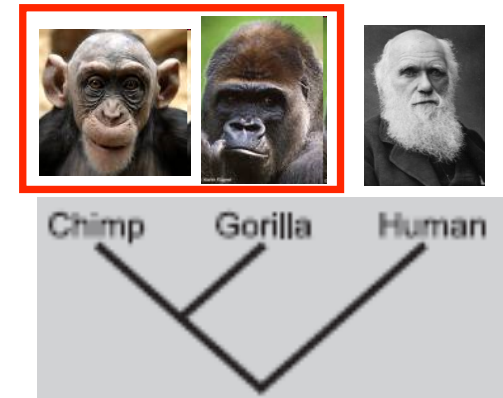
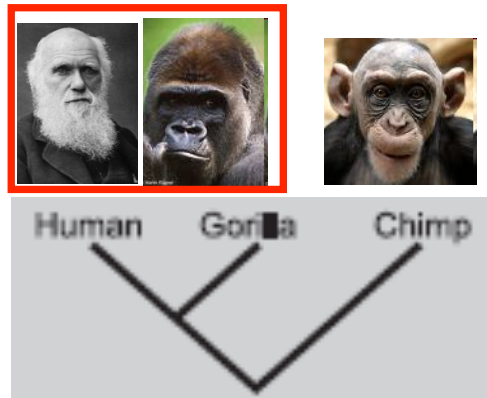
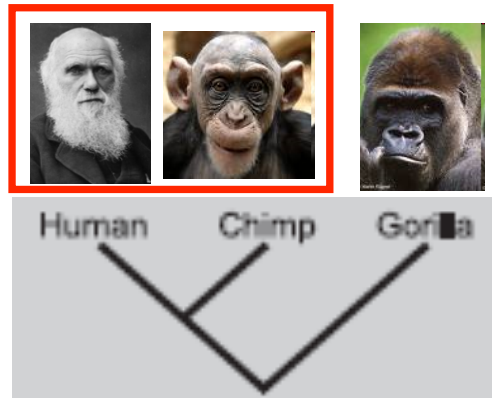
Ecdysozoa
(Nematoda + Arthropoda)



Das Problem „Inkongruenz“

Beispiel 2

5-8 Mya



Oben: Gene (n=98)

Mitte: Parsimony-informative Orte (n=174)

Unten: rare genomic changes (n=8)

Das Problem „Inkongruenz“

Beispiel 3

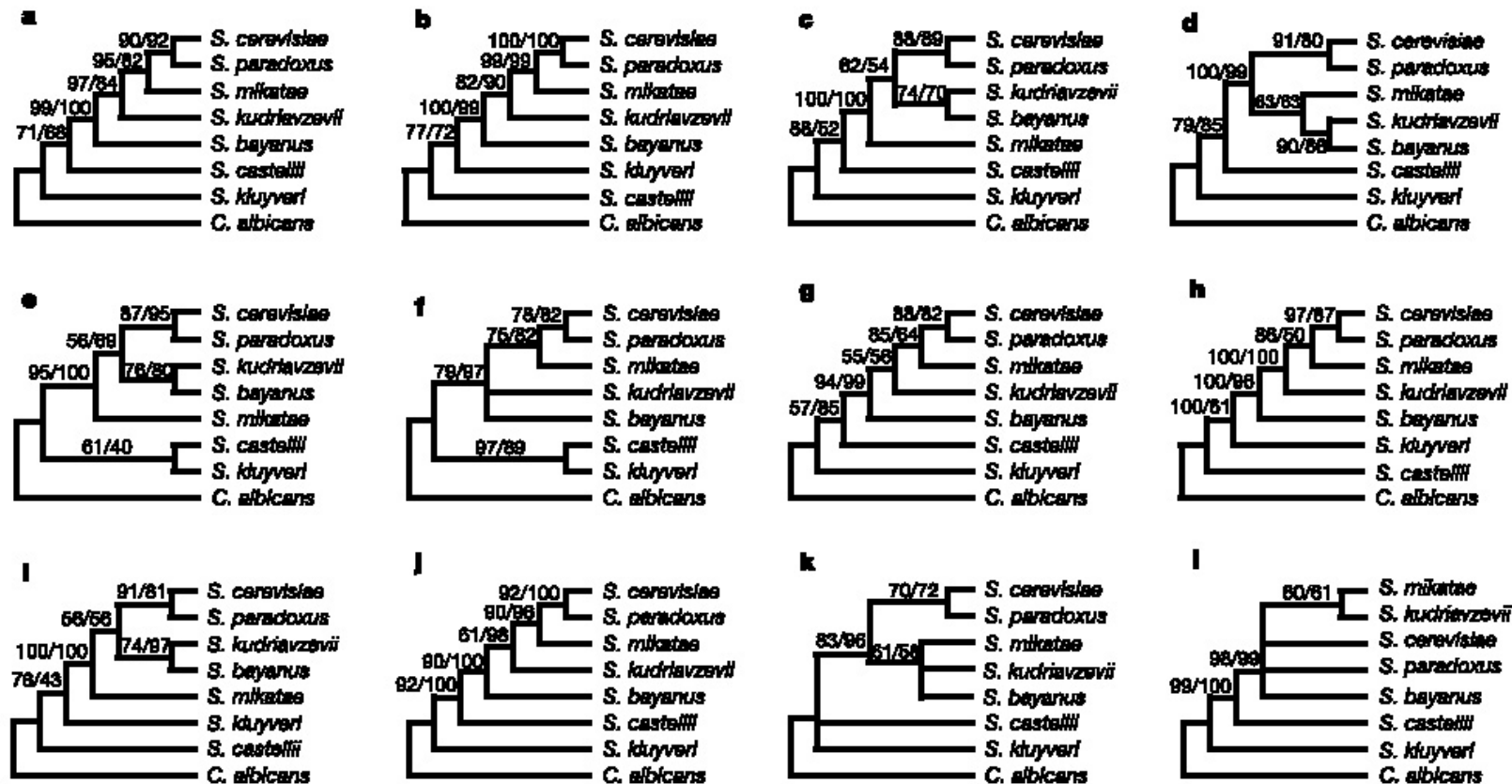


Figure 1 Single-gene data sets generate multiple, robustly supported alternative topologies. Representative alternative trees recovered from analyses of nucleotide data of 106 selected single genes and six commonly used genes are shown. The trees are the 50% majority-rule consensus trees from the genes YBL091C (a), YDL031W (b),

YER005W (c), YGL001C (d), YNL155W (e) and YOL097C (f), as well as those from the commonly used genes actin (g), hsp70 (h), β -tubulin (i), RNA polymerase II (j) elongation factor 1- α (k) and 18S rDNA (l). Numbers above branches indicate bootstrap values (ML on nucleotides/MP on nucleotides).

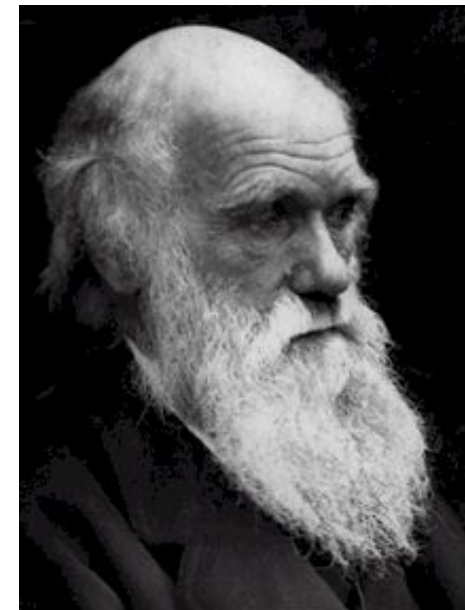
Darwin zum Thema Inkongruente Bäume

The importance, for classification, of trifling characters, mainly depends on their being correlated with several other characters of more or less importance.

The value indeed of an aggregate of characters is very evident.

...a classification founded on any single character, however important that my be, has always failed.“

Charles Darwin Origin of Species Kap. 13



Gründe für Inkongruenz

1. Stochastische Fehler in den Daten:

- meist bei wenigen Daten
- einige Positionen zeigen Homoplasie (durch multiple Austausche) und produzieren so eine falsche Baum-Topologie

2. Gen-Baum = Spezies-Baum?

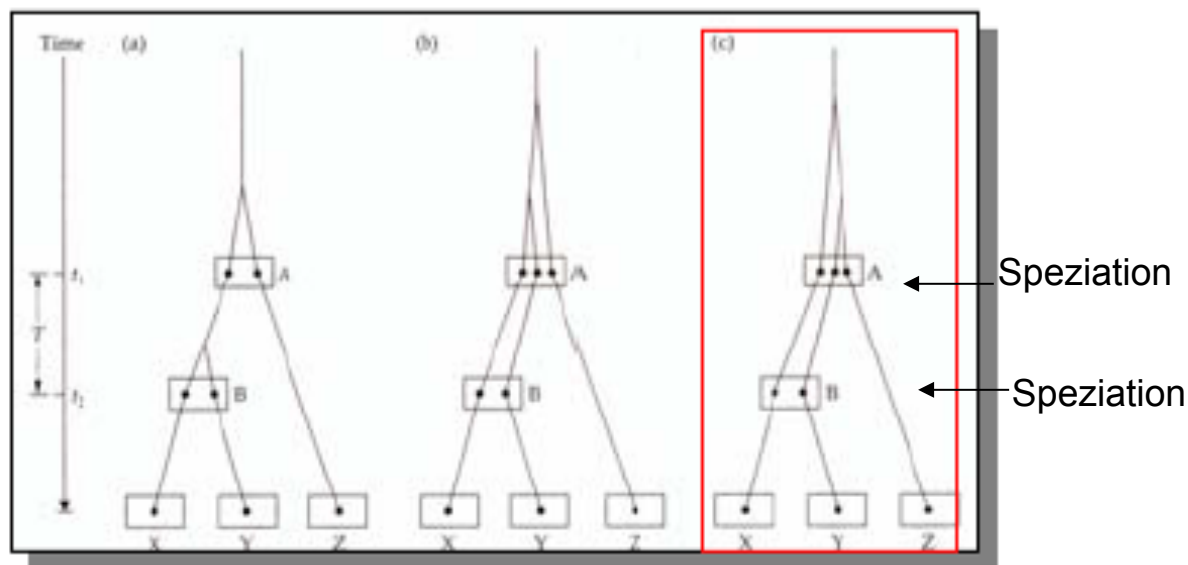
- fälschlicherweise keine Orthologen verglichen (versteckte Paralogie)
- horizontaler Gentransfer
- multiple Allelie

3. Systematisch-methodische Fehler:

- Evolutionsmodelle, Rekonstruktionsmethoden

Gründe für Inkongruenz

Gen-Baum = Spezies-Baum? → Beispiel multiple Allelie



Bei Vergleich der Gene scheinen Y u. Z Schwestertaxa zu sein. In Wahrheit hatten die Taxa X u. Y einen gemeinsamen Vorfäuber

Gründe für Inkongruenz

Gen-Baum = Spezies-Baum? → Beispiel multiple Allelie

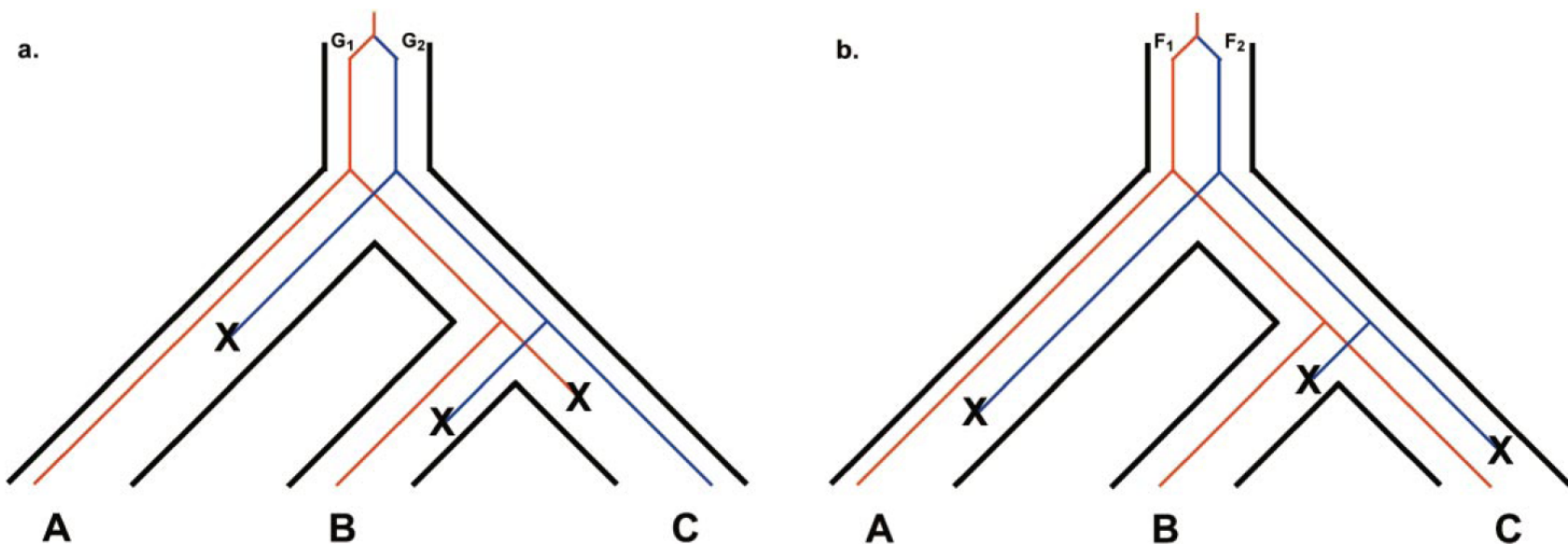


Fig. 2. An example of the gene tree/species tree problem. The species phylogeny is represented by black lines. The gene trees are represented by colored lines. (a) Prior to the root of the ABC clade, a gene (G₁, in red) is either duplicated or mutates to produce a new allele (G₂, in blue). Both versions of G are inherited at the two speciation events, but G₂ is lost in the lineages leading to species A and B, and G₁ is lost in the lineage leading to species C. The tree that would be reconstructed from the paralogous versions of G would incorrectly indicate that species A is the sister species of B. (b) A second gene (F) from the ABC clade where only F₂ is lost. Using the F₁ orthologs produces the correct set of species relationships. Note that the two genes produce incongruent trees, which indicates the possibility that B is a hybrid of A and C.

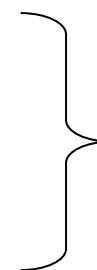
Linder & Rieseberg 2004

Inkongruenz & Phylogenomik

1. Stochastische Fehler

2. Gen-Baum = Spezies-Baum?

3. Systematisch-methodische Fehler



Verschwinden in großen
Datensätzen
→ „**Phylogenomik**“!!



Mehr Daten hätten hier gegenteiligen
Effekt und würden falschen Baum
sicherer erscheinen lassen
(„**Inkonsistenz**“)

Inkonsistenz

Nature, Oct 2011

Phylogenomics reveals deep molluscan relationships

Kevin M. Kocot¹, Johanna T. Cannon¹, Christiane Todt², Mathew R. Citarella³, Andrea B. Kohn³, Achim Meyer⁴, Scott R. Santos¹, Christoffer Schander², Leonid L. Moroz^{3,5}, Bernhard Lieb⁴ & Kenneth M. Halanych¹

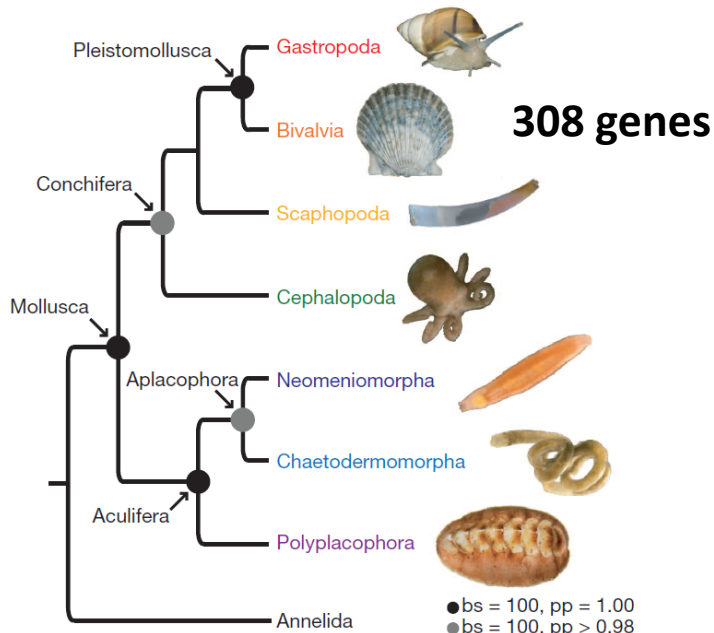


Figure 4 | Deep molluscan phylogeny as inferred in the present study. Black circles represent nodes with $bs = 100$ and $pp = 1.00$. Gray circles represent nodes with $bs = 100$ and $pp \geq 0.98$. The actual specimens of *Polyschides* and *Hanleya* used in this study are shown. Photos are not to scale. A full-page version of this figure is presented in Supplementary Fig. 1.

Nature, Nov 2011

Resolving the evolutionary relationships of molluscs with phylogenomic tools

Stephen A. Smith^{1,2}, Nerida G. Wilson^{3,4}, Freya E. Goetz¹, Caitlin Feehery^{1,4}, Sónia C. S. Andrade⁵, Greg W. Rouse⁴, Gonzalo Giribet³ & Casey W. Dunn¹

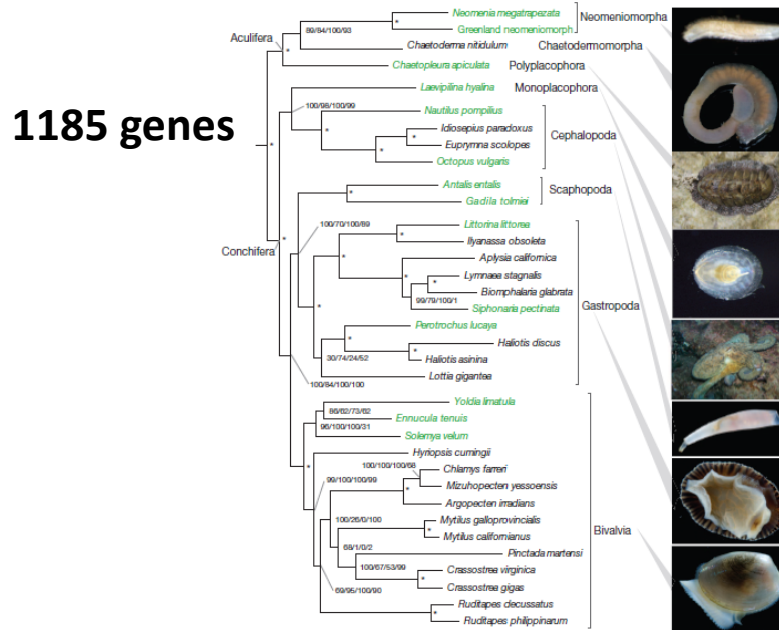


Figure 2 | Phylogram of the RAxML maximum likelihood analysis of the big matrix (216,402 amino acids) under the WAG+J model. Support values for the topology obtained from four analyses are listed as percentages in the order A/B/C/D. A is the bootstrap support from RAxML analysis under the WAG model for the big matrix. B is the bootstrap from RAxML analysis under the

WAG model for the small matrix. C is the posterior probability from MrBayes under the WAG model for the small matrix. D is the posterior probability from PhyloBayes under the CAT model for the small matrix. Asterisks indicate 100/100/100 support. Taxa with new data are shown in green. Scale bar, 0.08 expected changes per site.

Systematische Fehler

1. unterschiedlicher Nt/AS-Gehalt zwischen Taxa (compositional bias):

z.B. gleiches Nt in entfernten Taxa wegen ähnlichem GC-Gehalt

2. Eingeschränkte Variabilität an Sequenzpositionen:

erhöhte Chance für konvergentes Auftreten eines/r bestimmten Nt/AS

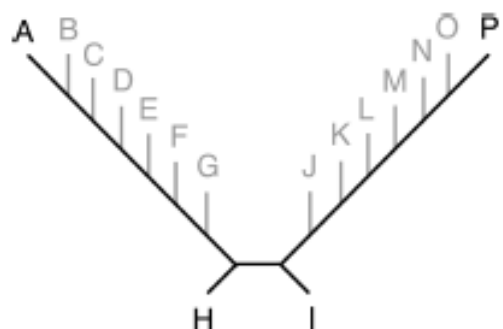
3. Unterschiedliche Mutationsrate an verschiedenen Positionen:

besonders viel Homoplasien in schnell evolvierenden Taxa
→ long-branch attraction-Phänomen

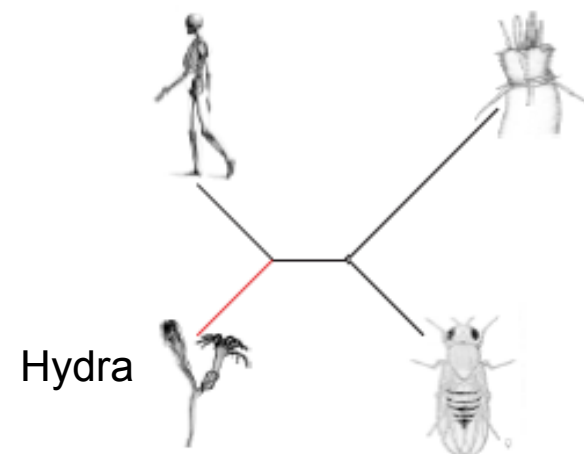
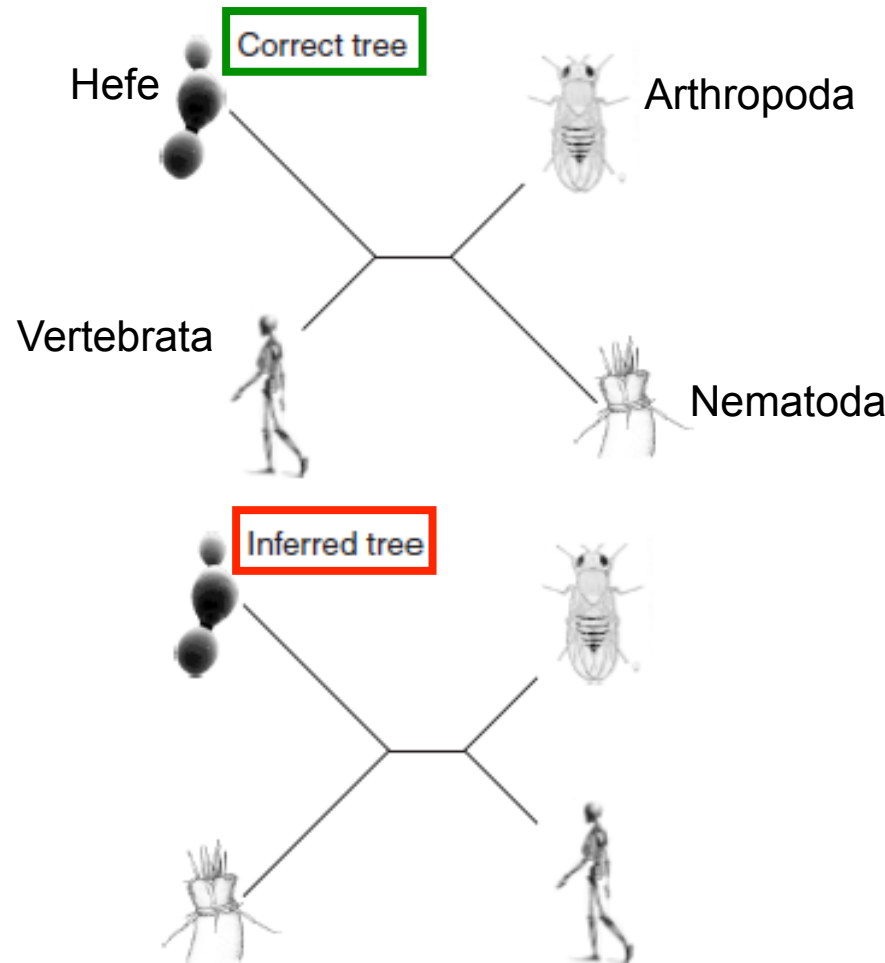
4. Nicht-Unabhängigkeit von Sequenzpositionen durch positionelles Zusammenwirken

...und die mögliche Lösung

- 1. Geeignete Substitutionsmodelle auswählen**
- 2. Schnell evolvierende Sequenzpositionen aus Alignment entfernen**
- 3. Schnell evolvierende Taxa u. U. komplett entfernen**
- 4. Mehr Taxa hinzunehmen, die lange Äste „brechen“**



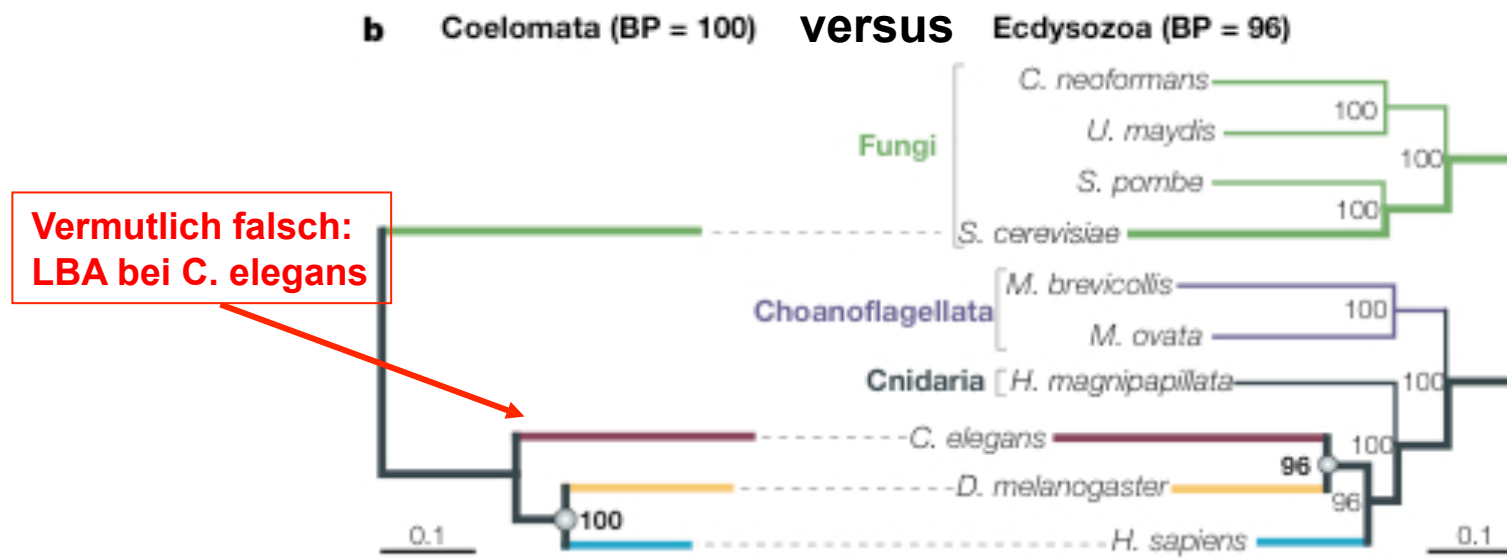
Andere Außengruppe gegen LBA



Telford & Copley 2005

Baumrekonstruktion & Phylogenomik

Systematische Fehler können auch Phylogenomik-Daten betreffen: Garbage in, garbage out!!

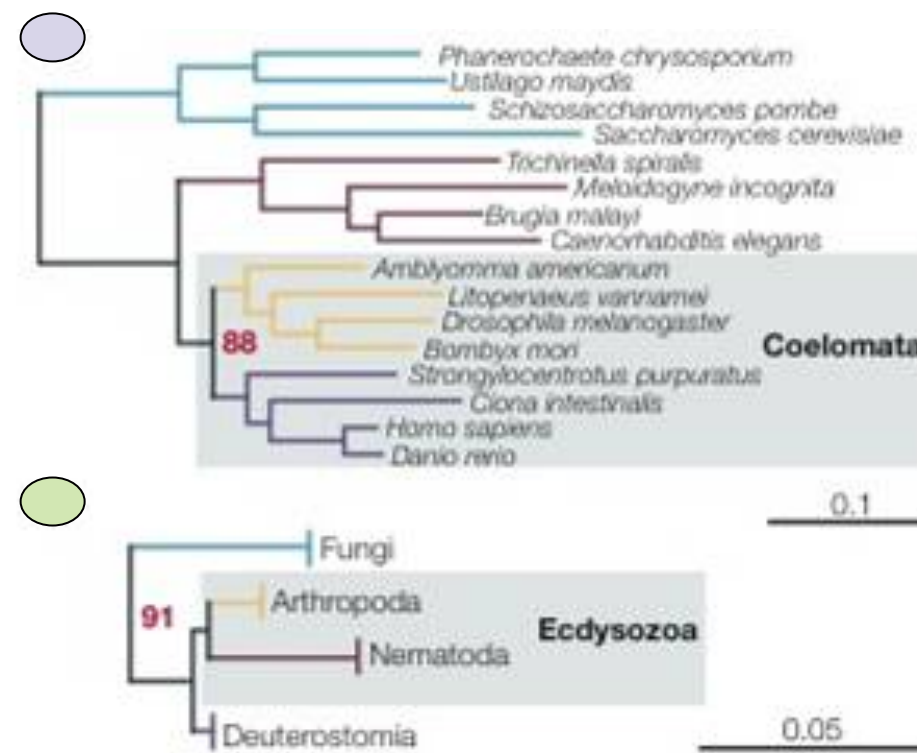
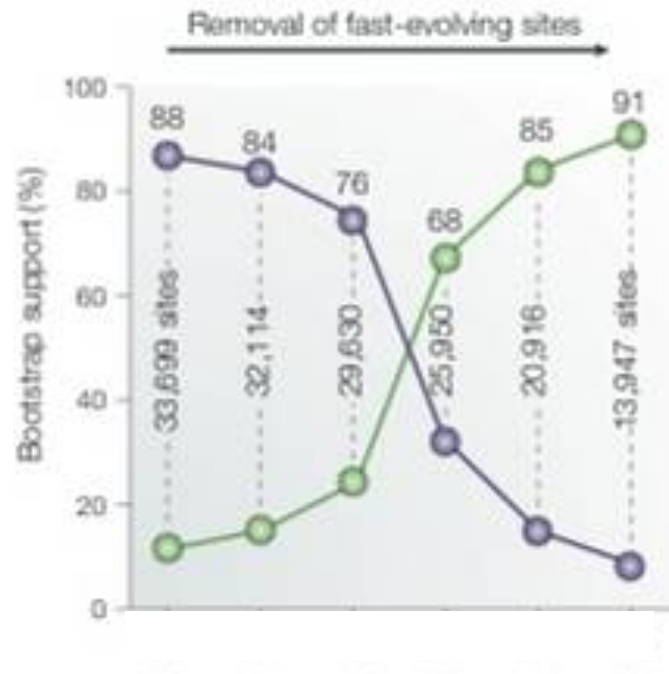


Datensatz: 35000 As (146 Kerngene), ML (Modell: JTT+Γ)
Unterschied: Taxon-Sampling

Also: mehr Taxa untersuchen!

Baumrekonstruktion & Phylogenomik

Systematische Fehler (z.B. LBA) beseitigen!



Also: schnell-evolvierende Sequenzpositionen opfern!

Zwei Methoden für die Phylogenomik

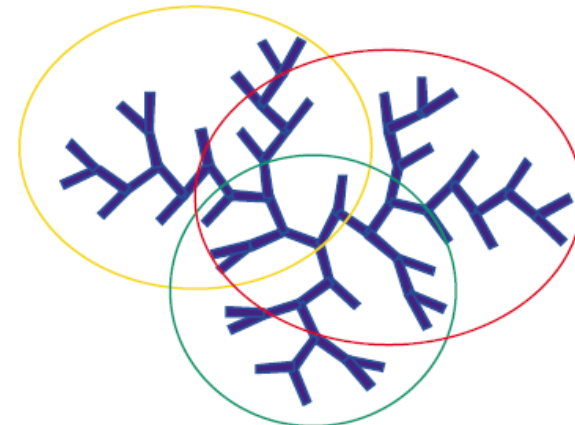
1. Viele einzelne Gene → einzelne Bäume → kombinieren

Supertree

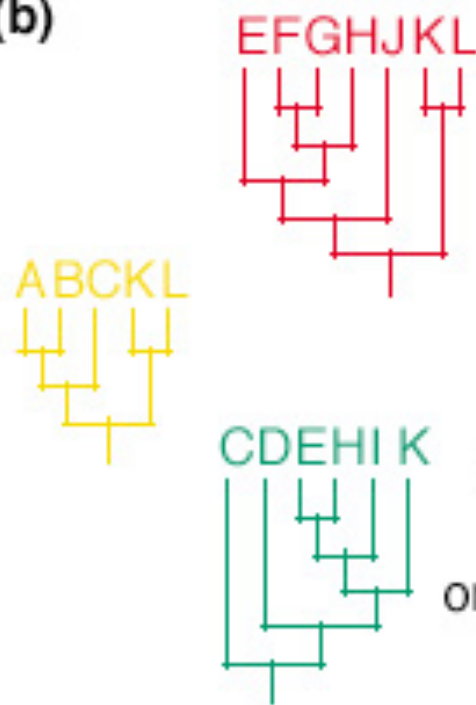
2. Viele einzelne Gene → konkateniertes Alignment → Baum

Supermatrix

Supertrees

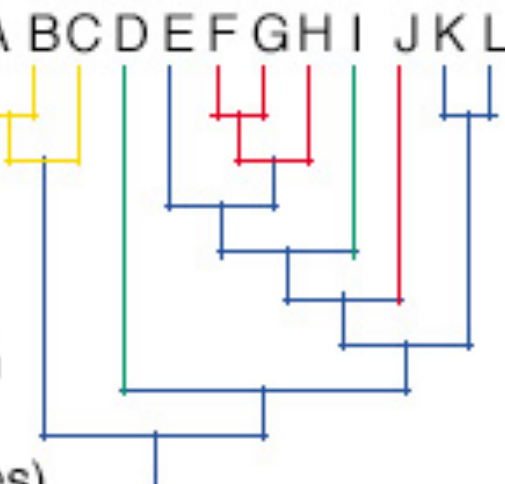


(b)



Supertree construction
(using agreement
or optimization techniques)

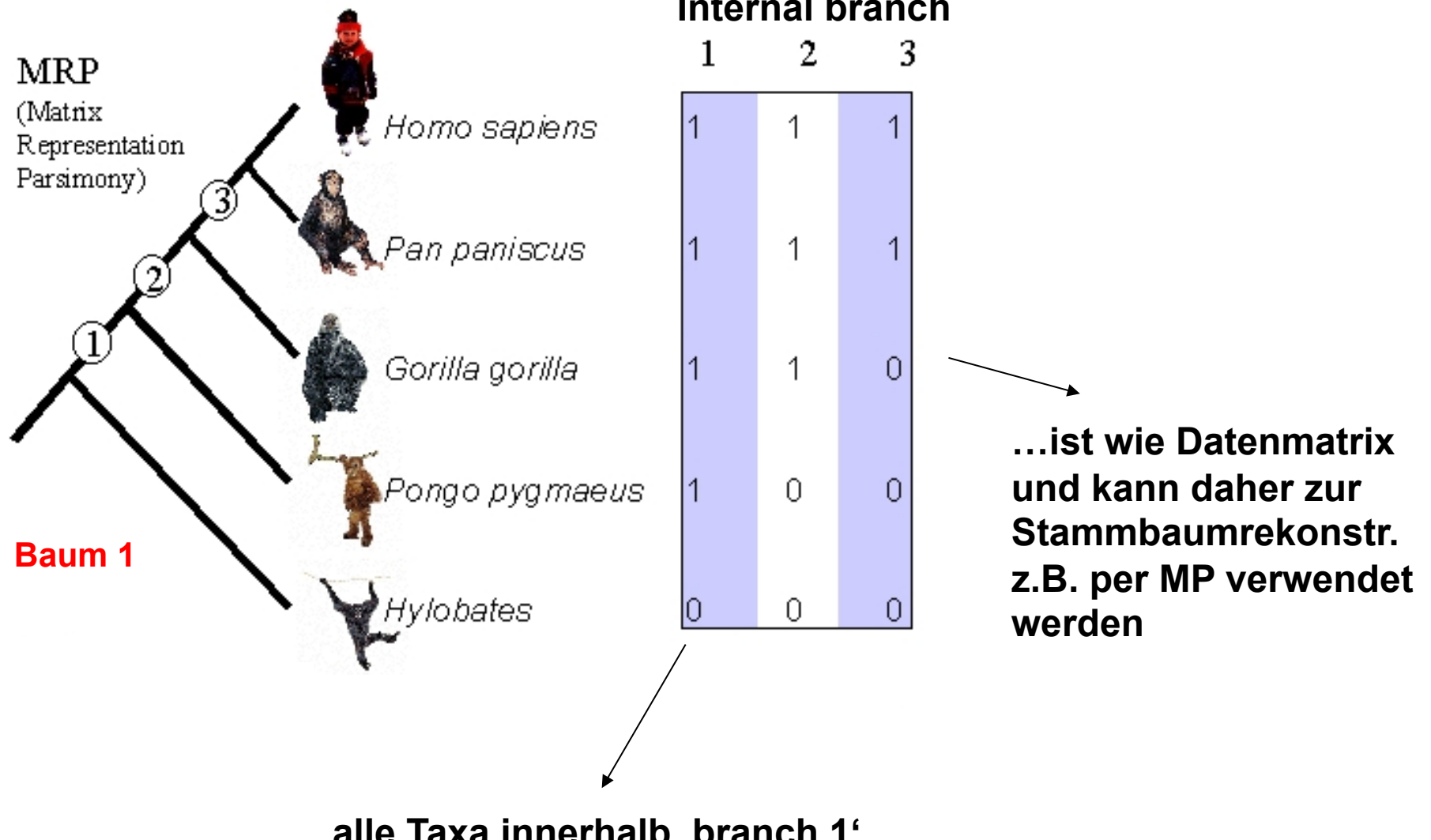
Source trees



Supertree

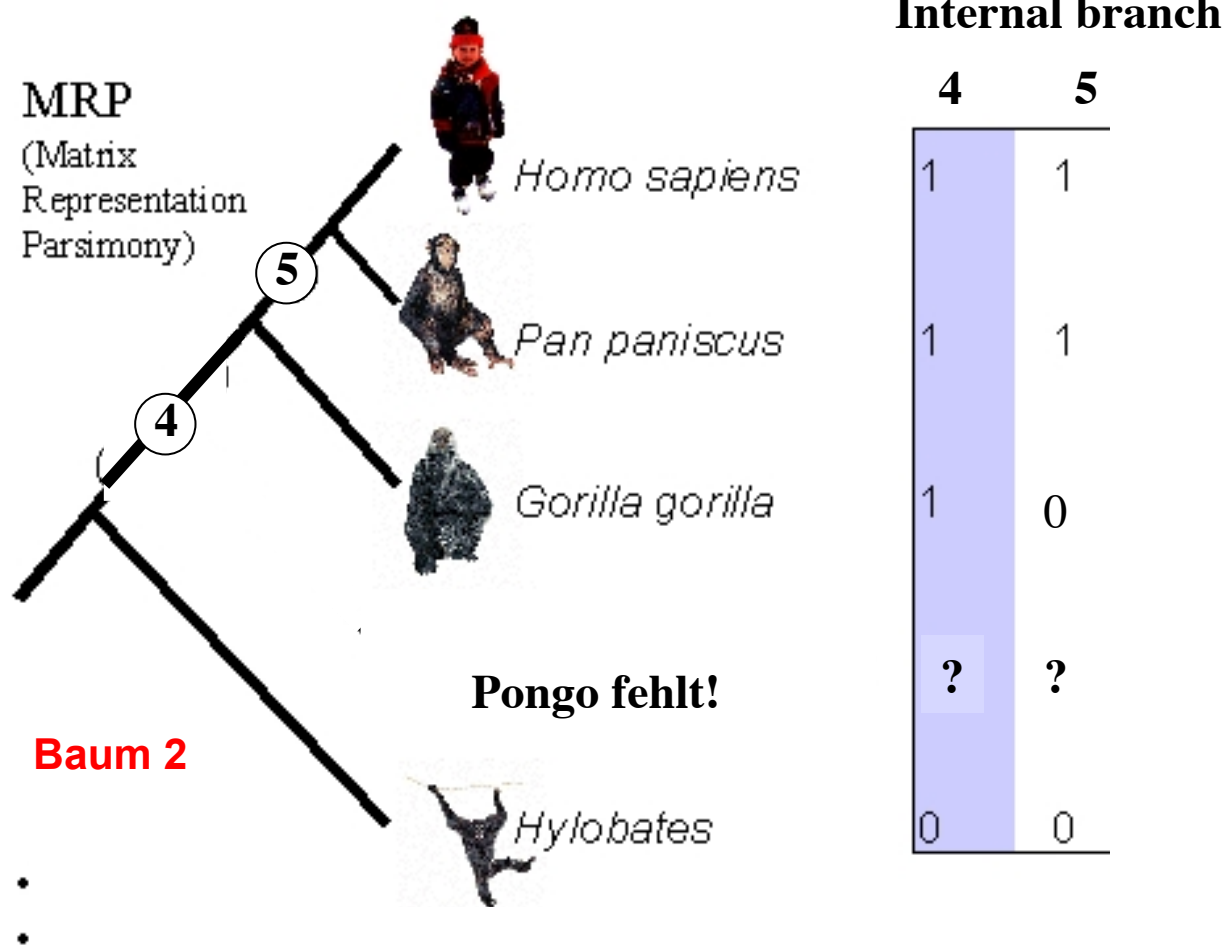
...ideal, um z.B. molekulare Bäume und morphologische Bäume zu verknüpfen!

Supertrees: MRP



courtesy of Rod Page

Supertrees: MRP



Supermatrix

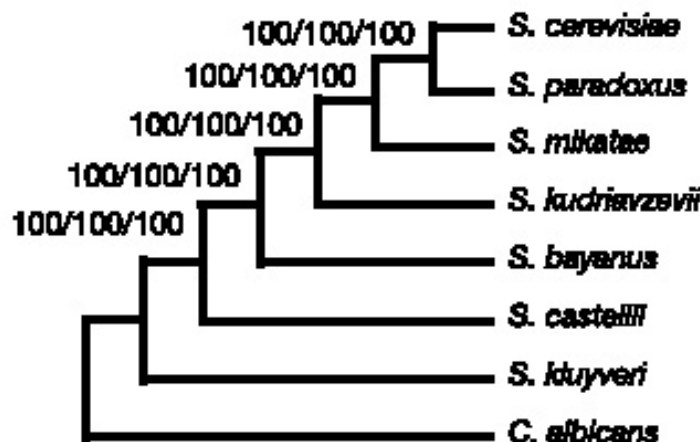
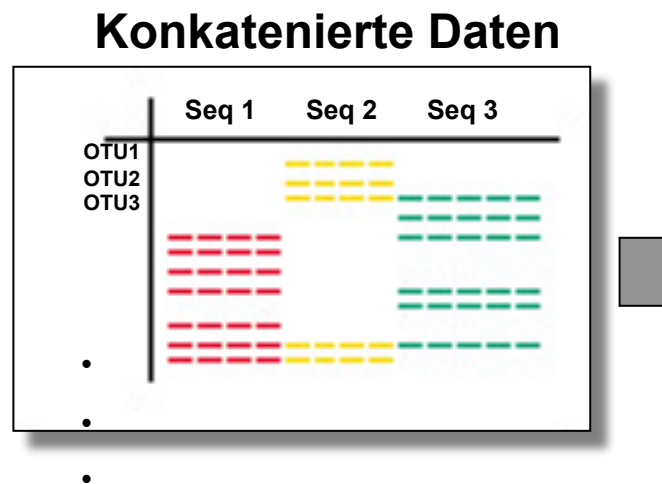
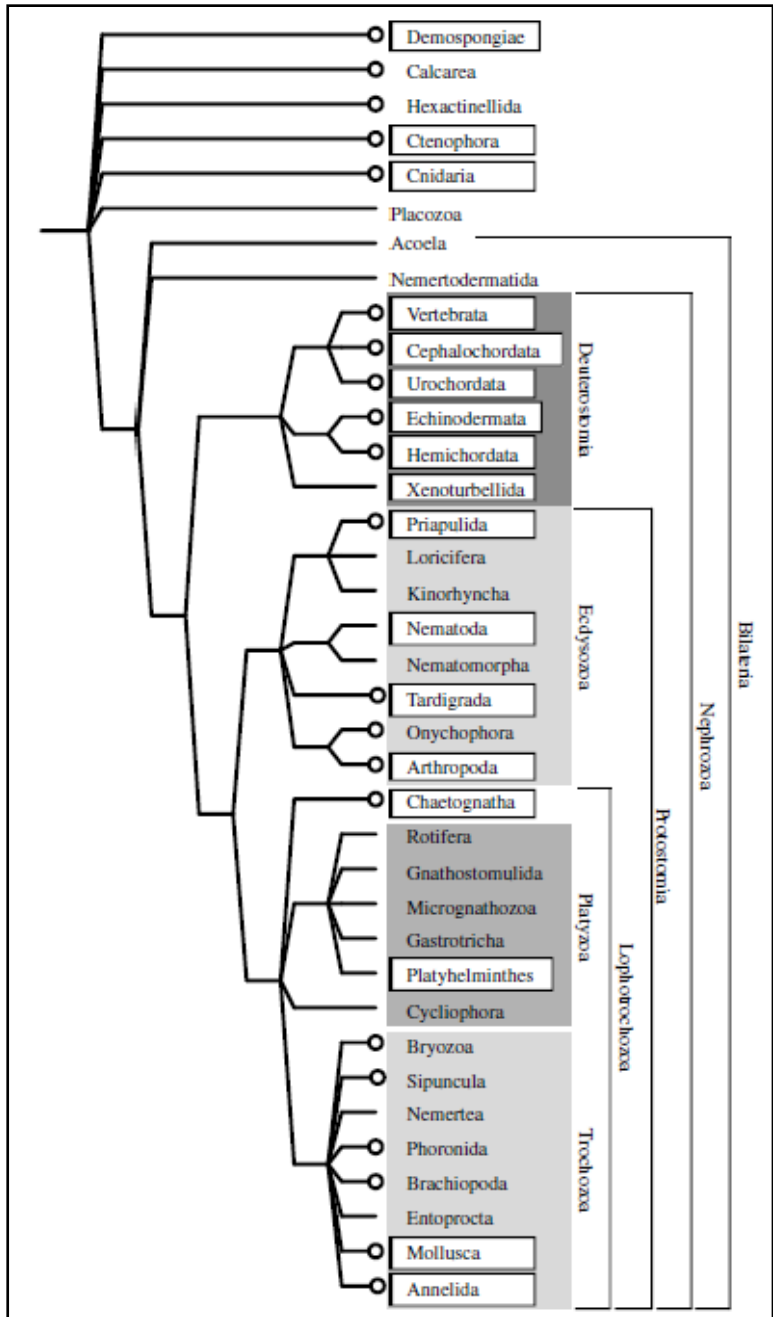


Figure 4 Phylogenetic analyses of the concatenated data set composed of 106 genes yield maximum support for a single tree, irrespective of method and type of character evaluated. Numbers above branches indicate bootstrap values (ML on nucleotides/MP on nucleotides/MP on amino acids).

20 aneinander gehängte Gene reichen aus, um stabilen, kongruenten Baum der acht Hefen zu produzieren!



Supermatrix

... das klappt leider nicht immer so gut...

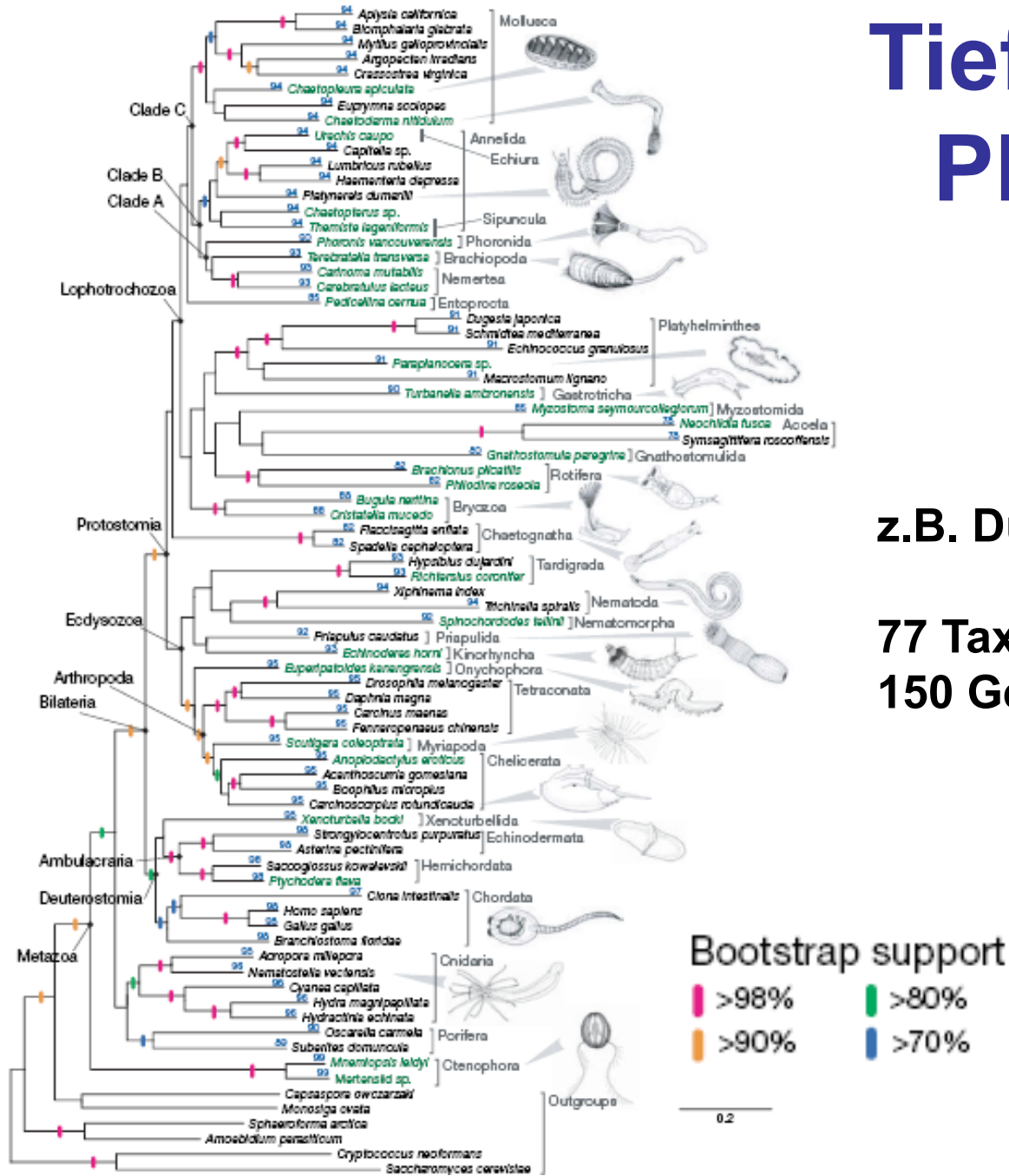
→ Tiefe Metazoen-Phylogenie ist schwierig!

Giribet 2008

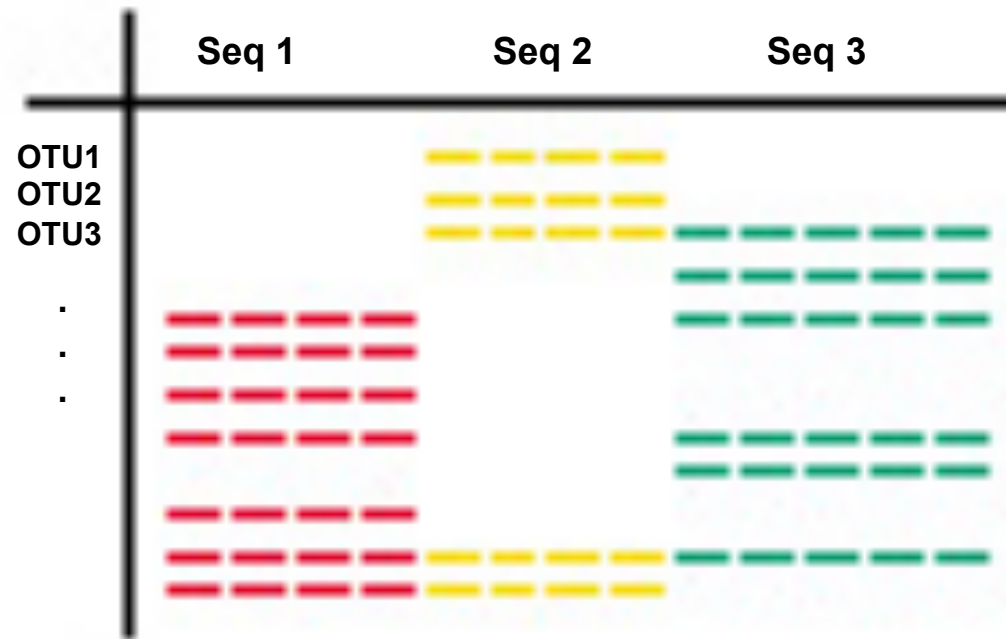
Tiefe Metazoen-Phylogenie ist schwierig

z.B. Dunn et al 2008 (Nature)

77 Taxa aus 21 Phyla
150 Gene



Supermatrix & fehlende Daten



Simulationen zeigen: Menge der vorhandenen Daten ist wichtiger als Menge der fehlenden Daten!!!

(also: es ist besser ein Taxon mehr zu haben mit vielleicht nur 50% Datenabdeckung, als dieses Taxon deswegen wegzulassen. vgl. Wiens 2005, 2006)

Woher kommen die Daten?

1. Gesamt-Genomprojekte

- Gen/Proteinsequenzen
- ‚Rare genomic changes‘

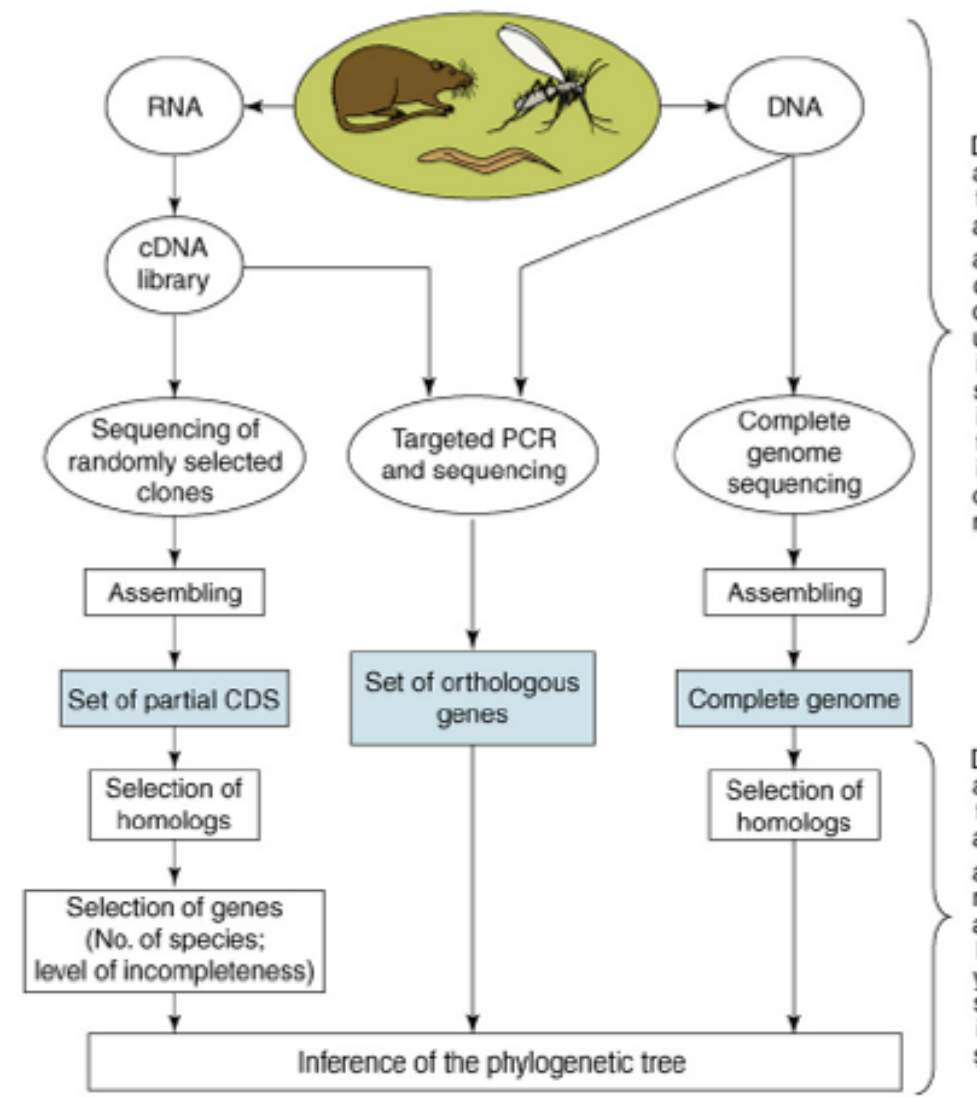
Genanordnung, Gengehalt, Genfusionen, Intronpositionen,
Transposonpositionen, InDels

2. EST/RNA-SEq-Projekte (billiger - erst recht seit NGS!!!)

- Proteinsequenzen

3. PCR (gezielte Isolierung von Einzelgenen)

Woher kommen die Daten?



EST-Projekte & Phylogenomik

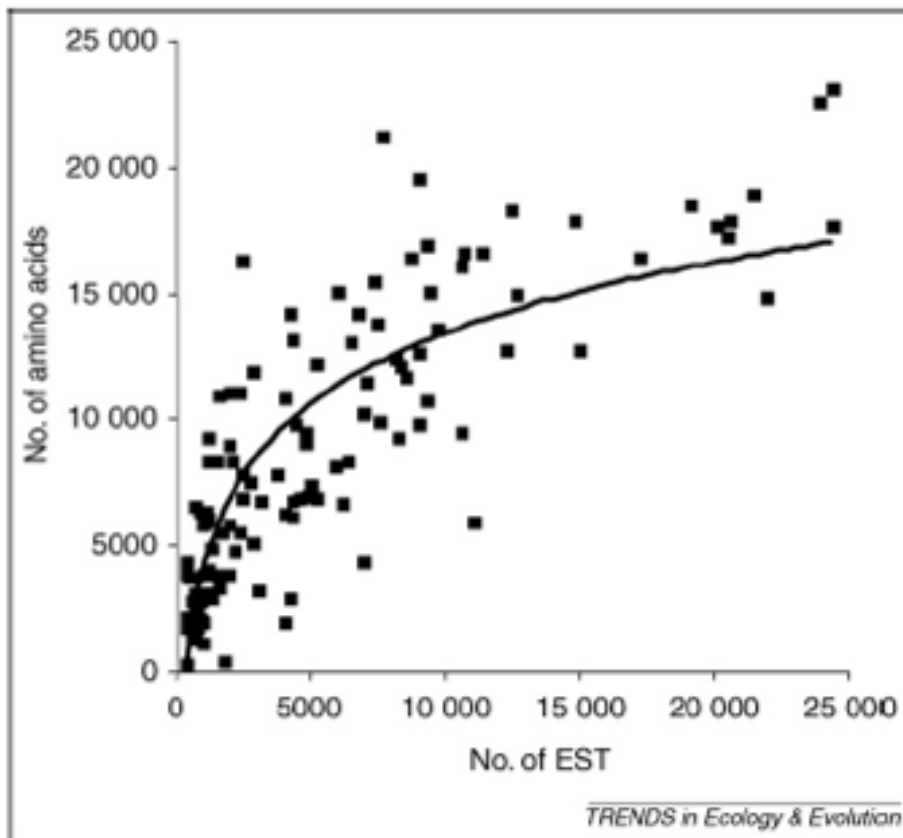


Figure 1. Estimating how many ESTs should be sequenced for inferring phylogeny. For 127 species of choanoflagellates and animals, the number of unambiguously aligned amino-acid positions found for a set of 146 evolutionarily conserved genes [19,31] are plotted against the number of ESTs that have been sequenced for each species. A logarithmic curve is fitted to the data. The sequencing of ~5000 ESTs from a single library provides ~10 000 phylogenetically informative positions, and constitutes a good compromise between cost and amount of information gained.

Schon 1000 ESTs
machen einen respektablen
Datensatz (>5000 As)

EST-Projekte & Phylogenomik

Welche Gene machen schnell ein möglichst komplettes konkateniertes Alignment?

Liste mit EST-Clustern	
22	beta-thymosin [Sycon raphanus]
20	ADP/ATP carrier [Trypanosoma brucei brucei]
17	actin
16	elongation factor 1 alpha [Axinella verrucosa]
14	Syndecan binding protein (syntenin) [Xenopus tropicalis]
11	beta-tubulin [Suberites domuncula]
8	cathepsin L-like cysteine proteinase A [Rhipicephalus haemaphysaloides haemaphysaloides]
8	Rab7 [Aiptasia pulchella]
8	PREDICTED: hypothetical protein XP_690365 [Danio rerio]
7	chloride intracellular channel 2 [Homo sapiens]
7	phosphoenolpyruvate carboxykinase [Schistosoma mansoni]
6	snail soma ferritin [Lymnaea stagnalis]
6	methionine adenosyltransferase II, alpha [Homo sapiens]
5	laminin receptor 1 [Danio rerio]
5	no match
→	5 ribosomal protein L32 isoform B [Lysiphlebus testaceipes]
5	elongation factor-2 [Euryphaeus spinosus]
5	betaine-homocysteine methyltransferase [Bos taurus]
5	S-adenosylhomocysteine hydrolase [Danio rerio]
5	ribosomal protein S12 [Branchiostoma belcheri]
5	unnamed protein product [Homo sapiens]
→	5 ribosomal protein L36 [Homo sapiens]
5	unnamed protein product [Tetraodon nigroviridis]
5	ubiquitin C [Homo sapiens]
→	5 40S ribosomal protein S2 [Ictalurus punctatus]
4	heat shock 70kDa protein 5 (glucose-regulated protein, 78kDa) [Gallus gallus]
4	hypothetical protein SaroDRAFT_1577 [Novosphingobium aromaticivorans DSM 12444]
4	alpha-1 tubulin [Hirudo medicinalis]
4	glyceraldehyde-3-phosphate dehydrogenase [Astatotilapia burtoni]

- stark exprimierte Haushaltsgene

- kaum Paraloge

→ z.B. Gene für **ribosomale Proteine (RPs)**!

ABER: Vorsicht bei Verwendung spezieller Proteinklassen!

Compositional Heterogeneity and Phylogenomic Inference of Metazoan Relationships

Maximilian P. Nesnidal,¹ Martin Helmkampf,^{†,1} Iris Bruchhaus,² and Bernhard Hausdorf^{*,1}

Mol. Biol. Evol. 27(9):2095–2104. 2010

“ [...] to analyze a **large ribosomal protein data set** representing all major metazoan taxa. Posterior predictive tests revealed that there is **compositional bias** in this data set.

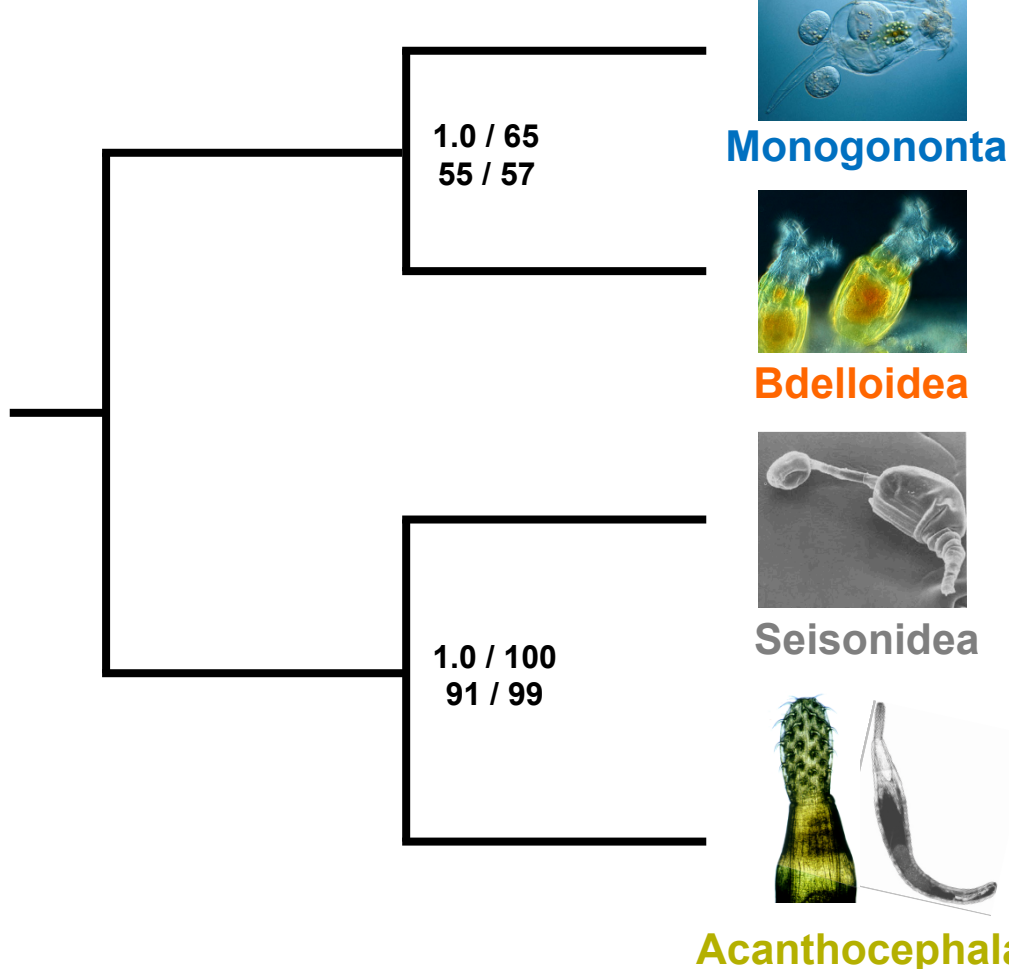
Only a few taxa with strongly deviating amino acid composition had to be excluded to reduce this bias. Thus, this is a good solution, **if these taxa are not central to the phylogenetic question at hand**.

Deleting individual proteins from the data matrix may be an appropriate method, if compositional heterogeneity among taxa is concentrated in a few proteins. However, **half of the ribosomal proteins had to be excluded** to reduce the compositional heterogeneity [...]”

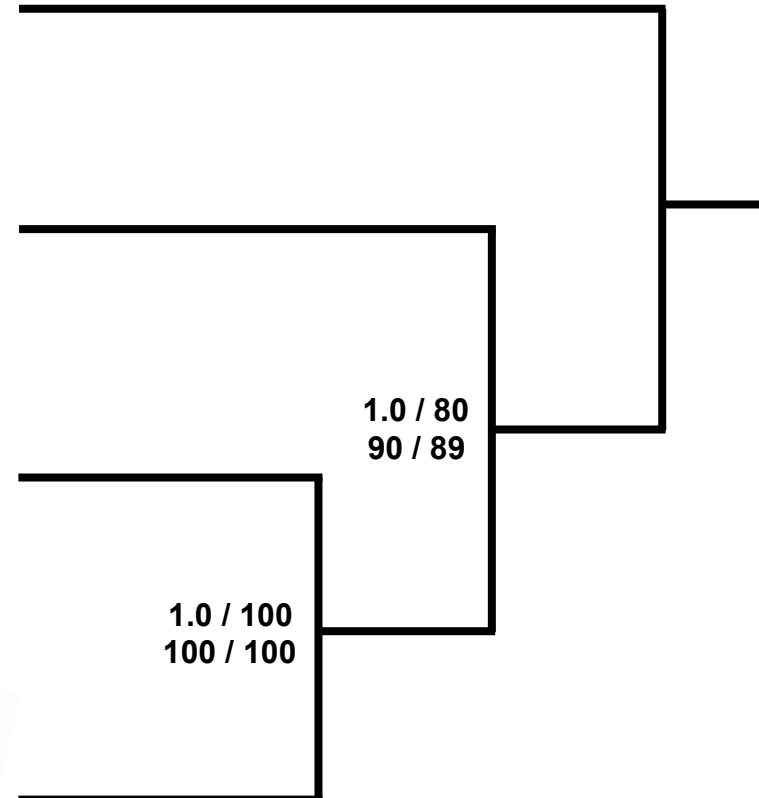
Vorsicht mit RPs!

Beispiel interne Phylogenie der Syndermata (= Rädertiere + Kratzwürmer)

Alle RPs



ausgewählte RPs (50%)



Support values

MrBayes / PhyML

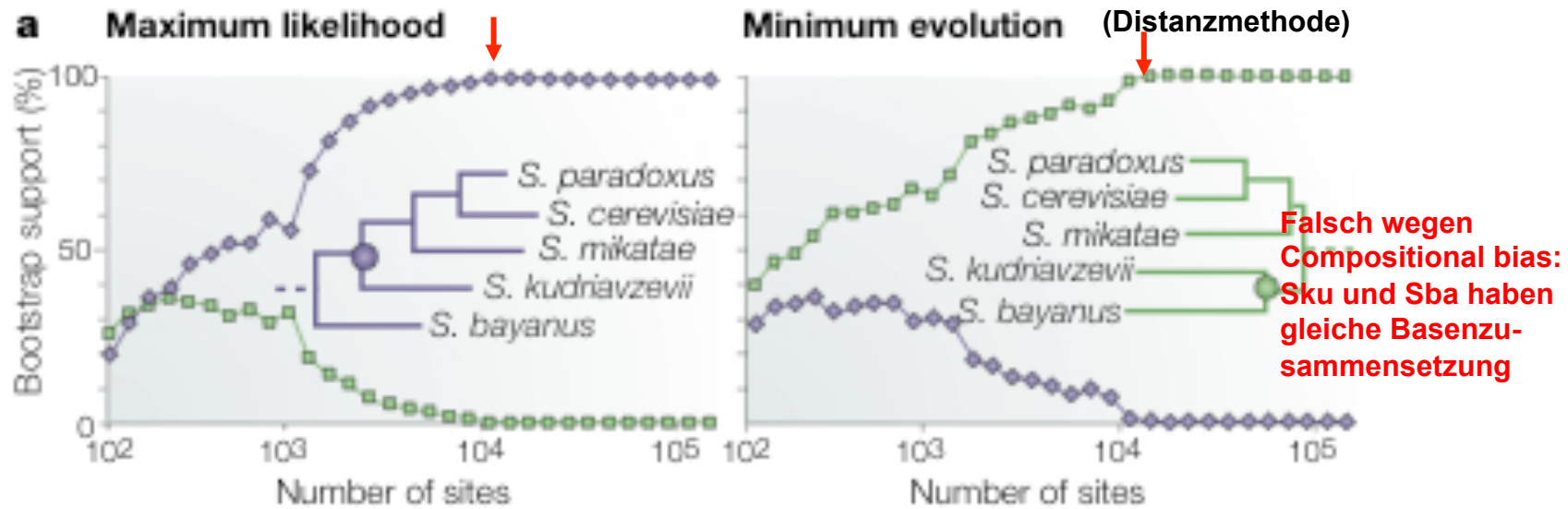
RAxML / Treefinder

Baumrekonstruktion & Phylogenomik

Welche Methoden funktionieren mit großen Datensätzen am besten?

- **Likelihood-basierende Methoden** (ML, Bayes) gelten insbesondere bei schwierigen Phylogenetiken als konsistenter und genauer als z.B. MP- und Distanzmethoden
- Likelihood-Methoden können mit ihren **Substitutionsmodellen** die Wirklichkeit besser abbilden

ML versus Distanzmethode



Beide Male verwendet: Datensatz 127000 Bp, gleiches Modell (GTR+I+Γ)

Dennoch: unterschiedliche Topologie, beide Male mit Bootstrapsupport 100%!

Neue schnelle ML-Algorithmen

Übliche Heuristik: „hill climbing“

- schrittweise Taxon-Hinzunahme & topologische Rearrangements
(z.B. „Nearest neighbour interchange“)
- für jeden neu entstehenden Baum: Astlänge optimieren, LnL bestimmen
- Verbesserung? Wenn ja, dann weiter verändern...
- STOP wenn keine Verbesserung möglich

Langsam wegen getrennter Optimierung von Astlängen und Topologie

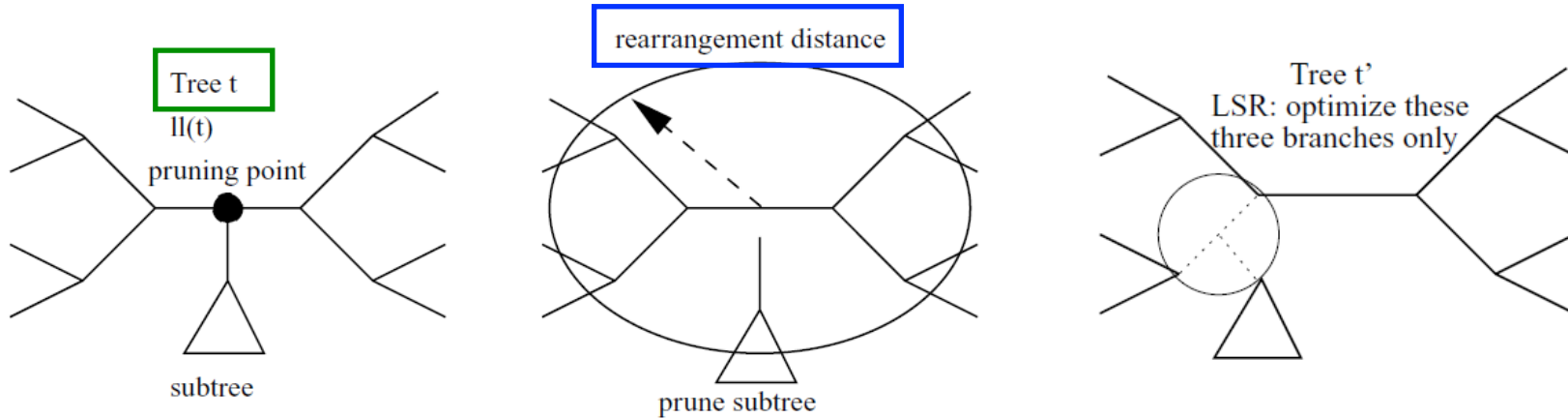
RAXML (Stamatakis et al. 2005)

- verbesserte „search space heuristics“
- mit „rapid bootstrap algorithmus“ (Stamatakis et al. 2008)
- dramatische Zeitreduktion

RAXML

(Randomized Accelerated Maximum Likelihood)

Verbesserte „search space heuristics“ durch **LSR**
 (= Lazy subtree rearrangement)

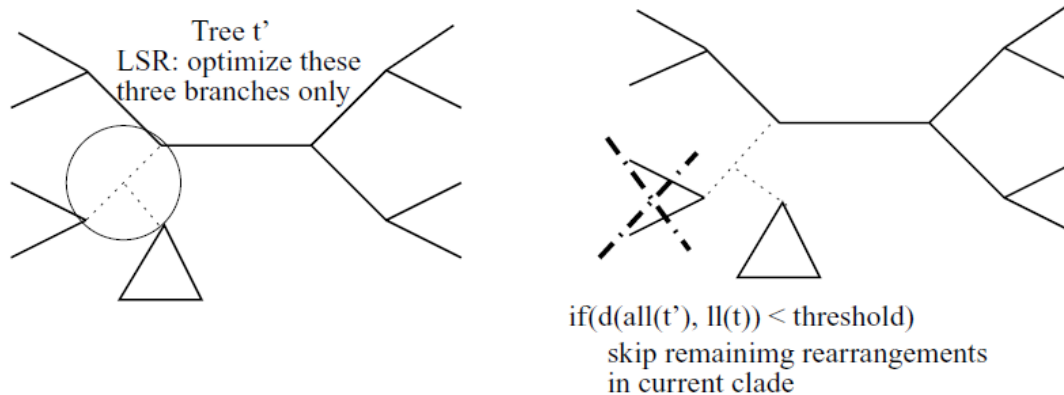


1. Ausgehend vom derzeit besten **Baum t**
 - Verpflanzung eines subtrees innerhalb eines **Radius n** ($n = 5 - 15$)
 - Es entsteht ein Baum t'
 - Nur die Astlängen der an die Insertionstelle anschließenden Äste werden optimiert → approximate log likelihood all(t') score
 - Vorsortierung, nur die 5 besten Topologien werden gründlich optimiert (overall tree score)

RAXML

(Randomized A(x)ccelerated Maximum Likelihood)

Weitere Verbesserung: „likelihood cutoff heuristics“



Nicht alle LSR-Schritte pro subtree werden durchgeführt
Berechnung eines dynamischen likelihood-cutoff (lh_{cutoff})-Werts bei jeder Iteration

wenn $\delta(\text{all}(t'), ll(t)) > lh_{cutoff}$ wird das LSR für diesen subtree abgebrochen

→ 2,5x schneller als normales LSR!

RAXML

(Randomized A(x)ccelerated Maximum Likelihood)

Rapid bootstrap Algorithmus (RBS)

**RBS ist heuristisches Verfahren („quick and dirty bootstrap“)
ergibt fast gleiche Unterstützungswerte, ist aber wesentlich schneller (vor allem bei großen Datensätzen)**

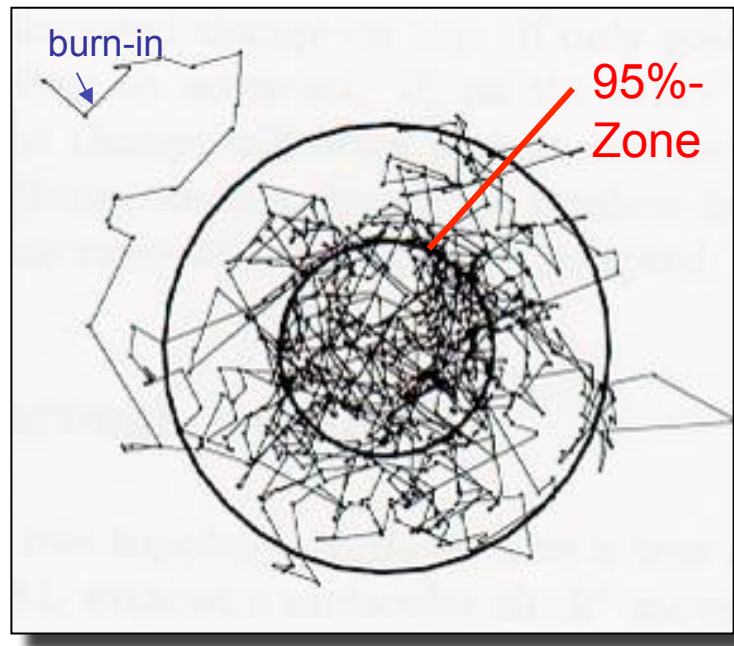
- 1. Random starting tree aus dem Originalalignment**
- 2. ML-Model-Parameter und Astlängen-Optimierung für den starting tree**
- 3. Für alle nachfolgenden RBS-Replikate keine Re-Optimierung der ML-Model Parameter mehr**

**→ 8 – 20 x schneller als RAxML mit Standard-bootstrap
→ 18 – 495 x schneller als PHYML**

Verbesserter ML-Such-Algorithmus, der NACH dem RBS ausgeführt wird um einen ML-Baum auf das Original-Alignment zu berechnen

MCMCMC

Metropolis-coupled Markov chain Monte Carlo



- „cold chain“ sammelt
- „hot chains“ als „scouts“, um die Gipfel in der Baumlandschaft zu lokalisieren

→ der ‚MC Roboter‘ sucht nicht DEN optimalen Baum, sondern „sammelt“ die **Bäume mit der höchsten posterior probability** („Gipfel in der Baumlandschaft“).

→ Anhand dieser Baum-Sammlung wird ein Konsensus-Baum erstellt, dessen Verzweigungen durch die Höhe der PP-Werte gekennzeichnet und bewertet werden

ML vs. Bayes

- **ML berechnet den Baum mit der höchsten Likelihood**

$P(\text{data} \mid \text{tree}) \rightarrow$ Wahrscheinlichkeit der Daten auf Grundlage eines angenommenen Baumes und eines Substitutionsmodells

Statistischer Support erfolgt über Bootstrapping

- **Bayes ermittelt Häufigkeitsverteilung der Bäume im tree space**

Bayes Theorem: $P(\text{tree} \mid \text{data}) \approx P(\text{data} \mid \text{tree}) \times P(\text{tree})$

Statistischer Support über direkte Berechnung von PPs während der Baumsuche

Unterstützungswerte

Faustregel:

Bootstrap-Werte haben sich als eher konservativ herausgestellt
BP >80% gut, alles >50% ruhig angeben

Bayes PPs sind eher optimistisch und überschätzen Support
PP 1.0 ist ok, <1.0 eher schlecht

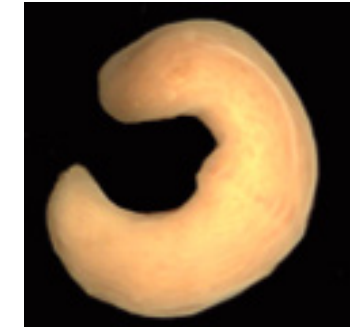
Achtung!

**Die Monophylie der „ingroup“ wird immer zu 100% unterstützt,
wenn man das Außengruppentaxon selbst wählt...**

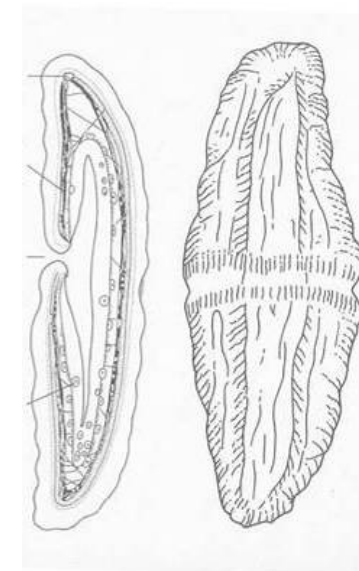
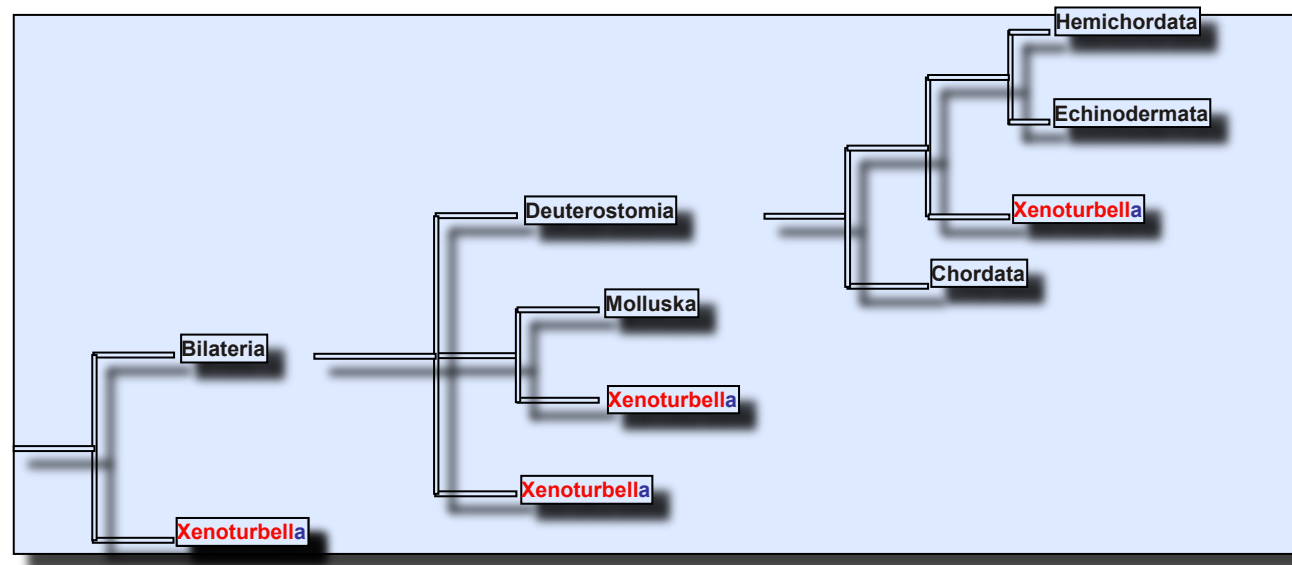
Im Kurs:

Ein Mikro-Phylogenomik-Projekt

Xenoturbella bocki



- entdeckt 1915 von Sixten Bock, erstmals beschrieben 1949
- lebt in marinen Sedimenten an der schwedischen Westküste
- bis zu ~4 cm lang
- sehr einfacher Körperbauplan
- phylogenetische Position kontrovers

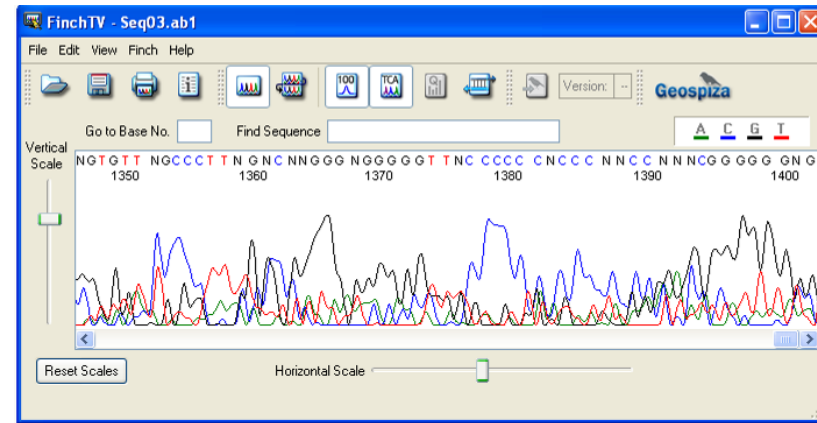


Quelle: (Bourlat et al. 2003; Ehlers and Sopott-Ehlers 1997; Israelsson 1997; Lundin 1998; Noren and Jondelius 1997; Raikova et al. 2000; Stach et al. 2005)

Schritt 1: zum annotierten EST

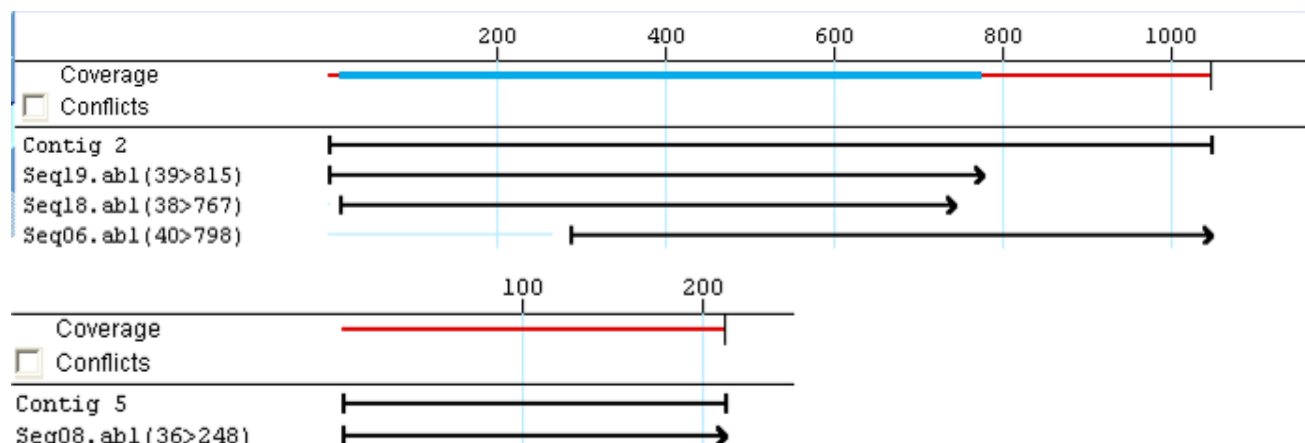
Rohdaten

→ Editieren (Quality & Vectorclipping mit SeqMan)



Editierte Daten

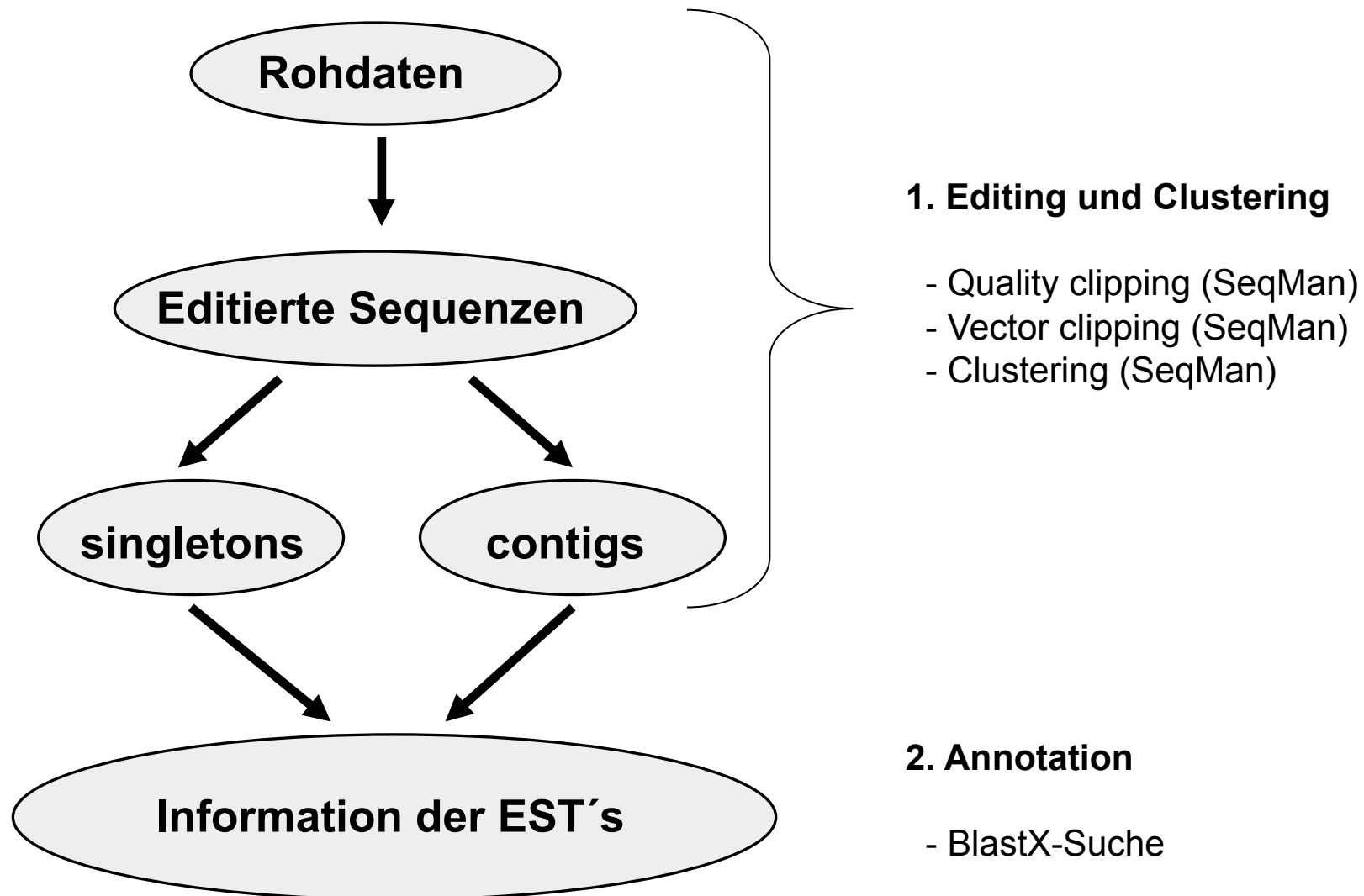
→ Clustern (mit SeqMan)



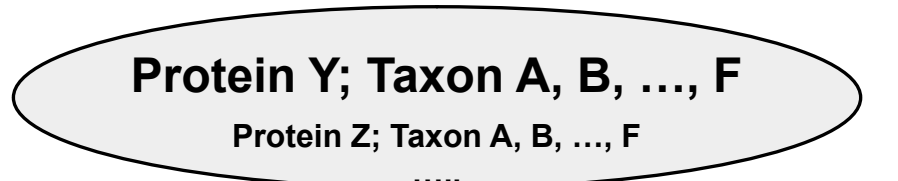
„Contig“

„Singleton“

Schritt 1: zum annotierten EST



Schritt 2: zum Alignment



--TPA-GCAQTA-----EA CGAGSDFPQVDWANS GYK SERFTVQWQ-Y KTRNRAIIDHHESAKSLPKKS L
--GIEPF-----G-S-A-GRASGA SDFP QVDPAN GYK SERFTVQWQ-Y RGRGRADIKYIWHALS YQQISA
--GTCYADKVWFFHFKLS---N-GLDGAGSDFPQVDPAN GYK SERFTVQWQ-Y RARORAIIOHHWSVKTYRSQS K
--ANCYNNVVWQFKLD---A-GGSVNAAGSDFP QVDPAN GYK SERFTVQWQ-Y CARORVAIEHHWSAKLFRQSG
ILPAPR-ACHVWHE---AEGTA-HAAANAGC DDPOLECAN GYK SERFTVQWQ-Y VOSRAIRHHWSA TIRKRSL
-LPA-GVGPWNAILPP---E-CATGGAGSDFPQVDPAN GYK SERFTVQWQ-Y LTRNRAIINHHWSAVLPKKS F
-ARAYYGKTFK---LS-A-GVDCNAGSDFP QVDPAN GYK SERFTVQWQ-Y RARORAIIOHHWSVKTYRSQS K
-APV-TCKEWFF---T-G-GLKGAGSDYIA QVDPAN GYK SERFTVQWQ-EIKARSRAIIDHHWSAKYIKKS L
-LPA-DCAAWFF---P-D-VDRGGAGSDFPQVDPN GYK SERFTVQWQ-Y KARNRATIINHHWSAKLRLKKS L
-PACYADATWFFQFKLS---D-GVPGNAGSDFPQVDPAN GYK SERFTVQWQ-Y KAPDRAIIOHHWSVKTYRAEST
-TPG-GASTF-----SMHVSADSYOSVEGENHGKMGFLDVQW-Y RPRPARAVIDHHWSA QNRSFFG
-GTCYADKTWFFQFKLT---A-GLEGAGSDFPQVDPAN GYK SERFTVQWQ-Y KARDRAIIIOHHWSVKTYRSQS K
-LPE-RCQFWFF---D-T-GEGLAGSDFPQVDPAN GYK SERFTVQWQ-Y KPRDRAIISHHWSAKSLRKNS L
-FPA-NCQTWFF---G-GGGTILSCEAGSDFPQVDPAN GYK SERFTVQWQ-Y QAKNRASINHHWSAKSYRKKS P
-GTCYAARA WFFQFKLS---V-GLDGAGSAYEQAS PAN GYK SERFTVQWQ-Y KARDRAIIIOHHWSVKYRRRT T
-SLCYADKNWFFQF---K-L-SVEGNCCSNFPQVDPAN GYK SERFTVQWQ-Y KARDRASIKHHWSVDTIYREGSC

--TPA-GCAQTA-----EA CGAGSDFPQVDWANS GYK SERFTVQWQ-Y KTRNRAIIDHHESAKSLPKKS L
--GIEPF-----G-S-A-GRASGA SDFP QVDPAN GYK SERFTVQWQ-Y RGRGRADIKYIWHALS YQQISA
--GTCYADKVWFFHFKLS---N-GLDGAGSDFPQVDPAN GYK SERFTVQWQ-Y RARORAIIOHHWSVKTYRSQS K
--ANCYNNVVWQFKLD---A-GGSVNAAGSDFP QVDPAN GYK SERFTVQWQ-Y CARORVAIEHHWSAKLFRQSG
ILPAPR-ACHVWHE---AEGTA-HAAANAGC DDPOLECAN GYK SERFTVQWQ-Y VOSRAIRHHWSA TIRKRSL
-LPA-GVGPWNAILPP---E-CATGGAGSDFPQVDPAN GYK SERFTVQWQ-Y LTRNRAIINHHWSAVLPKKS F
-ARAYYGKTFK---LS-A-GVDCNAGSDFP QVDPAN GYK SERFTVQWQ-Y RARORAIIOHHWSVKTYRSQS K
-APV-TCKEWFF---T-G-GLKGAGSDYIA QVDPAN GYK SERFTVQWQ-EIKARSRAIIDHHWSAKYIKKS L
-LPA-DCAAWFF---P-D-VDRGGAGSDFPQVDPN GYK SERFTVQWQ-Y KARNRATIINHHWSAKLRLKKS L
-PACYADATWFFQFKLS---D-GVPGNAGSDFPQVDPAN GYK SERFTVQWQ-Y KAPDRAIIOHHWSVKTYRAEST
-TPG-GASTF-----SMHVSADSYOSVEGENHGKMGFLDVQW-Y RPRPARAVIDHHWSA QNRSFFG
-GTCYADKTWFFQFKLT---A-GLEGAGSDFPQVDPAN GYK SERFTVQWQ-Y KARDRAIIIOHHWSVKTYRSQS K
-LPE-RCQFWFF---D-T-GEGLAGSDFPQVDPAN GYK SERFTVQWQ-Y KPRDRAIISHHWSAKSLRKNS L
-FPA-NCQTWFF---G-GGGTILSCEAGSDFPQVDPAN GYK SERFTVQWQ-Y QAKNRASINHHWSAKSYRKKS P
-GTCYAARA WFFQFKLS---V-GLDGAGSAYEQAS PAN GYK SERFTVQWQ-Y KARDRAIIIOHHWSVKYRRRT T
-SLCYADKNWFFQF---K-L-SVEGNCCSNFPQVDPAN GYK SERFTVQWQ-Y KARDRASIKHHWSVDTIYREGSC



3. DB-Suche der orthologen Proteine

- RPG
- Blastsuchen

4. Einzelproteinalignments

- MAFFT

5. Editierung

- manuell: GeneDoc
- automatisch: GBlocks

Schritt 3: zur Phylogenie

TAXON	SEQUENZ Y	SEQUENZ Z
A	aaaaaaaaaaaaaaaaaa	-----
B	-----	aaaaaaaaaaaaaaaaaa
C	-----	aaaaaaaaaaaaaaaaaa
D	aaaaaaaaaaaaaaaaaa	aaaaaaaaaaaaaaaaaa
E	aaaaaaaaaaaaaaaaaa	aaaaaaaaaaaaaaaaaa
F	aaaaaaaaaaaaaaaaaa	-----



TAXON	KONKATENIERTE SEQUENZ
A	aaaaaaaaaaaaaaaaaa-----
B	-----aaaaaaaaaaaaaaaaaa
C	-----aaaaaaaaaaaaaaaaaa
D	aaaaaaaaaaaaaaaaaaaaaaaaaaaaaaaaaaaaaa
E	aaaaaaaaaaaaaaaaaaaaaaaaaaaaaaaaaaaaaa
F	aaaaaaaaaaaaaaaaaa-----



Alignment, Substitutionsmatrix S



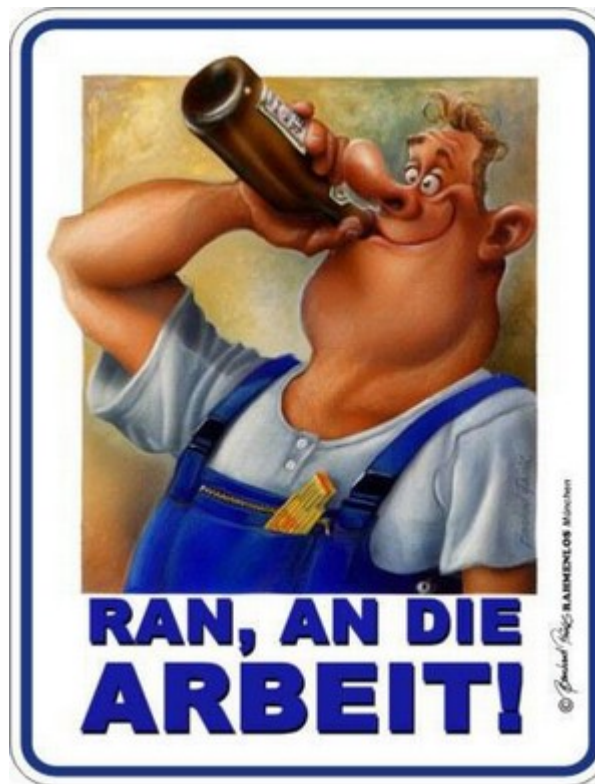
Ein oder mehrere Bäume der Taxa $T_1, T_2, T_3, \dots, T_x$
der Proteine $P_1, P_2, P_3, \dots, P_x$ mit der Substitutionsmatrix S
und den Methoden $M_1, M_2, M_3, \dots, M_x$

6. Konkatenierung
- Perl-Skript

7. Substitutionsmatrix-Auswahl
- Prottest

8. Phylogenie
- Mr.Bayes
- RAxML

...dann mal los!



RAN, AN DIE
ARBEIT!

© Rainer Rössig RAHMENLOS München



Phylogenie von Xenoturbella

Norén & Jondelius 1997 (Nature)

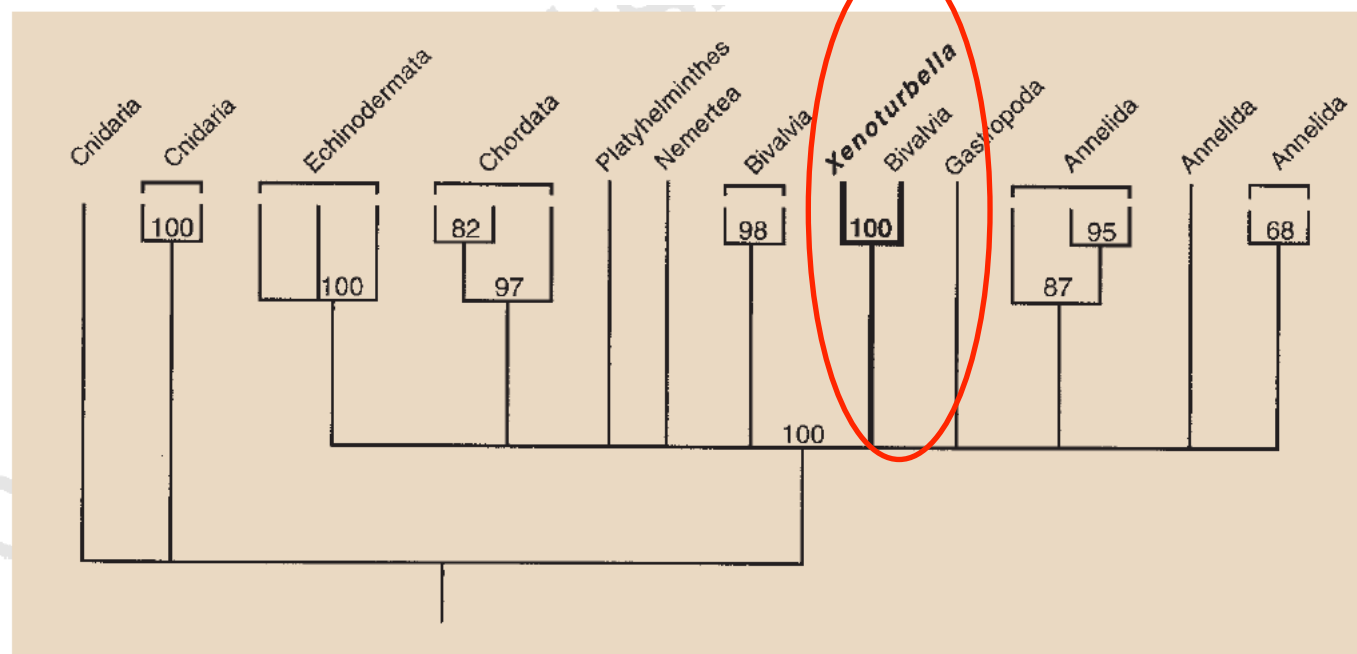


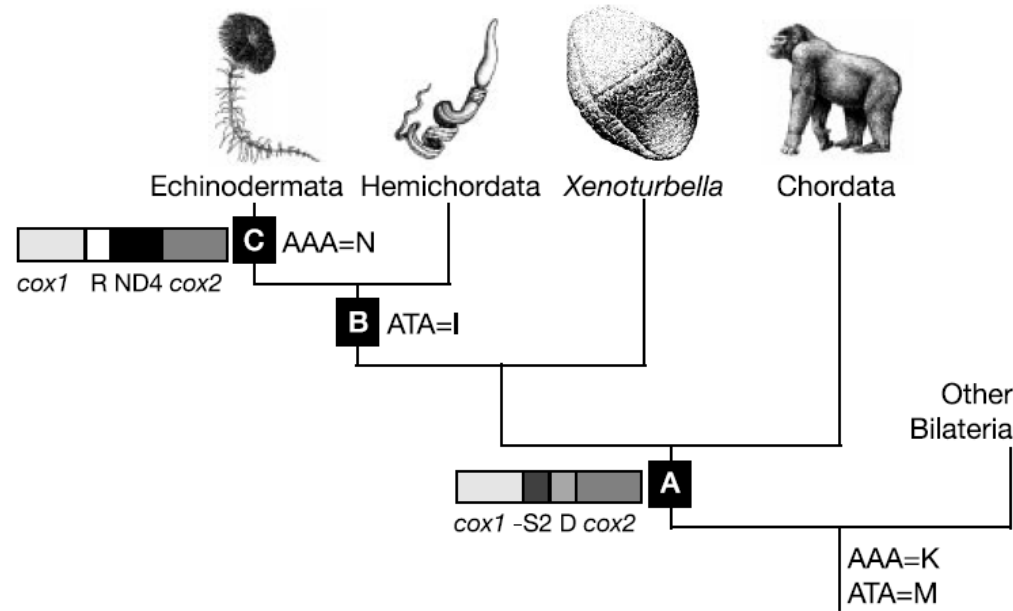
Figure 2 Consensus tree showing groups present in 60% of jack-knife replicates from analysis of COI matrix (3,000 replicates, 5 random additions and branch swapping, deletion frequency e^{-1}). Labels indicate jack-knife frequencies. Full details of tree topology and sequence alignment are available from the authors.

Mitochondriale Cytochrom-Oxidase



Phylogenie von Xenoturbella

Bourlat et al. 2003 (Nature)



Xenoturbella is a deuterostome that eats molluscs

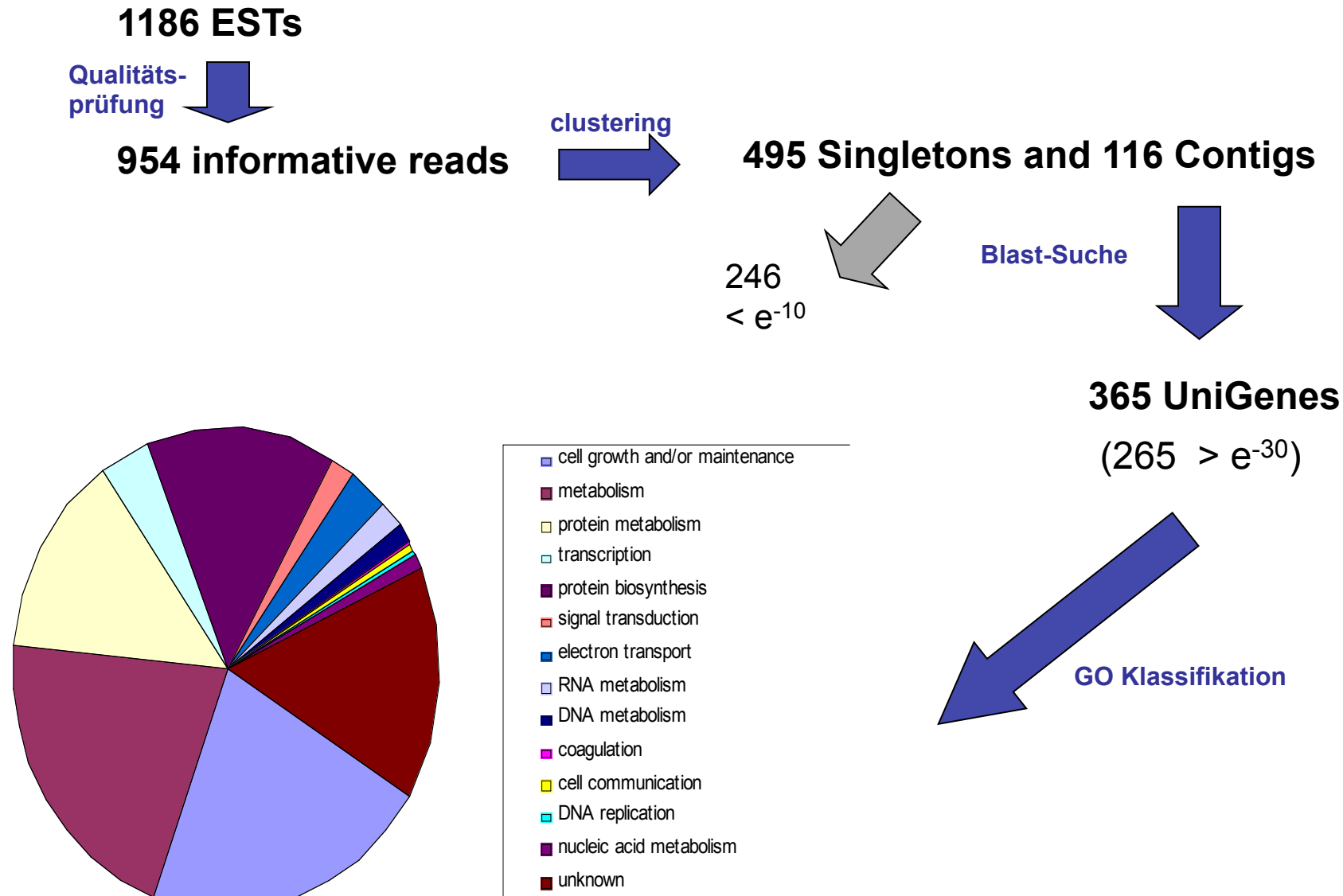
Sarah J. Bourlat¹, Claus Nielsen², Anne E. Lockyer³,
D. Timothy J. Littlewood³ & Maximilian J. Telford¹

→ Xenoturbella
Schwestertaxon zu
Ambulacraria

Figure 2 Position of *Xenoturbella* within the deuterostomes as suggested by our analyses of SSU and mitochondrial data. The distribution of synapomorphic molecular character states is indicated by a letter. A, monophyly of deuterostomes including *Xenoturbella* supported by common mitochondrial gene order; B, monophyly of Ambulacraria (hemichordates plus echinoderms) to the exclusion of *Xenoturbella* supported by one genetic code change; C, Monophyly of crown-group echinoderms supported by further genetic code change and gene order change.



Xenoturbella EST Sequenzierung





RP Phylogenie

- **30 ribosomale Proteine** identifiziert
- konkatenierter Datensatz: **4757 AS**
- 20 von 28 taxa: Abdeckung >90% relativ zu Mensch

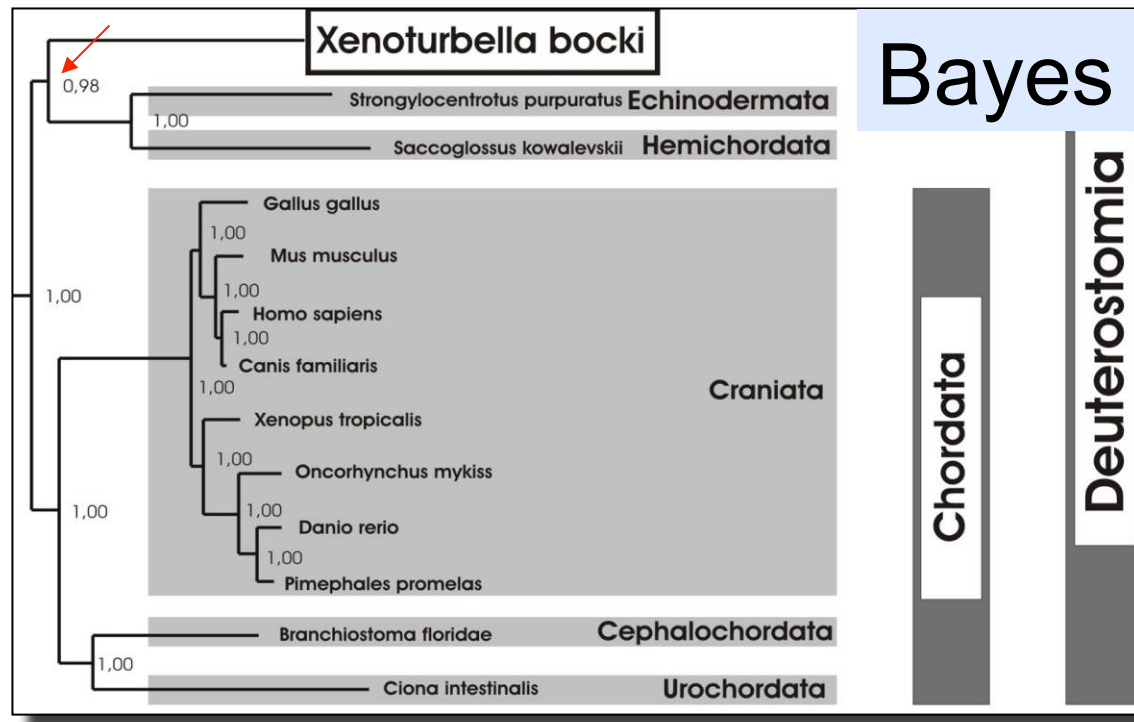
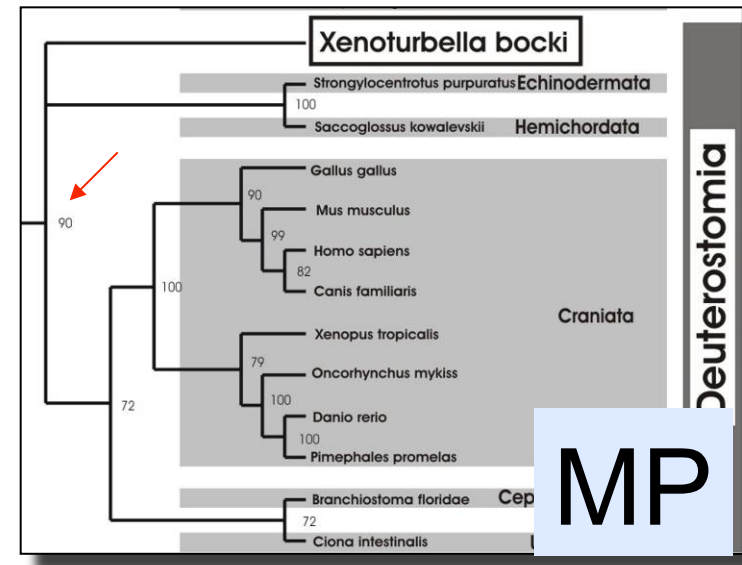
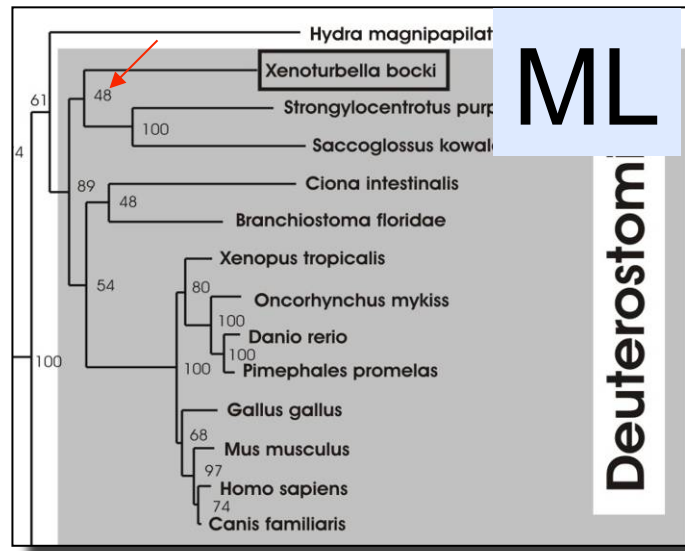


PHYML
MrBAYES

Taxon	L3	L5	L7	L10	L11	L13	L15	L17	L23	L27	L32	L35	L36	L39	SA
Xenoturbella bocki	x	x	x	x	x	x	x	x	x	x	x	x	x	x	x
Homo sapiens	x	x	x	x	x	x	x	x	x	x	x	x	x	x	x
Mus musculus	x	x	x	x	x	x	x	x	x	x	x	x	x	x	x
Canis familiaris	x	x	x	x	x	x	x	x	x	x	x	x	x	x	x
Gallus gallus	x	x	x	x	x	x	x	x	x	x	x	x	x	x	x
Danio rerio	x	x	x	x	x	x	x	x	x	x	x	x	x	x	x
Pimephales promelas	x	x	x	x	x	x	x	x	x	x	x	x	x	0	
Oncorhynchus mykiss	x	x	x	x	x	x	x	x	x	x	x	x	x	0	
Branchiostoma floridae	x	x	x	x	x	x	x	x	x	x	x	x	x	0	
Xenopus tropicalis	x	x	x	x	x	x	x	x	x	x	x	x	x	x	
Ciona intestinalis	x	x	x	x	x	x	x	x	x	x	x	x	x	x	
Strongylocentrotus purpuratus	x	0	x	x	x	x	x	x	x	x	x	x	x	x	
Lumbricus rubellus	x	x	x	x	x	x	x	x	x	x	x	x	x	0	
Ascaris suum	x	x	x	x	x	x	x	x	x	x	x	x	x	0	
Caenorhabditis elegans	x	x	x	x	x	x	x	x	x	x	x	x	x	x	
Drosophila melanogaster	x	x	x	x	x	x	x	x	x	x	x	x	x	x	
Anopheles gambiae	x	x	x	x	x	x	x	x	x	x	x	x	x	x	
Bombyx mori	x	x	x	x	x	x	x	x	x	x	x	x	x	x	
Hydra magnipapillata	x	x	x	x	x	x	x	x	x	x	x	x	x	0	
Saccharomyces cerevisiae	x	x	x	x	x	x	x	x	x	x	x	x	x	x	
Argopecten irradians	x	x	x	x	x	0	x	x	x	x	x	0	0	0	
Pecten maximus	0	x	x	0	0	0	x	x	0	0	x	x	x	0	x
Crassostrea virginica	x	x	x	x	x	x	x	0	0	0	x	x	0		
Crassostrea gigas	x	x	x	x	x	x	x	x	x	x	x	0	0		
Biomphalaria glabrata	0	x	x	x	x	x	x	0	x	x	x	x	0		
Mytilus galloprovincialis	x	x	x	x	x	x	x	x	x	x	x	x	x	x	
Arabidopsis thaliana	x	x	x	x	x	x	x	x	x	x	x	x	x	x	
Saccoglossus kowalevskii	x	x	x	x	x	x	x	x	x	x	x	x	x	x	

Taxon	S2	S3	S4	S5	S8	S11	S12	S16	S19	S20	S23	S25	S26	S7	P1
Xenoturbella bocki	x	x	x	x	x	x	x	x	x	x	x	x	x	x	x
Homo sapiens	x	x	x	x	x	x	x	x	x	x	x	x	x	x	x
Mus musculus	x	x	x	x	x	x	x	x	x	x	x	x	x	x	x
Canis familiaris	x	x	x	x	x	x	x	x	x	x	x	x	x	x	x
Gallus gallus	x	x	x	x	x	x	x	x	x	x	x	x	x	x	x
Danio rerio	x	x	x	x	x	x	x	x	x	x	x	x	x	x	x
Pimephales promelas	x	x	x	x	x	x	x	x	x	x	x	x	x	x	x
Oncorhynchus mykiss	x	x	x	x	x	x	x	x	x	x	x	x	x	x	x
Branchiostoma floridae	x	x	x	x	x	x	x	x	x	x	x	x	x	x	x
Xenopus tropicalis	x	x	x	x	x	x	x	x	x	x	x	x	x	x	x
Ciona intestinalis	x	x	x	x	x	x	x	x	x	x	x	x	x	x	x
Strongylocentrotus purpuratus	x	x	x	x	x	x	x	x	x	x	x	x	0	x	x
Lumbricus rubellus	x	x	x	x	x	x	x	x	x	x	x	x	x	x	x
Ascaris suum	x	x	x	x	x	x	x	x	x	x	x	x	x	x	x
Caenorhabditis elegans	x	x	x	x	x	x	x	x	x	x	x	x	x	x	x
Drosophila melanogaster	x	x	x	x	x	x	x	x	x	x	x	x	x	x	x
Anopheles gambiae	x	x	x	x	x	x	x	x	x	x	x	x	x	x	x
Bombyx mori	x	x	x	x	x	x	x	x	x	x	x	x	x	x	x
Hydra magnipapillata	x	x	x	x	x	x	x	x	x	x	x	x	x	x	x
Saccharomyces cerevisiae	x	x	x	x	x	x	x	x	x	x	x	x	0	0	x
Argopecten irradians	x	x	x	x	x	0	x	x	x	x	x	x	x	x	x
Pecten maximus	0	x	0	x	x	x	0	x	x	x	x	x	0	0	x
Crassostrea virginica	x	x	x	x	x	0	0	0	x	x	x	x	0	x	x
Crassostrea gigas	x	x	x	x	x	x	x	x	0	x	x	x	0	x	x
Biomphalaria glabrata	0	x	x	x	x	x	0	x	x	x	x	x	0	0	x
Mytilus galloprovincialis	x	x	x	x	x	x	x	x	x	x	x	x	x	x	x
Arabidopsis thaliana	x	x	x	x	x	x	x	x	x	x	x	x	x	x	x
Saccoglossus kowalevskii	x	x	x	x	x	x	x	x	x	x	x	x	x	x	x

Datenquellen: RiboProt, dbEST, TRACE ARCHIVE





Xenoturbella bocki

Oct. 2006

LETTERS

Deuterostome phylogeny reveals monophyletic chordates and the new phylum Xenoturbellida

Sarah J. Bourlat¹, Thorhildur Juliusdottir², Christopher J. Lowe³, Robert Freeman⁴, Jochanan Aronowicz³, Mark Kirschner⁵, Eric S. Lander^{4,6}, Michael Thorndyke⁷, Hiroaki Nakano⁷, Andrea B. Kohn⁸, Andreas Heyland⁸, Leonid L. Moroz⁸, Richard R. Copley² & Maximilian J. Telford¹

Deuterostomes comprise vertebrates, the related invertebrate chordates (tunicates and cephalochordates) and three other invertebrate taxa: hemichordates, echinoderms and *Xenoturbella*¹. The relationships between invertebrate and vertebrate deuterostomes are clearly important for understanding our own distant origins. Recent phylogenetic studies of chordate classes and a sea urchin have indicated that urochordates might be the closest invertebrate sister group of vertebrates, rather than cephalochordates, as traditionally believed^{2–4}. More remarkable is the suggestion that cephalochordates are closer to echinoderms than to vertebrates and urochordates, meaning that chordates are paraphyletic². To study the relationships among all deuterostome groups, we have assembled an alignment of more than 35,000 homologous amino acids, including new data from a hemichordate, starfish and *Xenoturbella*. We have also sequenced the mitochondrial genome of *Xenoturbella*. We support the clades Olfactores (urochordates and vertebrates) and Ambulacraria (hemichordates and echinoderms⁴). Analyses using our new data, however, do not support a cephalochordate and echinoderm grouping and we conclude that chordates are monophyletic. Finally, nuclear and mitochondrial data place *Xenoturbella* as the sister group of the two ambulacrarian phyla¹. As such, *Xenoturbella* is shown to be an independent phylum, Xenoturbellida, bringing the number of living deuterostome phyla to four.

(the urochordate plus vertebrate clade¹⁰) seem to be credible components of the deuterostomes, two further aspects of the phylogeny of the group remain contentious.

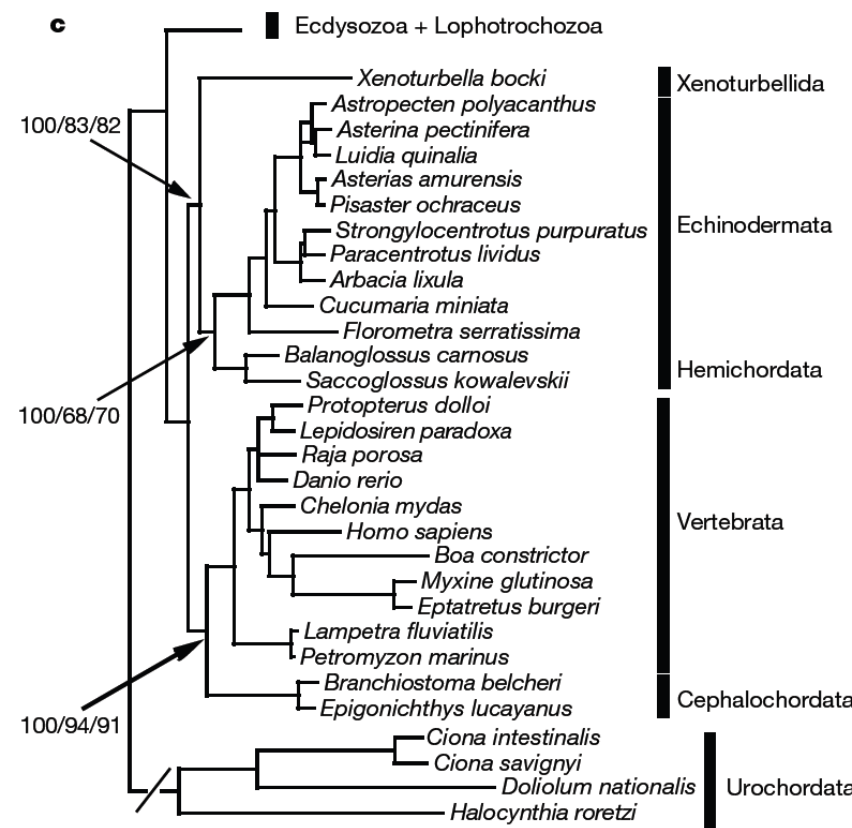
The first stems from a remarkable result in a phylogenomic analysis in which cephalochordates were associated with echinoderms rather than with other chordates². This result, if correct, has profound implications for our understanding of early deuterostome evolution and the origins of the chordate body plan, because it suggests that a number of conserved chordate features were present in the common ancestor of all deuterostomes and were secondarily lost in echinoderms and hemichordates. Although this is clearly a controversial finding, it deserves serious consideration. The initially surprising relocation of the hemichordates from chordate sister group to the Ambulacraria has already shown that certain characteristics that were thought to be specific to the chordate lineage are likely to derive from the deuterostome common ancestor; the homology of gill slits and endostyle in hemichordates and chordates is now supported by studies both of morphology and of shared gene-expression patterns^{9,11,12}.

The second open question concerns the position of the worm *Xenoturbella*. Consideration of its small subunit ribosomal RNA gene (SSU) indicated that *Xenoturbella* might be a deuterostome, related to the Ambulacraria but not included in either the echinoderms or the hemichordates¹. This result is supported by the lack in



Phylogenie von Xenoturbella

Bourlat et al. 2006 (Nature)



Deuterostome phylogeny reveals monophyletic chordates and the new phylum Xenoturbellida

Sarah J. Bourlat¹, Thorhildur Juliusdottir², Christopher J. Lowe³, Robert Freeman⁴, Jochanan Aronowicz³, Mark Kirschner⁵, Eric S. Lander^{4,6}, Michael Thorndike⁷, Hiroaki Nakano⁷, Andrea B. Kohn⁸, Andreas Heyland⁸, Leonid L. Moroz⁸, Richard R. Copley² & Maximilian J. Telford¹

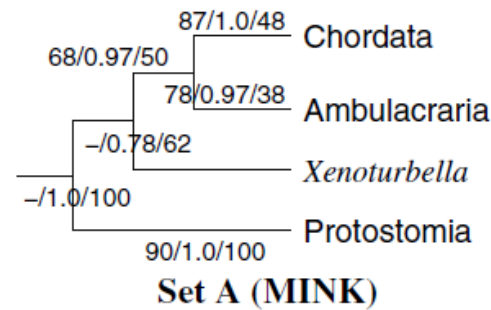
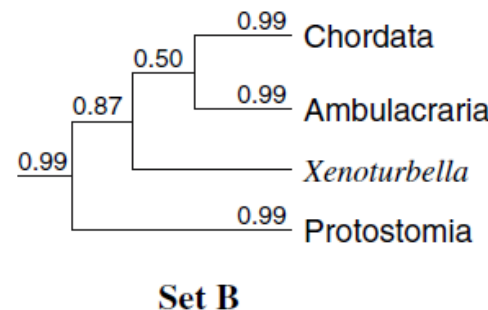
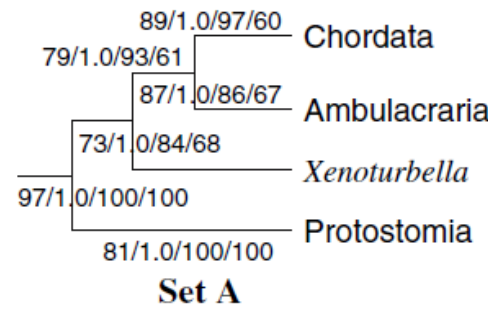
→ Xenoturbella
Schwestertaxon zu
Ambulacraria

Figure 1 | Phylogenetic analyses of 170 nuclear proteins and 13 mitochondrial proteins support a monophyletic chordate clade and an independent deuterostome phylum of Xenoturbellida.

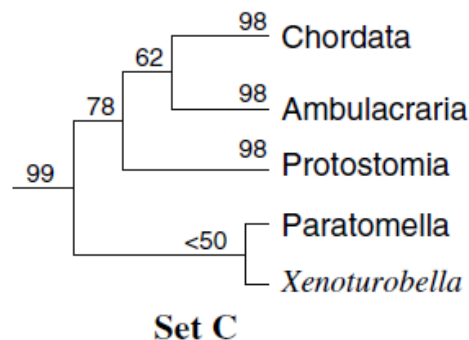


Phylogenie von Xenoturbella

Perseke et al. 2007 (Theory Biosci.)



→ Xenoturbella basaler Deuterostomia



The mitochondrial DNA of *Xenoturbella bocki*: genomic architecture and phylogenetic analysis

Marleen Perseke · Thomas Hankeln · Bettina Weich ·
Guido Fritzsch · Peter F. Stadler · Olle Israelsson ·
Detlef Bernhard · Martin Schlegel

Phylogenie von Xenoturbella



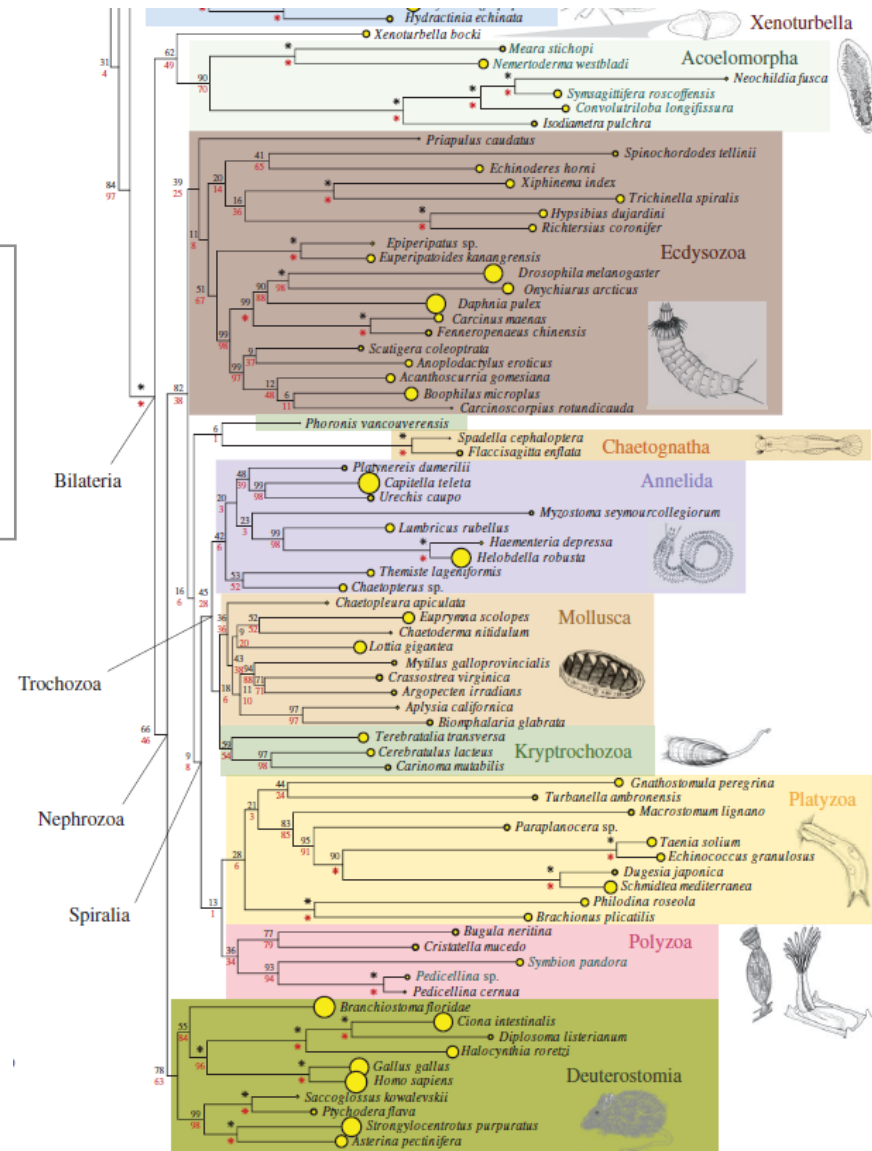
Hejnol et al. 2009 (Proc.R.Soc.B.)

Assessing the root of bilaterian animals with scalable phylogenomic methods

Andreas Hejnol^{1,*}, Matthias Obst², Alexandros Stamatakis³, Michael Ott³, Greg W. Rouse⁴, Gregory D. Edgecombe⁵, Pedro Martinez⁶, Jaume Baguñà⁶, Xavier Bailly⁷, Ulf Jondelius⁸, Matthias Wiens⁹, Werner E. G. Müller⁹, Elaine Seaver¹, Ward C. Wheeler¹⁰, Mark Q. Martindale¹, Gonzalo Giribet¹¹ and Casey W. Dunn^{12,*}

> 1000 Gene (!!)

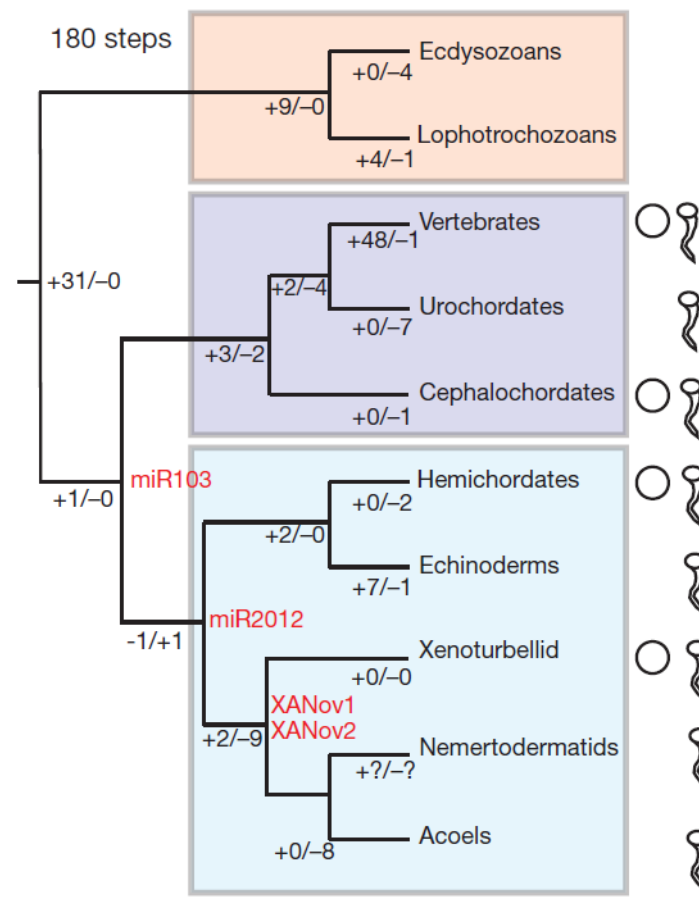
→ Xenoturbella +
Acoelomorpha basale
Bilateria





Phylogenie von Xenoturbella

Phillippe et al. 2011 (Nature)



Acoelomorph flatworms are deuterostomes related to *Xenoturbella*

Hervé Philippe¹, Henner Brinkmann¹, Richard R. Copley², Leonid L. Moroz³, Hiroaki Nakano^{4†}, Albert J. Poustka⁵, Andreas Wallberg⁶, Kevin J. Peterson⁷ & Maximilian J. Telford⁸

“We propose that the basal emergence of *Xenoturbella* plus Acoelomorpha observed by Hejnol et al. is the result of an LBA artefact stemming from the use of a sub-optimal site-homogeneous model.”

Fast 200 Gene
+ miRNA-Analyse
+ mtDNA Analyse

→ **Xenoturbella + Acoelomorpha**
Schwestergruppe zu Ambulacraria



Phylogenie von Xenoturbella

Lowe & Pani 2011 (Curr.Biol.)

Animal Evolution: A Soap Opera
of Unremarkable Worms

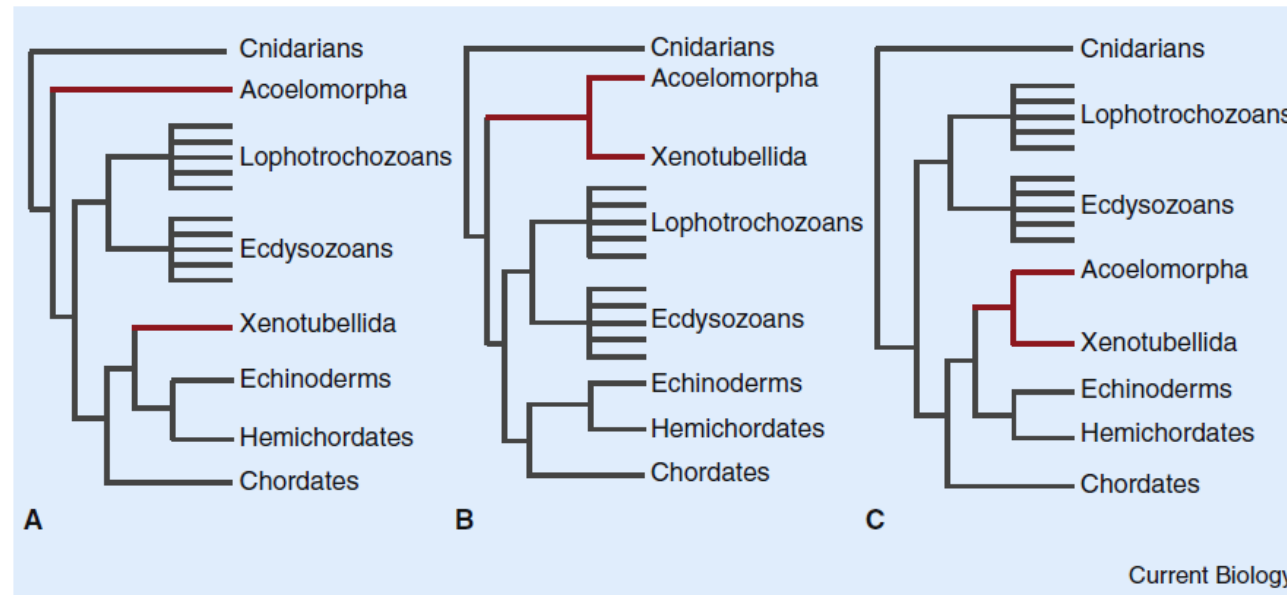
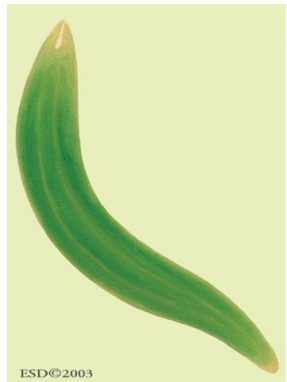


Figure 2. Alternative hypotheses for the phylogenetic position of acoelomorphs and Xenoturbellida within metazoans.

(A) Basal position of Acoelomorpha within bilaterians, but *Xenoturbella* located within the deuterostomes [10]. (B) Grouping of Acoelomorpha with *Xenoturbella* at the base of the bilaterians [6]. (C) New hypothesis of Xenacoelomorpha as sister group to echinoderms and hemichordates within the deuterostomes [2].

„Unremarkable worms“

- Kein Verdauungstrakt
- Marin
- Kein Kreislaufsystem
- Keine Atmungsorgane
- Kein Exkretionssystem
- Neuronennetzwerk
- Hermaphroditen
- Keine Gonaden



Symsagittifera roscoffensis
(Acoela)



Meara stichopi
(Nemertodermatida)



Nemertoderma westbladi
(Nematodermatida)

→ Sekundäre
Vereinfachungen?



Xenoturbella bocki
(Xenoturbellida)

2016...Die Geschichte geht weiter!

PHYLOGENY

A home for *Xenoturbella*

Sometimes it is the most unassuming animals that cause the most consternation. *Xenoturbella* (pictured) are simple marine flatworms with no brain, anus, gonads, excretory system or through gut, so one would expect them to find a home among the acoels — similarly simple animals thought to lie at the base of the evolutionary tree of Bilateria, bilaterally symmetrical animals. Yet *Xenoturbella* have caused puzzlement since they were first described in 1949, because quibbles about their ultrastructure and mitochondrial DNA sequences have meant that the worms have never sat entirely happily in their assumed station.

Analysis of nuclear DNA sequences underlined the oddity: *Xenoturbella* were even thought to be highly degenerate molluscs until the revelation that molluscs are what *Xenoturbella* eat. Even stranger was the proposal that *Xenoturbella* and other acoels were most closely related to hemichordates (animals known as acorn worms and pterobranchs) and echinoderms (radially symmetrical marine animals such as sea urchins and starfish). This cast into question the timing of the evolution of several advanced characteristics, such as gill slits, that are shared by members of the deuterostome branch of Bilateria (to which



hemichordates and echinoderms belong), but that are lacking in *Xenoturbella*. It even raised questions about the last common ancestor of Bilateria — perhaps *Xenoturbella* were not as simple as they looked, but had degenerated from a structurally more complex ancestor.

These questions are all but resolved by two studies in this week's issue. Cannon et al. (page 89)¹ present a robust phylogenetic analysis based on the gene-transcript profiles of eleven species of *Xenoturbella* and other acoels. This shows that the combined group, known as Xenacoelomorpha, indeed lies

at the very base of the bilaterian radiation. Rouse et al. (page 94)² add four new species of *Xenoturbella* from the eastern Pacific Ocean to the one already known from the waters of Scotland and Scandinavia. The authors' anatomical and phylogenetic studies on these new forms add weight to the idea that these worms were the earliest to branch from other bilaterians. Zoologists can exhale, and their shy charges can resume their diet of molluscs in peace. Henry Gee

1. Cannon, J. T. et al. *Nature* **530**, 89–93 (2016).
2. Rouse, G. W., Wilson, N. G., Carvajal, J. I. & Vrijenhoek, R. C. *Nature* **530**, 94–97 (2016).

2016...Die Geschichte geht weiter!

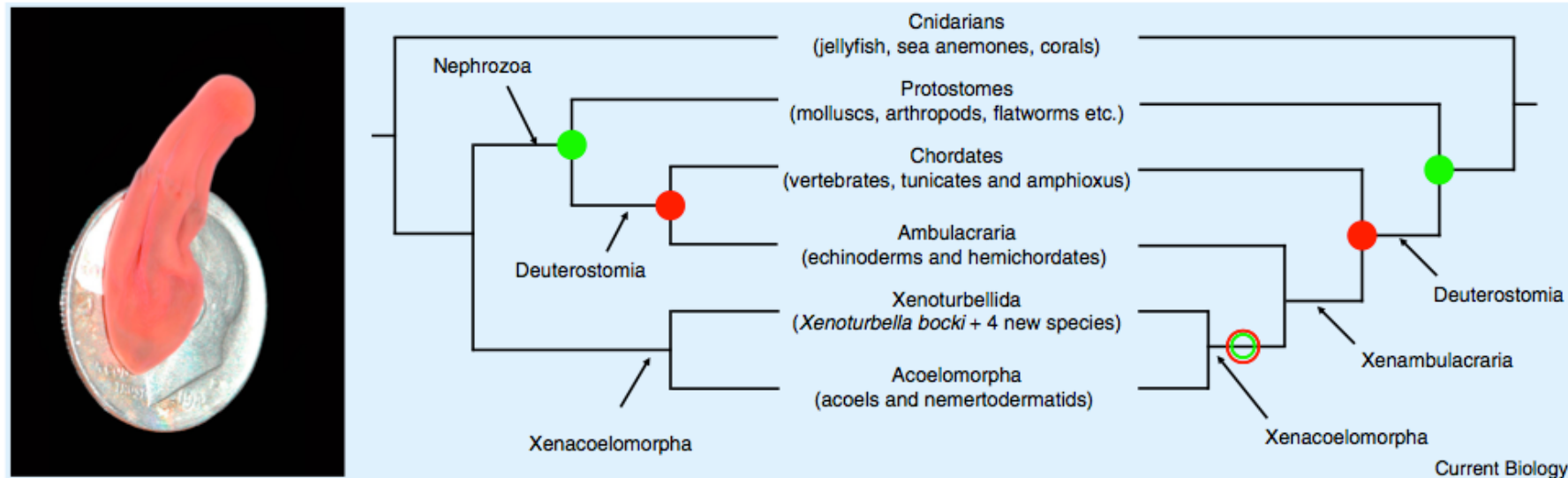


Figure 1. A new *Xenoturbella* species and possible relationships between Xenacoelomorpha and other major groups of animals.

(far left) The new species *Xenoturbella hollardorum*, approximately 2.5 cm long (Photo: Greg Rouse). On the left, the phylogenetic tree supported by Rouse et al. [3] and Cannon et al. [4] in which xenacoelomorphs branch before the common ancestor of protostomes and deuterostomes (Nephrozoa). Absences of characters result from Xenacoelomorpha diverging before the origin (red and green filled circles) of these characters. On the right, the tree supported by previous analyses of large data matrices [8]. Xenacoelomorphs are deuterostomes most closely related to Ambulacraria. Some characters common to protostomes and deuterostomes (filled green circle) or present in the deuterostome common ancestor (filled red circle) are absent from xenacoelomorphs through loss (empty red and green circles).